

Zeszyt techniczny

Projektowanie konstrukcyjne budynków z bloków Silka



silka[®]

mgr inż. Piotr Harassek

inż. Wojciech Rogala

Zeszyt Techniczny
Projektowanie konstrukcyjne
budynków z bloków Silka

wydanie VI

Luty 2014

SPIS TREŚCI

1. Wprowadzenie	7
2. Asortyment Silka	8
2.1. Proces produkcji.....	8
2.2. Bloki Silka E	8
2.3. Bloki Silka Tempo.....	10
2.4. Elementy uzupełniające	12
2.5. Zaprawy murarskie	14
2.5.1. Zaprawy do cienkich spoin	14
2.5.2. Zaprawy zwykłe	14
3. Zasady projektowania	15
3.1. Zasady ogólne	15
3.2. Rodzaje ścian	15
3.2.1. Ściana jednowarstwowa.....	15
3.2.2. Ściana dwuwarstwowa.....	15
3.2.3. Ściana szczelinowa	16
3.2.4. Ściany wypełniające	17
3.2.5. Przeznaczenie bloków Silka.....	19
3.3. Fizyka budowli.....	20
3.3.1. Ciepło	20
3.3.2. Akustyka	22
3.3.3. Odporność ogniowa.....	23
3.4. Zalecenia projektowo-wykonawcze	24
3.4.1. Połączenia ścian za pomocą przewiązania murarskiego.....	24
3.4.2. Połączenia ścian przy użyciu łączników	24
3.4.3. Nadproża	26
3.4.4. Oparcie stropu	28
3.4.5. Wieńce	30
3.4.6. Bruzdowanie i otwory.....	30
3.4.7. Murowanie bloków Silka	31
3.4.8. Kanaty elektryczne.....	31
3.4.9. Dylatacje	31
3.4.10. Maksymalna wysokość ścian	32
3.4.11. Projektowanie w systemie Silka Tempo.....	33
4. Zasady obliczeń statycznych	36
4.1. Zasady ogólne	36
4.2. Parametry wytrzymałościowe muru.....	36
4.2.1. Wytrzymałość muru na ściskanie	37
4.2.2. Wytrzymałość muru na ścinanie.....	38
4.2.3. Wytrzymałość muru na rozciąganie	38
4.2.4. Ściana poddana obciążeniu skupionemu.....	40
4.2.5. Odkształcalność muru	40
5. Wymiarowanie ścian obciążonych głównie pionowo	41
6. Przykład obliczeń	44
6.1. Zestawienie obciążeń jednostkowych	44
6.1.1. Stropodach wentylowany	44
6.1.2. Strop	45
6.1.3. Ściany	46
6.2. Sprawdzenie nośności ściany zewnętrznej pełnej	47
6.3. Sprawdzenie nośności filara międzyokiennego	51
6.4. Sprawdzenie nośności ściany wewnętrznej pełnej	54
6.5. Sprawdzenie nośności filara międzydrzwiowego w ścianie wewnętrznej	57
6.6. Sprawdzenie ściany ze względu na obciążenie skupione od reakcji z nadproża	60
6.7. Analiza statyczno-wytrzymałościowa żelbetowej belki nadprożowej wykonanej w kształtkach Ytong U traktowanych jako deskowanie tracone	61
7. Dane tabelaryczne	64

Copyright © by Xella Polska sp. z o.o.
Warszawa 2014

Znaki Silka i Ytong są zarejestrowanymi znakami towarowymi.
Prawa ochronne na te znaki przysługują Xella Polska Sp. z o.o. z siedzibą w Warszawie.

Żadna część tej pracy nie może być powielana i rozpowszechniana bez pisemnej zgody wydawcy.

1. Wprowadzenie

Elementy wapienno-piaskowe, zwane również silikatami, znane są już od ponad 130 lat. Bloki Silka powstają z całkowicie naturalnych i mineralnych surowców. Cechuje je bardzo dobra wytrzymałość, trwałość, izolacyjność akustyczna i odporność ogniowa. Dzięki temu znajdują szerokie zastosowanie w budownictwie mieszkaniowym, handlowym, przemysłowym i użyteczności publicznej. W systemie Silka dostępne są cegły wapienno-piaskowe, bloki pełne, drażnione, akustyczne oraz uzupełniające wentylacyjne.

W 2012 roku ofertę uzupełniły wielkowymiarowe bloki Silka Tempo. Bloki dostępne są w klasie wytrzymałości 20 N/mm². Dzięki dużym wymiarom oraz murowaniu za pomocą mini-żurawia budowa przebiega znacznie szybciej, a ściany uzyskują jednorodne parametry. Czas murowania bloków Silka Tempo to zaledwie 0,24 r-g/m².

Elementy Silka podlegają normie PN-EN 771-2:2011 „Wymagania dotyczące elementów murowych. Część 2: Elementy murowe silikato-we”. Należą do grupy 1 i kategorii I elementów murowych. Przy projektowaniu i wykonawstwie murów z elementów Silka obowiązują ustalenia Eurokodu 1996 „Projektowanie Konstrukcji Murowych”.

Mury z bloków Silka mogą być wykorzystywane jako konstrukcyjne ściany nośne obciążone głównie pionowo, przenoszące obciążenia z kondygnacji górnych i od stropów oraz oddziałujące na nie siły od obciążeń poziomych. Można je również wykorzystywać jako ściany wypełniające w konstrukcjach szkieletowych, ściany działowe i ostonowe obciążone głównie poziomo. Bloki Silka nadają się do wykorzystania w ścianach piwnicznych i fundamentowych w częściach podziemnych budynku pod warunkiem zastosowania należytych izolacji przeciwwilgociowych oraz wypełnienia spoin pionowych.

Elementy Silka produkowane są w trzech klasach wytrzymałości – 15, 20 i 25 N/mm², co oznacza, że należą do najbardziej wytrzymałych elementów murowych. Ścianki o grubości 12 cm z powodzeniem mogą być stosowane jako ściany konstrukcyjne, a do ścian o grubości 8 cm można mocować ciężkie przedmioty, np. szafki kuchenne lub regały.

Podstawowy asortyment Silka umożliwia projektowanie budynków w module wysokości 20 cm. Dzięki elementom uzupełniającym (Silka EQ) możliwe jest uzyskanie także innej wysokości. Szereg elementów uzupełniających umożliwia wykonanie ścian bez docinania elementów. Bloki Silka muruje się tak jak inne elementy murowe. Elementy Silka E posiadają uchwyty montażowe, które są rozmieszczone naprzemiennie, ułatwiając podnoszenie i montaż bloków. Wysoka dokładność wymiarowa bloków Silka E, E-A i E-S pozwala na murowanie ich na zaprawie do cienkich spoin Silka-Ytong. Możliwe jest także murowanie na zaprawie zwykłej. Dzięki równomiernie rozmieszczonym kanatom elektrycznym (co 16,7 cm) bloki Silka E umożliwiają przeprowadzenie instalacji elektrycznej wewnątrz muru, co w połączeniu z gładką powierzchnią bloków Silka umożliwia cienkowarstwowe wykończenie ścian.

2. Asortyment Silka

2.1. Proces produkcji

Silka jest to cegła wapienno-piaskowa. Otrzymuje się ją z mieszaniny piasku kwarcowego (90%), wapna (7%) i wody (3%). Pod działaniem przegrzanej pary wodnej o temperaturze 200°C przy zwiększonym ciśnieniu 16 atmosfer około 4÷7% krzemionki łączy się z wapnem tworząc nierozpuszczalne krzemiany wapnia. Nowo powstałe związki wiążą ziarna piasku, co wpływa na wysoką wytrzymałość gotowych wyrobów. Proces produkcji elementów Silka trwa obecnie niespełna 12 godzin.

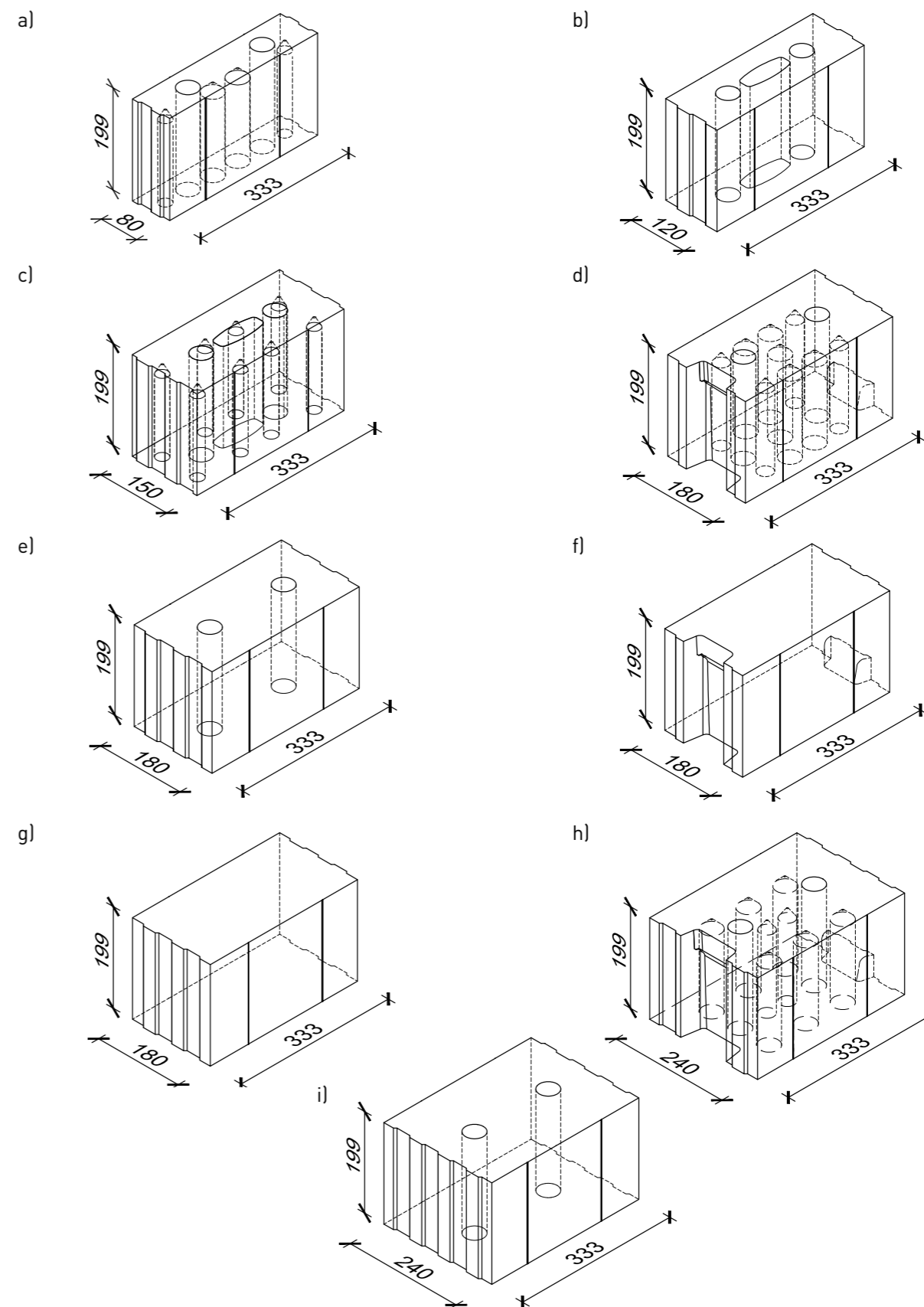
2.2. Bloki Silka E

Elementy murowe Silka E dostępne są w szerokości: 8 cm, 12 cm, 15 cm, 18 cm i 24 cm. Produkowane są w wersji podstawowej (bloki drążone) oraz w wersji E-S (pełne). Bloki podstawowe osiągają klasy wytrzymałości 15 i 20 N/mm², a bloki E-S 20 i 25 N/mm². Zarówno bloki Silka E jak i Silka E-S posiadają kanały elektryczne. Bloki o podwyższonej izolacyjności akustycznej posiadają oznaczenie A. Wymiary bloków Silka E przedstawione są w tabeli 2.1.

Tabela 2.1. Elementy murowe Silka E

Nazwa	Górna granica gęstości ¹⁾ [kg/m ³]	Klasa wytrzymałości [N/mm ²]	Długość [mm]	Wysokość [mm]	Szerokość [mm]
Silka E8	1500	15	333±2	199±1	80±2
Silka E12	1500	15			120±2
Silka E15	1500	15			150±2
Silka E18	1500	15/20			180±2
Silka E18S	1800	20/25			
Silka E18A	1800	20/25			
Silka E18A+	2000	20			
Silka E24	1600	15/20			
Silka E24S	1800	20/25			240±2

¹⁾ Rzeczywista gęstość wyrobów Silka zależy od zakładu produkcyjnego. Szczegółowe dane dostępne są w deklaracjach właściwości użytkowych.



Rysunek 2.1. Elementy podstawowe Silka E: a) Silka E8, b) Silka E12, c) Silka E15, d) Silka E18, e) Silka E18S, f) Silka E18A, g) Silka E18A+, h) Silka E24, i) Silka E24S
Uwaga: w części zakładów produkcyjnych blok Silka E18A ma kształt bloku Silka E18A+

2.3. Silka Tempo

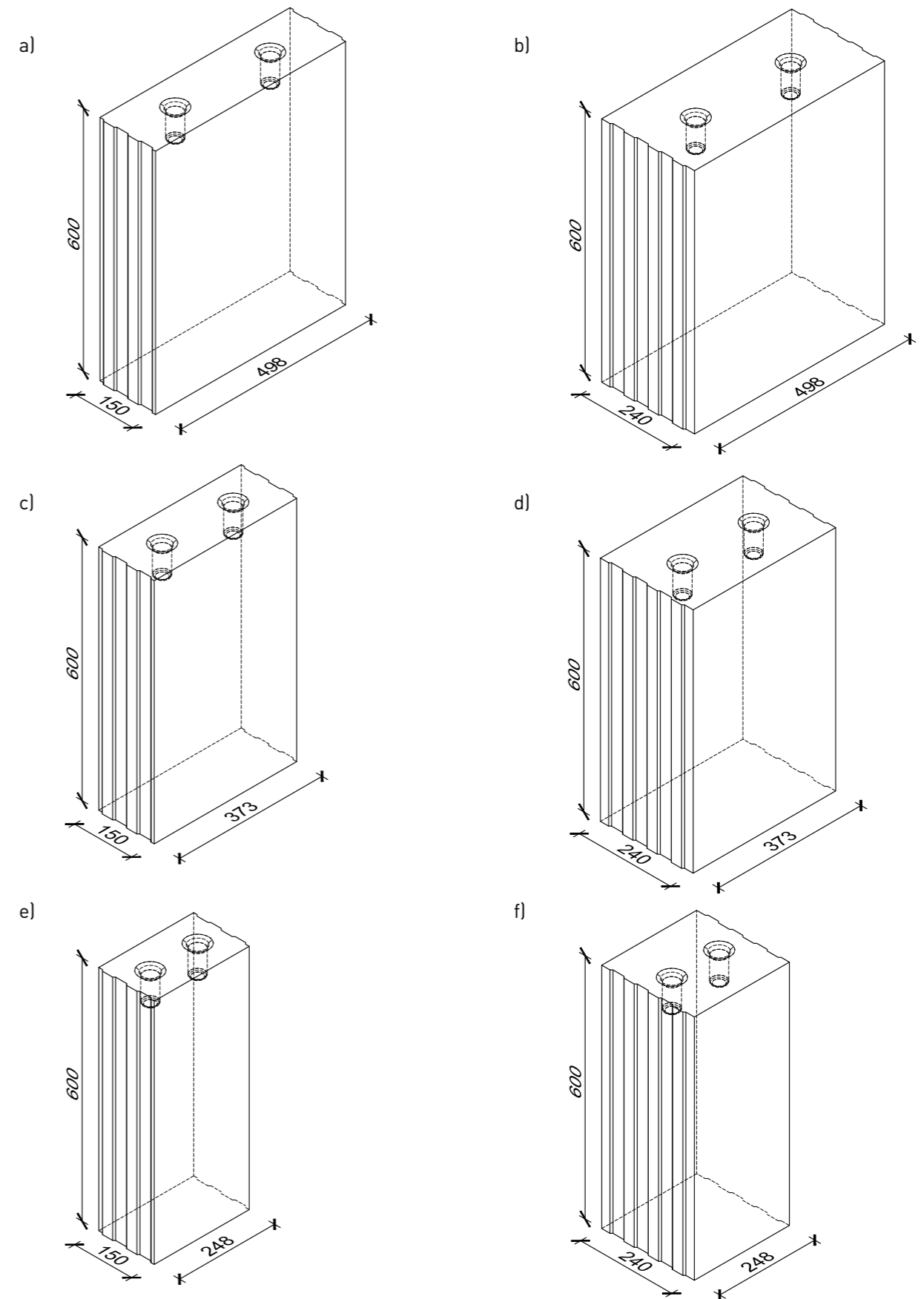
Silka Tempo to wielkowymiarowe bloki wapienno-piaskowe do wznoszenia ścian konstrukcyjnych. Z uwagi na dużą masę elementów montuje się je za pomocą mini-żurawia, który znacznie ogranicza wysiłek murarzy oraz czas trwania prac budowlanych. Bloki Silka Tempo przeznaczone są do budowy ścian o grubości 15 cm i 24 cm. Dostępne są jako bloki podstawowe (50 cm), $\frac{3}{4}$ (37,5 cm) oraz $\frac{1}{2}$ (25 cm), dzięki czemu możliwe jest projektowanie w module 12,5 cm. Inne, niemodułowe długości

ścian z bloków Silka Tempo, można osiągnąć wykonując spoiny pionowe o grubości do 3 cm oraz układając na sobie 3 bloki Silka E24S. Niemodułowe długości ścian można osiągnąć także docinając bloki piłą tarczową, o średnicy tarczy dostosowanej do grubości bloków. Takie rozwiązanie ułatwia wykonywanie prac murarskich bez planu montażowego oraz wyklucza konieczność stosowania elementów uzupełniających. Bloki Silka Tempo dostępne są w klasie wytrzymałości 20.

Tabela 2.2. Elementy murowe Silka Tempo

Nazwa	Górna granica gęstości ¹⁾ [kg/m ³]	Klasa wytrzymałości [N/mm ²]	Długość [mm]	Wysokość [mm]	Szerokość [mm]
Silka Tempo 15	2000	20	498±2	600±1	150±2
Silka Tempo 15 $\frac{3}{4}$	2000		373±2		
Silka Tempo 15 $\frac{1}{2}$	2000		248±2		
Silka Tempo 24	1800		498±2		240±2
Silka Tempo 24 $\frac{3}{4}$	2000		373±2		
Silka Tempo 24 $\frac{1}{2}$	2000		248±2		

¹⁾ Rzeczywista gęstość wyrobów Silka zależy od zakładu produkcyjnego. Szczegółowe dane dostępne są w deklaracjach właściwości użytkowych.



Rysunek 2.2. Elementy Silka Tempo, a) Silka Tempo 15, b) Silka Tempo 24, c) Silka Tempo 15 $\frac{3}{4}$, d) Silka Tempo 24 $\frac{3}{4}$, e) Silka Tempo 15 $\frac{1}{2}$, f) Silka Tempo 24 $\frac{1}{2}$

2.4. Elementy uzupełniające

Do elementów uzupełniających system Silka należą:

- bloki wyrównawcze Silka EQ umożliwiające osiągnięcie wysokości spoza modułu 20 cm. Ułatwiają one również wymurowanie pierwszej warstwy muru na zaprawie tradycyjnej;
- bloki półwkłowe Silka ½E o długości 167 mm. Bloki zmniejszają ilość docinek i poprawiają

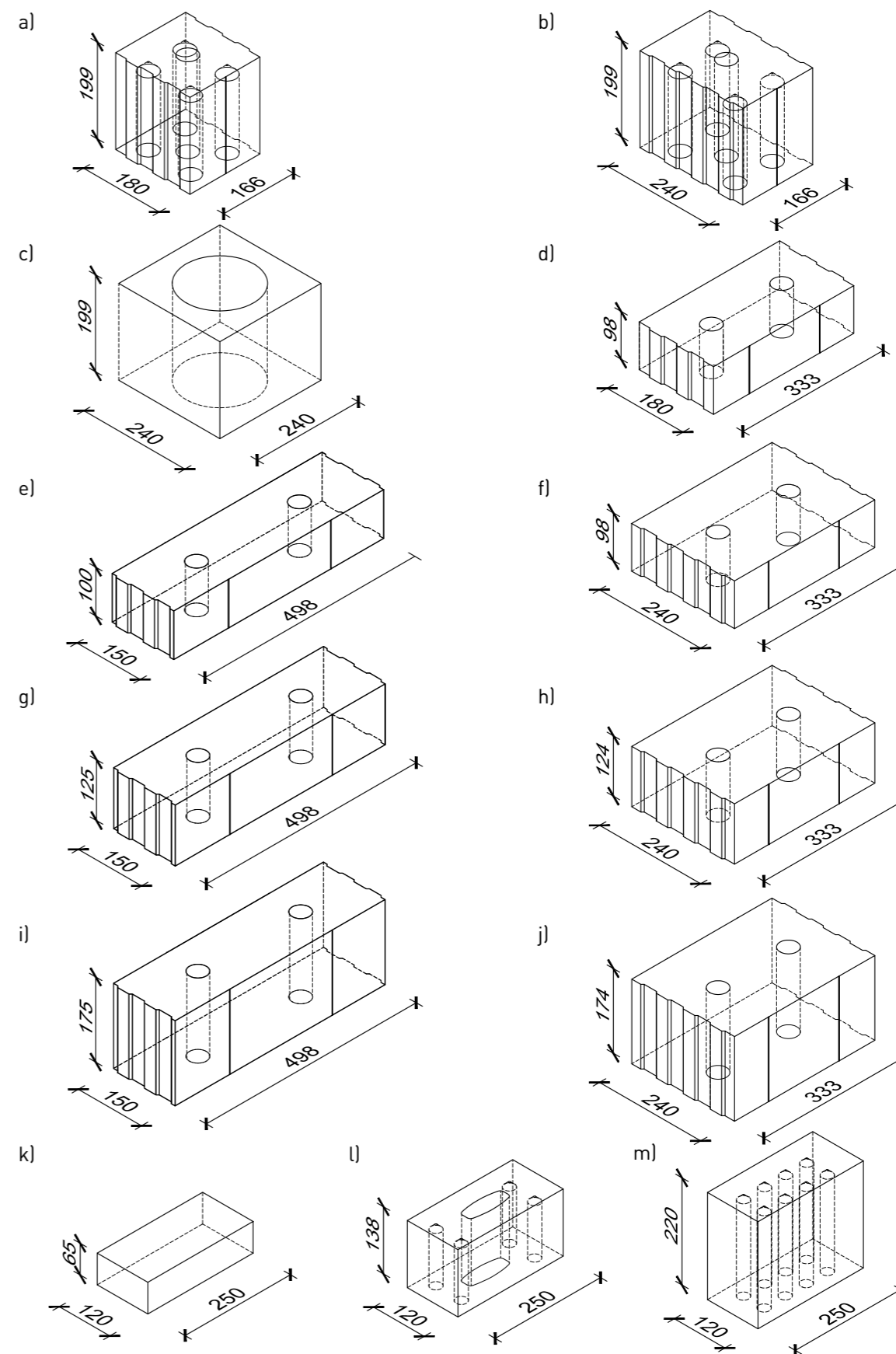
jakość wykonania muru z bloków Silka. Dodatkowo ułatwiają wykonanie przewiązania mularskiego;

- bloki wentylacyjne Silka EW przeznaczone do wykonywania kanałów wentylacyjnych. Posiadają otwór o średnicy 160 mm;
- cegły wapienno-piaskowe Silka NF i NFD.

Tabela 2.3. Elementy uzupełniające Silka

Nazwa	Górna granica gęstości ¹⁾ [kg/m ³]	Klasa wytrzymałości [N/mm ²]	Długość [mm]	Wysokość [mm]	Szerokość [mm]
Silka ½ E15	1800	20	166±2	199±1	150±2
Silka ½ E18		15/20			180±2
Silka ½ E24		15/20			240±2
Silka EQ10/18	1800	20	333±2	98±1	180±2
Silka EQ10/24		20			240±2
Silka EQ12,5/24		20			
Silka EQ17,5/24		20			174±1
Silka EQ 10/15	2000	20	498±2	100±1	150±2
Silka EQ 12,5/15		20		125±1	
Silka EQ 17,5/15		20		175±1	
Silka 1NF	1800	15	250±2	65±2	120±2
Silka 2NFD	1600	15		138±2	
Silka 3NFD	1600	15		220±2	
Silka 6NFD	1600	15		220±2	
Silka EW	1600	15	240±2	199±1	240±2

¹⁾ Rzeczywista gęstość wyrobów Silka zależy od zakładu produkcyjnego. Szczegółowe dane dostępne są w deklaracjach właściwości użytkowych.



Rysunek 2.3. Elementy uzupełniające Silka: a) Silka ½ E18, b) Silka ½ E24, c) Silka EW, d) Silka EQ 10/18, e) Silka EQ 10/15, f) Silka EQ 10/24, g) Silka EQ 12,5/15, h) Silka EQ 12,5/24, i) Silka EQ 17,5/15, j) Silka EQ 17,5/24, k) Silka 1NF, l) Silka 2NFD, m) Silka 3NFD

2.5. Zaprawy murarskie

Cegły i bloki wapienno-piaskowe Silka należy układać na zaprawach do cienkich spoin („klejowych”) lub zaprawach zwykłych.

2.5.1. Zaprawy do cienkich spoin

Do murowania naziemnych ścian z bloków Silka zaleca się stosowanie zaprawy systemowej do cienkich spoin Silka-Ytong. Spoina ma 1-3 mm grubości, dzięki czemu nie wpływa w znaczący sposób na izolacyjność muru. Zaprawa po 28 dniach osiąga wytrzymałość na ściskanie min. 10 N/mm².

Do murowania w warunkach zimowych przeznaczona jest zaprawa zimowa Silka-Ytong. Pozwala na prowadzenie robót w warunkach lekkiej zimy. Zaprawa osiąga wytrzymałość na ściskanie min. 10 N/mm². Szczegółowe warunki stosowania zaprawy określone są na worku.

Zużycie zapraw do cienkich spoin przedstawia tabela 2.4.

Tabela 2.4. Zużycie zaprawy przy wypełnianiu tylko spoin poziomych (spoiny pionowe na pióro-wpust)

Typ ściany	Zużycie zaprawy [kg/m ²]
Silka E8	1,1
Silka E12	1,5
Silka E15	2,0
Silka E18, E18S, E18A, E18A+	2,3
Silka E24, E24S	3,2
Silka Tempo 15	0,7
Silka Tempo 24	1,1

Tabela 2.5. Zalecane proporcje składników zapraw zwykłych

Rodzaj zaprawy	Klasa	Kompozycja	Piasek	Cement	Wapno
Cementowa	M5	wagowa	1782 kg	326 kg	-
		objętościowa	4	1	-
	M10	wagowa	1700 kg	411 kg	-
		objętościowa	3	1	-
Cementowo-wapienna	M5	wagowa	1634 kg	265 kg	74 kg
		objętościowa	4,5	1	0,5

2.5.2. Zaprawy zwykłe

Do grupy zapraw zwykłych zalicza się zaprawę cementowo-wapienną oraz zaprawę cementową. Z zapraw cementowych zaleca się stosowanie klasy M5 lub M10. Jednak z uwagi na korzyści wynikające z zastosowania w zaprawie wapna hydratyzowanego (łatwiejsze nakładanie zaprawy, większa plastyczność, grzybobójcze właściwości wapna) przede wszystkim zaleca się stosowanie zaprawy cementowo-wapiennej klasy M5. Proporcje składników w zalecanych zaprawach, przy cemencie klasy 32,5 R, przedstawiono w tabeli 2.5.

Zaprawy zwykłe stosuje się przede wszystkim do wyrobów 1NF, 2NFD, 3NFD, 6NFD. W niektórych przypadkach używa się ich również do wyrobów Silka E:

- poziomowanie pierwszej warstwy muru wykonanej z bloków wyrównawczych Silka EQ lub podstawowych Silka E,
- murowanie ściany piwnicznej i fundamentowej, gdzie z uwagi na działające siły naporu gruntu ściany należy murować z wypełnionymi spoinami poziomymi i pionowymi.

3. Zasady projektowania

3.1. Zasady ogólne

Podczas projektowania ścian konstrukcyjnych z cegieł i bloków Silka obowiązują zasady ogólne podane w PN-EN 1996 Eurokod 6.

Konstrukcję należy zaprojektować tak, aby w okresie eksploatacji nie wystąpiło przekroczenie stanów granicznych nośności i użyteczności. Budynek musi być odporny na lokalne uszkodzenia ścian np. pożar lub eksplozję. Ważną rolę pełnią tutaj wieńce żelbetowe, które łączą wszystkie ściany w poziomie stropów.

W budynkach o ustroju ścianowym sztywność konstrukcji uzyskuje się poprzez usytuowanie w kierunku podłużnym i poprzecznym ścian usztywniających. Ściany usztywniające przejmują obciążenia poziome działające na budynek w kierunku równoległym do płaszczyzn ścian. Istotnym elementem decydującym o sztywności konstrukcji budynku na obciążenia poziome są stropy o odpowiedniej konstrukcji, stanowiące sztywne tarcze rozdzielające obciążenia pionowe. Z bloków Silka można projektować budynki średnio-wysokie, a nawet wysokie (do dziewięciu kondygnacji). Odpowiednie zaprojektowanie sztywności konstrukcji na obciążenia poziome nabiera wówczas szczególnego znaczenia. Przy sprawdzaniu nośności konstrukcji nie można pomijać sił powstających w ścianach usztywniających od obciążeń poziomych.

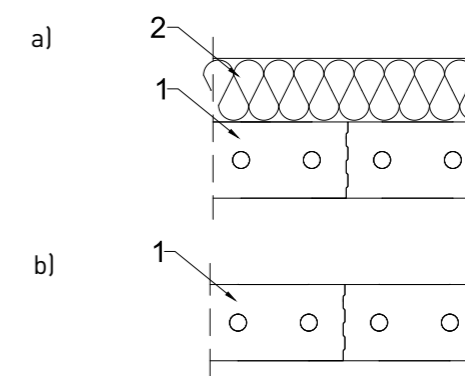
W budynkach o ustroju szkieletowym sztywność przestrzenną zapewniają również ściany usztywniające oraz ściany wypełniające poszczególne pola ustroju szkieletowego.

3.2. Rodzaje ścian

3.2.1. Ściana jednowarstwowa

Jest to ściana bez ciągłej spoiny pionowej lub szczyliny na całej wysokości muru. Jest najczęściej stosowanym rozwiązaniem konstrukcji murowych.

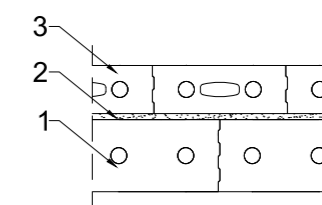
Zatem zgodnie z PN-EN 1996 ścianę z bloków Silka z ociepleniem należy traktować jako ścianę jednowarstwową.



Rysunek 3.1. Ściana jednowarstwowa; 1 – blok Silka, 2 – izolacja termiczna np. Multipor
a) ściana jednowarstwowa zewnętrzna (ściana z ociepleniem)
b) ściana jednowarstwowa wewnętrzna

3.2.2. Ściana dwuwarstwowa

Jest to ściana składająca się z dwóch równoległych murów ze spoiną podłużną wypełnioną całkowicie zaprawą murarską, zespolonych za pomocą kotew w sposób zapewniający wspólne przenoszenie obciążeń. W praktyce ściana dwuwarstwowa jest rzadko stosowana. Znajduje zastosowanie w konstrukcjach o nietypowej szerokości ściany, która może wynikać z podwyższonych wymogów nośności lub izolacyjności akustycznej.

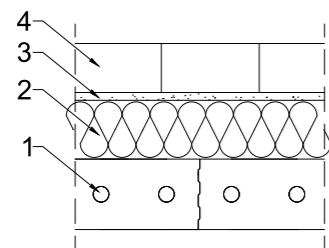


Rysunek 3.2. Ściana dwuwarstwowa wewnętrzna;
1 – blok Silka, 2 – spoina pionowa,
3 – blok Silka.

3.2.3. Ściana szczelinowa

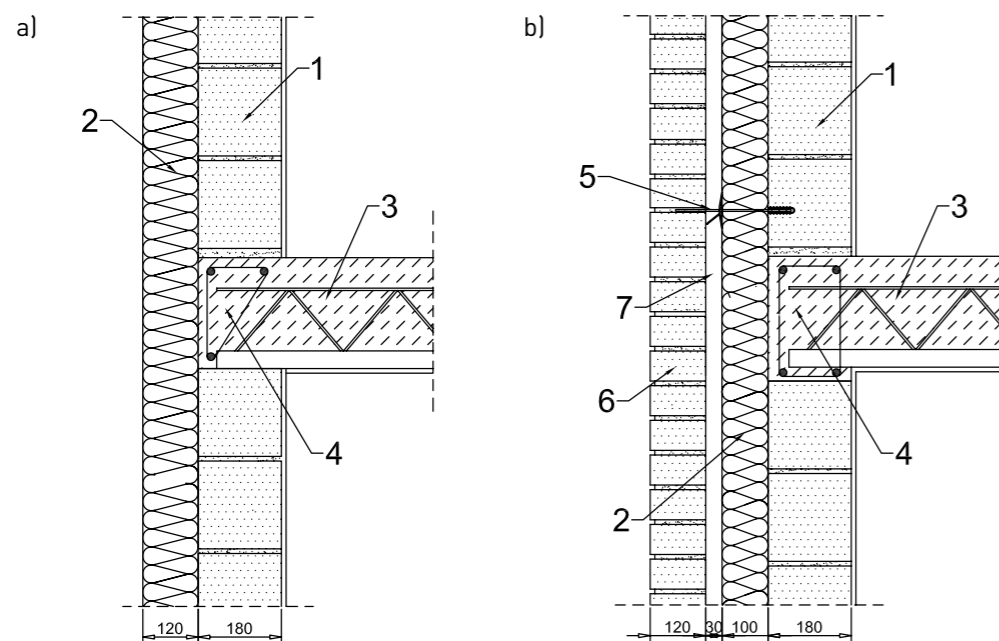
Jest to ściana składająca się z dwóch równoległych murów, trwale połączonych ze sobą kotwami lub zbrojeniem w spoinach wspornych. Przestrzeń pomiędzy murami może być niewypełniona, wypełniona lub częściowo wypełniona nienośnym materiałem termoizolacyjnym.

Typowym przykładem ściany szczelinowej jest ściana z dodatkową warstwą cegły elewacyjnej.



Rysunek 3.3. Ściana szczelinowa;

- 1 – blok Silka,
- 2 – izolacja, np. Multipor,
- 3 – pustka powietrzna,
- 4 – blok Silka, cegła Silka 1NF lub cegła klinkierowa



Rysunek 3.4. Przekroje przez ściany zewnętrzne z bloków Silka; a) ściana jednowarstwowa z ociepleniem; b) ściana szczelinowa; 1 - bloki Silka E18, 2 - izolacja płytami Multipor, 3 - strop, 4 - zbrojenie wieńca stropu, 5 - kotwa PK31 ze stali nierdzewnej, 6 - cegła Silka 1NF, 7 - pustka powietrzna

Warstwa wewnętrzna ściany szczelinowej z bloków Silka jest ścianą konstrukcyjną, w związku z tym projektuje się ją zgodnie z ogólnymi zaleceniami dotyczącymi ścian konstrukcyjnych.

Warstwa zewnętrzna powinna mieć grubość nie mniejszą niż 70 mm, oraz być trwale połączona z warstwą wewnętrzną. Mogą do tego służyć kotwy łączące PK31 wykonane z blachy nierdzewnej o grubości 2 mm. Kotwy rozmieszcza się równomiernie i przemiennie na całej powierzchni ściany.

Liczbę kotew określa się ze wzoru:

$$n_t \geq \frac{W_{Ed}}{F_d}$$

W_{Ed} – obciążenie obliczeniowe poziome, na jednostkę powierzchni;

F_d – nośność obliczeniowa kotwy na ściskanie lub rozciąganie, odpowiednio do warunków obliczeń.

Liczba kotew na 1 m² nie powinna być mniejsza niż 4 szt.

Para wodna dyfundująca przez ścianę może ulec skropleniu w miejscu pustki powietrznej. W celu odprowadzenia wody u spodu warstwy zewnętrznej wykonuje się fartuch z papy bitumicznej dobrego gatunku na podkładzie z zaprawy cementowej. W warstwie elewacyjnej należy również umieścić kratki wentylacyjne w rozstawie ok. 1 kratka na 1 mb ściany, które umieszcza się w pierwszej dolnej warstwie cegieł, w warstwie cegieł pod okapem oraz ponad nadprożami otworów okiennych i drzwiowych.

Warstwę elewacyjną z Silki należy dylatować w odległościach nie większych niż 8 m. Z uwagi na koncentrację naprężeń w narożach ścian, zaleca się umieszczać przerwy dylatacyjne w pobliżu tych miejsc.

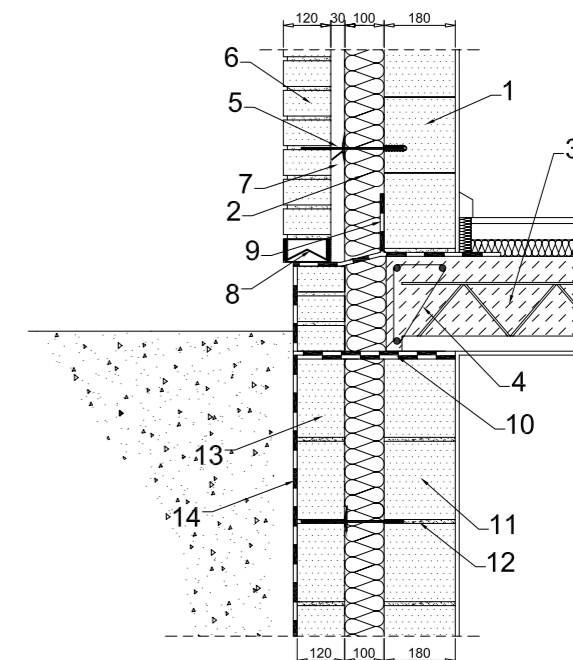
3.2.4. Ściany wypełniające

Ściany wypełniające to ściany, które nie uczestniczą w pracy konstrukcji budynku, ale stanowią przegrodę zewnętrzną lub tworzą podział wewnętrzny budynku. Z tego względu muszą spełniać wszystkie wymagania, które są związane z ich funkcją w budynku, tj. wymagania wizualne, akustyczne, termiczne, odporności ogniowej etc.

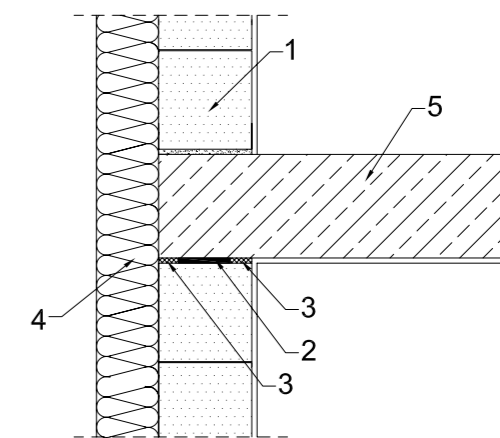
Ściana nie przenosi ciężaru konstrukcji, ale musi przenieść ciężar własny, ciężar tynku oraz gdy jest ścianą zewnętrzną także ciężar elewacji i obciążenie poziome od wiatru.

Ściany wypełniające w konstrukcji szkieletowej budynku wymagają odpowiedniego połączenia ze ścianami konstrukcyjnymi lub słupami konstrukcji szkieletowej oraz spodem belki żelbetowej lub spodem stropu (ściany działowe wewnątrz budynku), tak aby do obliczeń można było przyjąć, że ściana podparta jest wzdłuż swojej krawędzi poziomej.

Ze ścianami konstrukcyjnymi lub słupami konstrukcji szkieletowej ściany wypełniające z bloków Silka łączy się na dotyk, stosując łączniki metalowe. Łączniki wygięte pod kątem prostym, mocuje się do konstrukcji w poziomie spoiny w co trzeciej warstwie bloczków, a spoinę pionową wypełnia za-



Rysunek 3.5. Oparcie ściany szczelinowej na murze piwnicznym; 1 – bloki Silka E18, 2 – izolacja termiczna, 3 – strop, 4 – zbrojenie wieńca stropu, 5 – kotwa PK31, 6 – cegła Silka 1NF, 7 – pustka powietrzna, 8 – kratka wentylacyjna, 9 – fartuch z papy bitumicznej, 10 – podkład z zaprawy cementowej, 11 – blok Silka E18S, 12 – zaprawa cementowa, 13 – blok Silka E12, 14 – izolacja przeciwwilgociowa ściany piwnicznej



Rysunek 3.6. Połączenie ściany wypełniającej ze spodem elementu poziomego konstrukcji szkieletowej; 1 – bloki Silka E18, 2 – pasek poliuretanu, 3 – spieniony poliuretan, 4 – izolacja termiczna, 5 – konstrukcja szkieletowa

prawą. Gdy układ konstrukcyjny może ulegać istotnym deformacjom w wyniku działania np. obciążeń pionowych (konstrukcje szkieletowe nie usztywnione ścianami), ściany muruje się z pozostawieniem szczeliny pionowej ok. 10 mm, którą wypełnia się następnie pianką montażową lub wełną mineralną dla zapewnienia izolacyjności akustycznej.

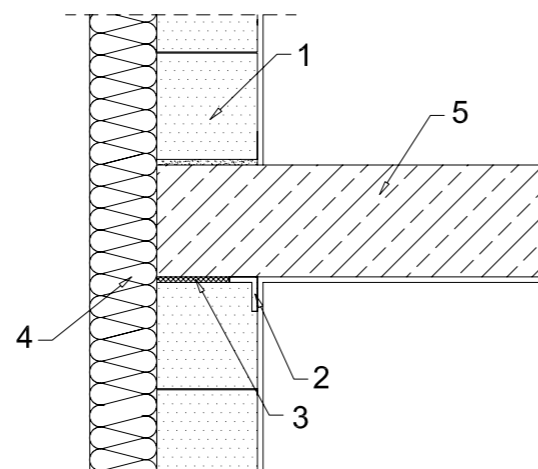
Połączenie ze spodem belki żelbetowej lub spodem stropu można wykonać według dwóch sposobów:

- pozostawienie pomiędzy wierzchem muru i spodem belki szczeliny grubości 20 – 25 mm i wypełnienie jej gęstą, plastyczną zaprawą cementową;
- pozostawienie szczeliny o grubości około 10 mm i wciśnięcie paska poliuretanu o szerokości 100 mm i grubości 15 mm w stanie nieściśniętym, a następnie wypełnienie pozostałej części szczeliny poliuretanem spienionym.

Sztynne połączenie ściany z konstrukcją uzyskane przez podbicie zaprawą można stosować jedynie w przypadku stropu o dużej sztywności na zginanie. Ugięcie takiego stropu nie powoduje uszkodzeń elementów budynku znajdujących się pod nim. W praktyce ma to miejsce przy stropach o małych rozpiętościach, nie większych niż 5,0 m. W przypadku, gdy odległość między słupami lub ścianami usztywniającymi jest większa niż 6,0 m, dodatkowo stosuje się mechaniczne oparcie ściany w jej środkowej części w postaci kątownika umocowanego do spodu stropu lub belki konstrukcji. Również w takich przypadkach często wykonuje się poziome belki – wieńce żelbetowe – w kształtach Ytong U w rozstawie około 2,0 m.

Częstym problemem towarzyszącym ścianom wypełnianym są zarysowania, które powstają na skutek ugięć stropów. W celu zapobieżenia powstawaniu rys zaleca się:

- ograniczenie ugięcia stropów – zaleca się, aby projektowane ugięcia stropów nie przekraczały wartości $l_{eff}/300$;
- ograniczenie smukłości stropów – zaleca się projektowanie stropów o smukłości $l_0^2/d \leq 150$, gdzie:
 l_0 - odległość pomiędzy miejscami zerowymi na wykresie momentów zginających w stropie,
 d - wysokość użyteczna przekroju stropu;



Rysunek 3.7. Połączenie ściany wypełniającej ze spodem elementu poziomego konstrukcji szkieletowej za pomocą oparcia mechanicznego; 1 – bloki Silka E18, 2 – oparcie mechaniczne, 3 – spieniony poliuretan, 4 – izolacja termiczna, 5 – konstrukcja szkieletowa

- jak najpóźniejsze rozdeskowanie stropu – odkształcalność betonu maleje wraz ze wzrostem jego wytrzymałości, dlatego im większą wytrzymałość betonu uzyska przed obciążeniem, tym mniejsze będzie ugięcie stropu;
- odpowiednią kolejność prac – murowanie ścian wypełniających powinno się rozpocząć od najwyższej kondygnacji tak, aby po wymurowaniu ściany nie następowało dodatkowe ugięcie stropu spowodowane ciężarem ściany spoczywającej na kondygnacji powyżej;
- jak najpóźniejsze murowanie i tynkowanie ścian – po wymurowaniu ścian wypełniających przyrost obciążeń stałych stropu powinien być jak najmniejszy. Późniejsze murowanie zapewnia ugięcie stropu bardziej zbliżone do warunków eksploatacji budynku. Wypełnienie szczelin dylatacyjnych powinno odbywać się bezpośrednio przed tynkowaniem ścian;
- stosowanie dodatkowego zbrojenia do spoin wspornych – poza strefami podokiennymi oraz w strefie nadproży (zbrojenie wysunięte 0,5 m ponad szerokość nadproża z obu stron) zaleca

się zbrojenie pełnych odcinków ścian w strefie dolnej, do 1/3 wysokości ściany;

- w szczególnych przypadkach wypełnienie spoin pionowych – przy murowaniu na pióro i wpust występuje mniej rys, jednak o większej szerokości. Wypełnienie spoin pionowych powoduje powstanie większej ilości rys, jednak o mniejszej szerokości.

Zastosowanie tych zabiegów może w znacznym stopniu ograniczyć ryzyko powstania zarysowań. Więcej informacji o ścianach wypełniających znajduje się w zeszycie technicznym „Ściany przeciwogniowe i wypełniające w systemach Silka i Ytong”.

3.2.5. Przeznaczenie bloków Silka

Wyroby Silka znajdują szerokie zastosowanie w budownictwie mieszkaniowym, handlowym, przemysłowym, inwentarskim oraz użyteczności publicznej. Możliwość zastosowania określona jest przez wymaganą klasę ekspozycji muru. Klasy ekspozycji definiuje załącznik A do PN-EN 1996-2. Bloki Silka można stosować nawet w konstrukcji narażonej na silne działanie wilgoci z jednoczesnym występowaniem cykli zamrażania-rozmrażania. Doskonale sprawdzają się także przy agresywnych środowiskach chemicznych, niemniej jednak w przypadku silniejszych oddziaływań chemicznych należy dokonać oceny wpływu środowiska na konstrukcję budynku.

Tabela 3.1. Przeznaczenie bloków Silka

Przeznaczenie	Zalecane elementy
Ścianki działowe	Silka E8, Silka E12
Ściany nośne zewnętrzne i wewnętrzne	Silka E15, Silka E18, Silka E24 Silka E18S, Silka E24S, Silka E18A, Silka E18A+, Silka Tempo 15, Silka Tempo 24
Ściany akustyczne	Silka E18A, Silka E18A+, Silka Tempo 15, Silka Tempo 24
Ściany piwniczne i fundamentowe	Silka E18S, Silka E24S, Silka Tempo 15, Silka Tempo 24
Ściany dolnych kondygnacji budynków wysokich	Silka E18S, Silka E24S, Silka Tempo 24

Tabela 3.2. Klasy ekspozycji muru

Klasa	Warunki ekspozycji
MX1	W środowisku suchym
MX2 MX2.1 MX2.2	Narażone na działanie wilgoci lub zamoczenie
MX3 MX3.1 MX3.2	Narażone na działanie wilgoci lub zamoczenie oraz cykliczne zamrażanie/rozmrażanie
MX4	Narażone na działanie soli z powietrza, wody morskiej lub soli do odladzania
MX5	W środowisku chemicznie agresywnym

Ściany z bloków Silka można stosować w klasach MX1 – MX3 bez żadnych dodatkowych warunków. Stosowanie bloków w klasach środowiska MX4 oraz MX5 jest możliwe po osiągnięciu opinii producenta.

3.3. Fizyka budowli

3.3.1. Ciepło

Rozporządzenie Ministra Infrastruktury „Warunki techniczne jakim powinny odpowiadać budynki i ich usytuowanie” określa, że wszystkie budynki muszą być tak zaprojektowane, aby ilość energii cieplnej potrzebnej do ogrzania budynku była utrzymana na racjonalnie niskim poziomie. Konieczne jest spełnienie granicznych parametrów:

- współczynnika przenikania ciepła U [$W/(m^2K)$],
- wskaźnika sezonowego zapotrzebowania na energię pierwotną EP [$kWh/(m^2rok)$].

Graniczne wartości współczynnika przenikania ciepła wobec ścian zewnętrznych określone są w tabeli 3.3.

W przypadku ścian zewnętrznych wykonanych z bloków Silka wymagane jest ocieplenie. Przykład obliczania współczynnika przenikania ciepła podany jest w tabeli 3.4. Warstwę termiczną izolacji stanowią płyty Multipor, płyty styropianowe lub z wełny mineralnej. Zalecanym materiałem są płyty Multipor lub wełna mineralna, z uwagi na paroprzepuszczalność.

W tabeli 3.5. przedstawione są parametry cieplne bloków Silka, które zależą od gęstości bloków i ilości drążeń. Tabela 3.6 określa wartości współczynnika przenikania ciepła ścian wykonanych z bloków Silka i ocieplonych mineralnymi płytami izolacyjnymi Multipor.

Tabela 3.3. Graniczne wartości współczynnika przenikania ciepła U [$W/(m^2K)$] nowoprojektowanych przegród budynków¹⁾

Typ przegrody	Do 31.12.2013	Od 01.01.2014	Od 01.01.2017	Od 01.01.2021
Ścian zewnętrzne				
$t_i \geq 16^\circ C$	0,30	0,25	0,23	0,20
$8^\circ C \leq t_i < 16^\circ C$	0,80	0,45	0,45	0,45
$t_i < 8^\circ C$		0,90	0,90	0,90
Ściany wewnętrzne				
$\Delta t_i \geq 8^\circ C$ oraz oddzielające pomieszczenia ogrzewane od klatek schodowych i korytarzy	1,00			
przy $\Delta t_i < 8^\circ C$	Bez wymagań			
Oddzielające pomieszczenie ogrzewane od nieogrzewanego	1,0	0,3		

¹⁾ O wymaganej wartości decyduje data uzyskania pozwolenia na budowę.

Tabela 3.4. Przykład obliczenia współczynnika przenikania ciepła U dla ściany zewnętrznej [$W/(m^2K)$]

Warstwa	Grubość warstwy d [m]	Współczynnik przewodzenia ciepła λ [$W/(mK)$]	Opór cieplny $R = d/\lambda$ [$(m^2K)/W$]
R_{si}	-	-	0,13
Tynk cienkowarstwowy	0,005	0,82	0,01
Silka E18	0,18	0,51	0,35
Zaprawa lekka Multipor	0,005	0,27	0,02
Multipor 18 cm	0,18	0,043	4,19
Zaprawa lekka Multipor	0,005	0,27	0,02
Tynk cienkowarstwowy	0,005	0,82	0,01
R_{se}	-	-	0,04
$\Sigma R =$			4,77
$U = 1/R$			0,21 $W/(m^2K)$

Tabela 3.5. Parametry cieplne bloków Silka

Typ ściany	Współczynnik przewodzenia ciepła λ [$W/(mK)$]	Opór cieplny R [$(m^2K)/W$]	Współczynnik przenikania ciepła U [$W/(m^2K)$]
Silka E8	0,51	0,16	3,06
Silka E12	0,50	0,24	2,44
Silka E15	0,50	0,30	2,13
Silka E18	0,51	0,35	1,91
Silka E24	0,55	0,44	1,65
Silka E18A+	1,05	0,17	2,93
Silka E18A	0,81	0,22	2,55
Silka E18S	0,64	0,28	2,22
Silka E24S	0,65	0,37	1,85
Silka Tempo 15	1,05	0,14	3,20
Silka Tempo 24	0,81	0,30	2,15
Silka 1NF klasy 15	0,81	0,15	3,14
Silka 2NFD klasy 15	0,50	0,24	2,44
Silka 3NFD klasy 15	0,50	0,24	2,44
Silka 6NFD klasy 15	0,59	0,42	1,68

Tabela 3.6. Wartość współczynnika przenikania ciepła U po ociepleniu płytami Multipor

Typ ściany	Współczynnik przenikania ciepła (bez ocieplenia) U [W/(m²K)]	Grubość warstwy Multipor [cm] $\lambda = 0,043 \text{ W/(m}^2\text{K)}$			
		14	16	18	20
Silka E15	2,13	0,27	0,24	0,21	0,20
Silka E18	1,91	0,26	0,24	0,21	0,19
Silka E24	1,65	0,26	0,23	0,21	0,19
Silka E18A	2,55	0,27	0,24	0,22	0,20
Silka E18A+	2,93	0,28	0,25	0,22	0,20
Silka E18S	2,24	0,27	0,24	0,22	0,20
Silka E24S	1,83	0,26	0,23	0,21	0,19
Silka Tempo 15	3,20	0,28	0,25	0,22	0,20
Silka Tempo 24	2,14	0,27	0,24	0,21	0,20

3.3.2. Akustyka

Akustyka przegród budowlanych jest jednym z najważniejszych aspektów użytkowych budynków.

Wymagania co do izolacyjności ścian w budynkach mieszkalnych oraz użyteczności publicznej określa norma PN-B-02151-3:1999 „Ochrona przed hałasem – Izolacyjność akustyczna przegród”. Wymagania wobec najczęściej spotykanych typów przegród podano w tablicy 3.7.

Wymagania określone w PN-B-02151-3 dotyczą izolacyjności akustycznej przegrody wbudowanej, tzn. z uwzględnieniem zjawiska przenoszenia bocznego dźwięku. Zjawisko to jest zależne od indywidualnej geometrii ścian oraz geometrii i ciężaru przegród bocznych (stropów, ścian).

Elementy murowe Silka pozwalają na zaprojektowanie ścian spełniających wymagania podane w PN-B-02151-3. Izolacyjność akustyczna ścian z bloków Silka podana jest w tablicy 3.8.

Ściany z bloków Silka E18A, E18A+, E24, E24S oraz Silka Tempo 24 z powodzeniem mogą być stosowane do budowy ścian pomiędzy klatką schodową i mieszkaniem.

Tabela 3.7. Wymagana izolacyjność akustyczna ścian wewnętrznych

Typ budynku i pomieszczenia	R' _{A1} [dB]
Budynki wielorodzinne	
mieszkanie	50
korytarze, klatka schodowa	50
pomieszczenia sanitarne	35
pokoje w mieszkaniu	30-35
Budynki jednorodzinne	
ściany międzymieszkaniowe	55
pokoje w mieszkaniu	30-40 ¹⁾
sanitariaty	35-45 ¹⁾
Hotele 3-5 gwiazdkowe	
pokoje	50
korytarz	45
Szpitala	
pokoje chorych	40-50 ¹⁾
gabinety lekarskie	40-45 ¹⁾
Budynki administracyjne	
pokoje do pracy	35
pokoje do pracy wymagające koncentracji, dyrektorskie	40-45 ¹⁾
sanitariaty	50

¹⁾ w zależności od typu pomieszczenia sąsiadującego

Tabela 3.8. Wskaźniki ważone izolacyjności akustycznej właściwej ścian z bloków Silka (wartości nie uwzględniają zjawiska przenoszenia bocznego dźwięku)

Typ ściany ¹⁾	Grubość ściany [cm]	Jednoliczbowe wskaźniki izolacyjności akustycznej ważonej		
		R _w [dB]	R _{A1} [dB]	R _{A2} [dB]
Silka E8	8	45	45	42
Silka E12	12	48	47	44
Silka E15	15	50	49	45
Silka E18	18	52	50	47
Silka E24	24	56	54	51
Silka E18S	18	53	52	47
Silka E24S	24	59 ²⁾	57 ²⁾	54 ²⁾
Silka Tempo 15	15	56 ²⁾	53 ²⁾	49 ²⁾
Silka Tempo 24	24	59 ²⁾	57 ²⁾	54 ²⁾
Silka E18A	18	55	53	47
Silka E18A+	18	56 ³⁾	55 ³⁾	51 ³⁾

¹⁾ Wartości dotyczą ścian dwustronnie otynkowanych tynkiem gipsowym o grubości 10 mm

²⁾ Wartość szacowana, obliczona na podstawie zależności $R_w = 30,9 \cdot \log(m') - 22,2$ [dB], gdzie m' – masa powierzchniowa przegrody wraz z tynkiem

³⁾ Wartość dotyczy ściany wymurowanej z wypełnieniem spoin pionowych

3.3.3. Odporność ogniowa

Wymagania dotyczące odporności ogniowej określa Rozporządzenie Ministra Infrastruktury w sprawie warunków technicznych, jakim powinny odpowiadać budynki i ich usytuowanie. Zgodnie z nim budynek i urządzenia z nim związane powinny być wykonane tak, aby podczas pożaru zapewniać:

- nośność konstrukcji przez czas wynikający z rozporządzenia,
- ograniczenie rozprzestrzeniania się ognia i dymu w budynku,
- ograniczenie rozprzestrzeniania się pożaru na sąsiednie budynki,
- możliwość ewakuacji ludzi, a także uwzględniający bezpieczeństwo ekip ratowniczych.

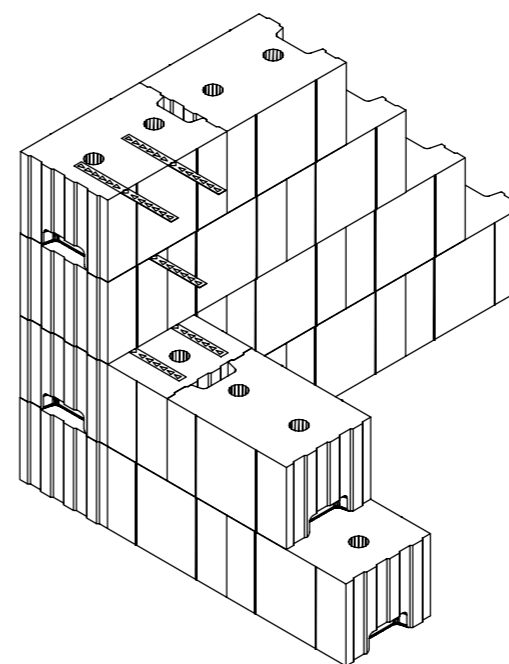
Wszystkie wyroby Silka charakteryzują się klasą reakcji na ogień A1. Oznacza to, że są niepalne, nie rozprzestrzeniają ognia oraz podczas pożaru nie wydzielają szkodliwych substancji ani nadmiernej ilości ciepła. Przegrody z bloków Silka odznaczają się wysokimi wartościami w zakresie nośności (R), szczelności (E) i izolacyjności ogniowej (I). Z bloków Silka można wykonywać ściany kottowni i ściany ogniowe. Klasyfikację ogniową ścian z Silki przedstawia tabela 3.9. i 3.10. Podane wartości w nawiasach dotyczą ścian otynkowanych. Odporność ogniowa zależy także od mimośrodowo obciążenia i smukłości ściany, dlatego niektóre wartości podane są w przedziałach. W przypadku wyższych odporności ogniowych minimalna grubość ściany zależy od indywidualnych uwarunkowań, w jakich znajduje się przegroda.

Tabela 3.9. Minimalna grubość ścian z bloków Silka dla uzyskania klasyfikacji ogniowej EI (ściany nienośne) [mm]

Klasa odporności ogniowej	EI 30	EI 45	EI 60	EI 90	EI 120	EI 180	EI 240
Min. grubość ściany [mm]	80 (80)	80÷120 (80)	80÷120 (80)	120 (120)	120÷150 (120÷150)	150÷180 (150)	150÷240 (180)

Tabela 3.10. Minimalna grubość ścian z bloków Silka dla uzyskania klasyfikacji ogniowej REI (ściany nośne) [mm]

Klasa odporności ogniowej		REI 30-90	REI 120	REI 180	REI 240
Bloki Silka Tempo 15, Silka Tempo 24, Silka E18A+, E18A, E18S, E24S, Silka 1NF (grupa 1S; gęstość 1 700 ÷ 2 400 kg/m ³)					
Min. grub. ściany [mm]	$\alpha \leq 1,0$	120 (120)	120÷180 (120÷150)	180 (180)	150÷240 (150÷240)
	$\alpha \leq 0,6$	120 (120)	120÷180 (120÷150)	180 (180)	150÷240 (150÷240)
Bloki Silka E8, E12, E15, E18, E24, 2NFD, 3NFD, 6NFD (grupa 1; gęstość 1 400 ÷ 2 400 kg/m ³)					
Min. grub. ściany [mm]	$\alpha \leq 1,0$	120 (120)	150÷240 (150)	240 (180÷240)	240 (150)
	$\alpha \leq 0,6$	120 (120)	120÷150 (120)	180÷240 (150)	240 (150)



Rysunek 3.8. Łączenie ścian w narożu budynku za pomocą łączników LP30

We wstępnym doborze łączników można posłużyć się poniższą zależnością.

Wartość wytrzymałości muru na rozciąganie w stosunku do wytrzymałości na ściskanie wyraża się stosunkiem 1/10. Zatem wartość siły rozciągającej jaką musi przenieść połączenie ścian jest dziesiątą częścią wartości obciążenia pionowego.

Według Aprobaty Niemieckiej Z-17.1-750 dopuszczalna siła rozciągająca dla 1 kotwy LP30 wynosi 0,5 kN.

Stąd dla ściany obciążonej siłą pionową 40 kN/m ilość łączników wyniesie:

$$n = 40 \text{ kN} \cdot 0,1 / 0,5 \text{ kN} / \text{szt} = 8 \text{ sztuk}$$

Oznacza to, że w ścianie o wysokości 280 cm należy zastosować po 2 łączniki w co trzeciej spoinie.

Dla prostych konstrukcji (np. domki jednorodzinne) można stosować ogólną zasadę dotyczącą ilości łączników:

- ściany nośne: 2 łączniki w co trzeciej spoinie,
- ściany działowe: 1 łącznik w co trzeciej spoinie,
- ściany z bloków Silka Tempo: 2 łączniki w każdej spoinie.

3.4. Zalecenia projektowo-wykonawcze

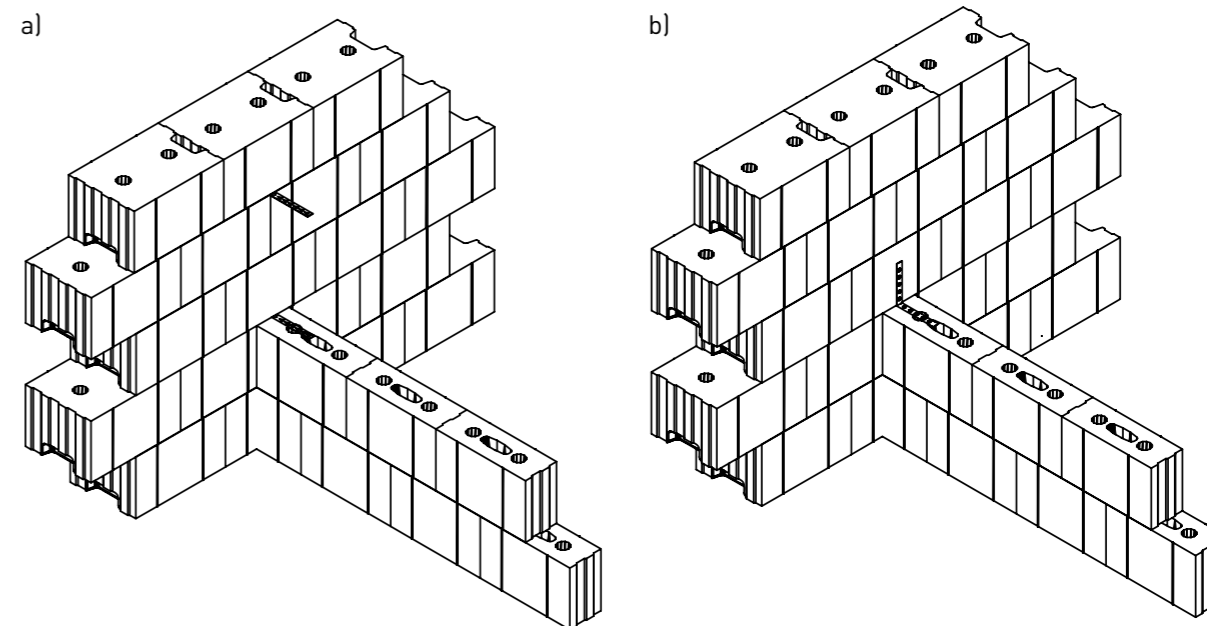
3.4.1. Połączenia ścian za pomocą przewiązania murarskiego

Najczęściej stosowanym rozwiązaniem wykonywania naroży i łączenia ścian usytuowanych względem siebie prostopadle lub pod różnymi kątami jest przewiązywanie elementów murowych.

Dzięki modularnym wymiarom bloków Silka w łatwy sposób można przewiązać ściany o różnej grubości (ściany nośne z działowymi). W przypadku, gdy chcemy wykorzystać kanały elektryczne, należy pamiętać o zachowaniu ciągłości znaczników. Na przewiązanie murarskie należy łączyć wszystkie ściany podziemia.

3.4.2. Połączenia ścian przy użyciu łączników

Ściany z bloków Silka mogą być także łączone przy użyciu łączników LP30. Ułatwia to prowadzenie instalacji w kanałach elektrycznych oraz znacznie przyspiesza proces murowania. Umożliwia też korzystne energetycznie połączenie bloczków Ytong z blokami Silka. Połączenie na dotyk polega na murowaniu oddzielnie dwóch łączonych ze sobą ścian w narożniku. W pierwszym etapie muruje się jedną ścianę mocując w spoinach łączniki mechaniczne LP30. Następnie domurowywuje się drugą ścianę narożnika tak, aby łączniki wchodziły w spoiny domurowywanej ściany. Spoinę pionową przy połączeniu ścian należy uzupełnić zaprawą. Ilość łączników LP30 w połączeniu ścian zależy wprost od wielkości obciążeń poziomych przypadających na łączone ściany (przy czym powinno się uwzględnić obciążenie większe). Wymaganą ilość łączników dla każdego przypadku, w którym działają istotne siły należy obliczyć za pomocą analizy statyczno-wytrzymałościowej.



Rysunek 3.9. Łączenie ścian działowych usytuowanych prostopadle. Ściany łączone na dotyk, kotwione za pomocą blach i kątowników:

- a) gdy położenie ścianek działowych jest znane w momencie murowania ścian nośnych
- b) gdy położenie ścianek działowych nie jest znane w momencie murowania ścian nośnych

Istnieją dwa sposoby łączenia na dotyk wewnętrznych ścian działowych ze ścianami konstrukcyjnymi:

- jeśli znany jest przebieg ścian działowych łączniki należy umieszczać w spoinach ścian nośnych. Spoinę pionową należy uzupełnić zaprawą;
- jeśli ściany działowe murowane są w późniejszym terminie można je łączyć za pomocą łącznika LP30 wygiętego i umocowanego kołkami rozporowymi do ściany nośnej. Spoinę pionową należy uzupełnić zaprawą.

Zalecanym sposobem łączenia bloków Silka Tempo są połączenia na dotyk przy użyciu łączników LP30. W każdej spoinie pionowej umieszcza się dwa łączniki. Ten sposób łączenia znacznie ułatwia wykonawstwo ścian na podstawie planów montażowych oraz dodatkowo je przyspiesza.

3.4.3. Nadproża

Jako przekrycie otworów w ścianach wykonanych z bloków Silka można stosować nadproża z betonu komórkowego Ytong YN i Ytong YF, po upewnieniu się, że posiadają odpowiednią nośność.

Ytong YN to gotowe nadproża do przekrywania otworów o szerokości do 175 cm w ścianach Silka o grubości 24 cm. Nośność nadproży YN przedstawiona jest w tabeli 3.11.

Ytong YF to prefabrykaty nadproża zespolonego, które można stosować w otworach o rozpiętości do 250 cm. Nadproża Ytong YF uzyskują nośność po nadmurowaniu blokami Silka lub po wykonaniu wieńca. Można je stosować w ścianach wykonanych z bloków Silka o grubości 12 cm (Ytong YF 11,5 cm), 18 cm (Ytong YF 17,5 cm) oraz 24 cm (2x Ytong YF 11,5 cm). Nośność nadproży przedstawiona jest w tabeli 3.12.

Do przekrywania otworów w ściankach działowych z bloków Silka E8 służą nadproża nienośne Ytong YD-125/7,5. Przekryty w ten sposób otwór może mieć maksymalną szerokość 1,02 m.

Tabela 3.11. Nośność nadproży do ścian o grub. 24 cm

Opis elementu	Dł. [mm]	Wys. [mm]	Szer. [mm]	Maks. szer. przekrywanego otworu [mm]	Minimalna długość oparcia [mm]	Maks. obciążenie obliczeniowe [kN/m]	Masa elementu [kg]
YN-130/24	1290	249	240	900	195	23	69
YN-150/24	1490			1100	195	22	79
YN-175/24	1740			1350	195	20	92
YN-200/24	1990			1500	245	17	106
YN-225/24	2240			1750	245	14	117

Tabela 3.12. Nośność nadproży zespolonych do ścian o grub. 12 cm, 18 cm i 24 cm

Grubość muru [mm]	Długość nadproża [mm]	Szerokość otworu [mm]	Dopuszczalne obciążenie charakterystyczne q_k [kN/m] w zależności od wysokości warstwy nadmurowanej h [mm] (z wypełnieniem spoin pionowych)			
			200	400	600	800
120	1300	900	12,9	17,2	17,1	17,0
	1500	1100	9,2	13,7	14,3	14,2
	1750	1250	6,9	11,0	12,4	12,3
	2000	1500	4,7	8,3	10,2	10,4
	2250	1750	3,3	6,4	8,2	9,0
	2500	2000	2,4	5,0	6,7	7,7
	2750	2250	1,7	4,0	5,5	6,5
180	1300	900	19,6	26,3	26,1	26,0
	1500	1100	15,6	22,7	23,1	22,9
	1750	1250	10,5	16,8	18,9	18,7
	2000	1500	7,3	12,7	15,6	15,8
	2250	1750	5,2	9,8	12,6	13,7
	2500	2000	3,6	7,7	10,2	11,7
	2750	2250	2,6	6,1	8,4	9,9
240	1300	900	25,8	34,4	34,2	34,0
	1500	1100	18,4	27,4	28,6	28,4
	1750	1250	13,8	22,0	24,8	24,6
	2000	1500	9,4	16,6	20,4	20,8
	2250	1750	6,6	12,8	16,4	18,0
	2500	2000	4,8	10,0	13,4	15,4
	2750	2250	3,4	8,0	11,0	13,0
	3000	2500	-	6,4	9,2	11,0

Tabela 3.13. Szczegółowe wymiary przekroju belki żelbetowej uzyskiwanej w kształtkach nadprożowych Ytong U

Rodzaj kształtki	Wysokość belki [cm]	Szerokość belki [cm]
Ytong U17,5/20	15,0	7,5
Ytong U24/20	15,0	14,0
Ytong U24/25	20,0	14,0

Nadproża nad otworami okiennymi i drzwiowymi w ścianach z bloków Silka wykonuje się w kształtkach Ytong U. Traktowane jako tracone deskowanie, kształtki Ytong U pozwalają skonstruować nadproże o żądanej długości. Elementem nośnym w tym przypadku jest indywidualnie projektowana belka żelbetowa, której wymiary i kształt zostaje nadany przez kształtkę Ytong U (wymiały w tabeli 3.13.).

Przykłady obliczeń konstrukcji nadproży w kształtkach Ytong U zamieszczono w rozdziale 6.

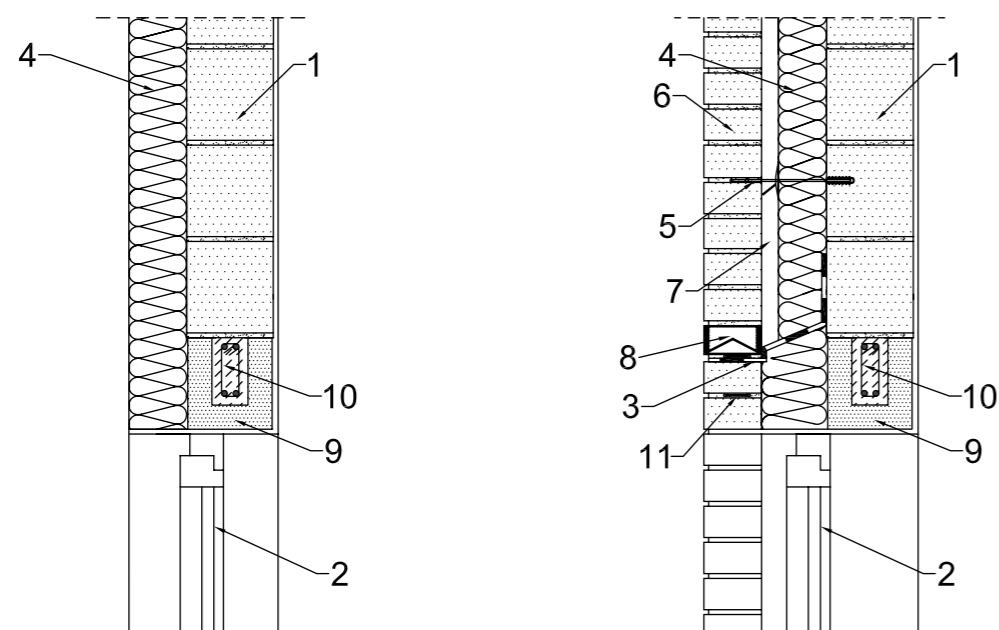
Nadproża w kształtkach Ytong U można wykonywać na placu budowy jako prefabrykowane, a następnie montować w budynku. Należy wówczas stosować długości oparcia takie jak dla belek prefabrykowanych.

W przypadku kształtowania nadproża w warstwie elewacyjnej muru trójwarstwowego zaleca się stosować zbrojenie do spoin wspornych. Podczas murowania warstwy cegieł w nadprożu w spoinach pionowych umieszcza się specjalne strzemiona. Następnie w pierwszej warstwie zaprawy umieszcza się zbrojenie do spoin wspornych. Ilość kolejnych warstw

zbrojenia zależy od rozpiętości nadproża i wielkości obciążenia oddziałującego na nie. Zastosowanie tego rozwiązania eliminuje powstawanie rys i spękań, które często są wynikiem połączenia materiałów o różnych właściwościach fizycznych (cegła wapienno-piaskowa i żelbet). Prefabrykowane zbrojenia pozwalają również uzyskać jednolitą elewację bez szpecących ją elementów betonowych, które ukrywa się pod tynkiem lub doklejając płytki elewacyjne.

3.4.4. Oparcie stropu

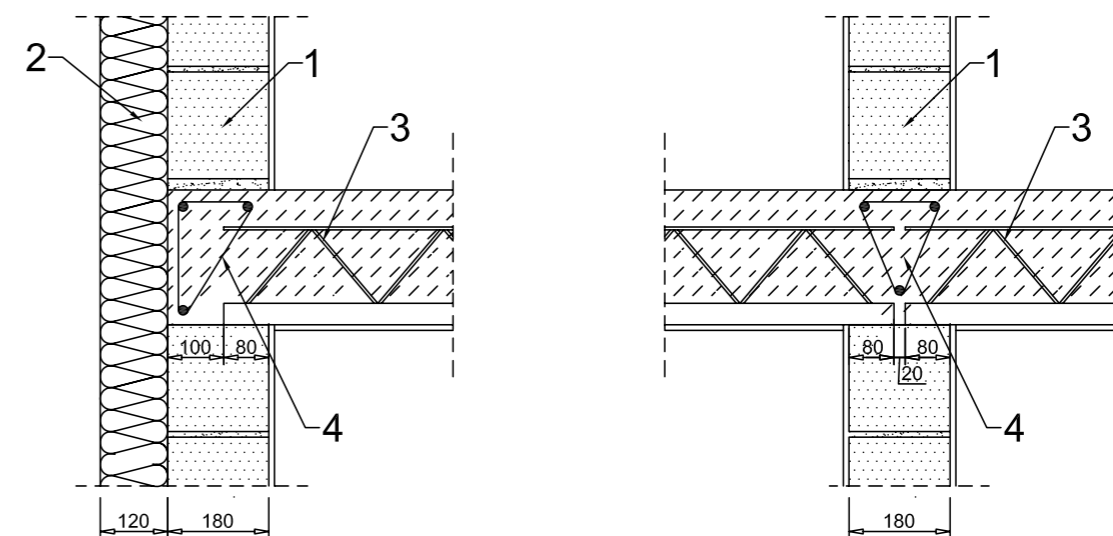
Stropy żelbetowe monolityczne, monolityczno - prefabrykowane typu Filigran oraz żelbetowe gęstożebrowe z elementami prefabrykowanymi (Akerman, Fert, Teriva) opiera się bezpośrednio na ścianach wykonanych z bloków Silka za pośrednictwem wieńca żelbetowego, stanowiącego przedłużenie stropu w ścianie (belki stropowe opiera się bezpośrednio na murze ścian zewnętrznych i wewnętrznych). Możliwość zastosowania konkretnego rodzaju stropu do ściany z bloków Silka o danej grubości jest uzależniona tylko od wymaganej przez strop głębokości oparcia na murze.



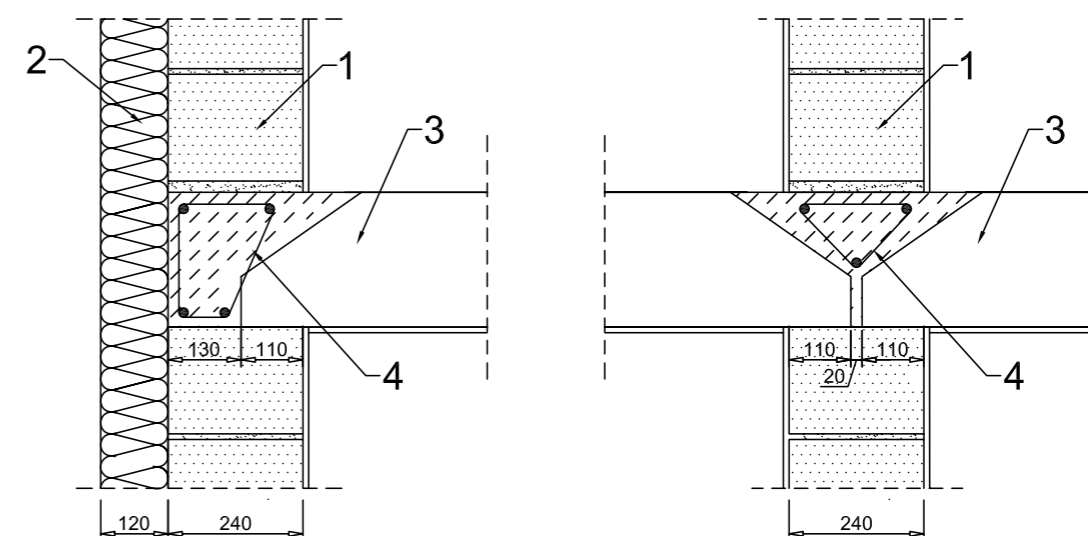
Rysunek 3.10. Nadproże wykonane w kształtce U w ścianie jednowarstwowej z ociepleniem oraz szczelinowej; 1 – bloki Silka E18, 2 – stolarka okienna, 3 – izolacja regulująca odptyw wilgoci folia PE, 4 – izolacja termiczna, 5 – kotwa ze stali nierdzewnej, 6 – cegła Silka 1NF, 7 – pustka powietrzna, 8 – puszką wentylacyjną, 9 – kształtki nadprożowe Ytong U17,5, 10 – belka żelbetowa, 11 – zbrojenie do spoin wspornych

Warstwa konstrukcyjna muru wykonana z Silki E24 pozwala na zastosowanie każdego rodzaju stropu, natomiast wewnętrzna ściana konstrukcyjna, na której strop opiera się z dwóch stron, wykonana z bloków Silka E18 o grubości 18 cm wyklucza stosowanie stropów ciężkich: stropów z płyt kanałowych, stropów gęstożebrowych typu Teriva II i III. Stropy te wymagają głębokości oparcia większej lub równej 11 cm.

Opieranie stropów w przypadku niektórych materiałów ściennych pociąga za sobą zastosowanie tzw. podmurówki – zastąpienia materiału ściennego o niskiej wytrzymałości na materiał o wysokiej wytrzymałości. Opieranie stropów na podmurówce w przypadku ścian z bloków Silka E, które są produkowane w klasach 15 ÷ 25 N/mm² nie jest wymagane i konieczne.



Rysunek 3.11. Oparcie stropu gęstożebrowego na ścianie z bloków Silka E18. Ściana zewnętrzna jednowarstwowa z ociepleniem i ściana wewnętrzna; 1 – bloki Silka E18, 2 – izolacja termiczna, 3 – strop, 4 – zbrojenie wieńca stropu



Rysunek 3.12. Oparcie stropu z płyt kanałowych na ścianie z bloków Silka E24. Ściana zewnętrzna jednowarstwowa z ociepleniem i ściana wewnętrzna; 1 – bloki Silka E24, 2 – izolacja termiczna, 3 – strop, 4 – zbrojenie wieńca stropu

3.4.5. Wieńce

Wieńce żelbetowe przede wszystkim zapewniają ogólną zwartość budynku. Wyrównują one różnice odkształceń ścian o różnym module sprężystości, przejmują siły rozciągające powstałe na skutek odkształceń termicznych, a także na skutek nierównomiernego osiadania. Stanowią również element konstrukcyjny umożliwiający utworzenie się wtórnego ustroju nośnego w przypadku lokalnego uszkodzenia budynku (np. wybuch).

Żelbetowe ściągi obwodowe powinny posiadać co najmniej dwa pręty zbrojenia o przekroju min. 150 mm² oraz przenosić siłę rozciągającą 45 kN. Zakłady prętów zbrojenia powinny być zaprojektowane zgodnie z EN 1992-1-1 oraz jeśli to możliwe, ułożone mijankowo. Równoległe zbrojenie ciągłe może być uwzględniane w całym przekroju poprzecznym pod warunkiem, że jest usytuowane w stropach lub nadprożach w odległości nie większej niż 0,5 m od środka ściany lub stropu.

Tabela 3.14. Maksymalne rozmiary bruzd pionowych

Grubość ściany [mm]	Bruzdy i wnęki wykonywane w gotowym murze		Bruzdy i wnęki wykonywane w trakcie wznoszenia muru	
	Maksymalna głębokość [mm]	Maksymalna szerokość [mm]	Minimalna wymagana grubość ściany [mm]	Maksymalna szerokość [mm]
Silka E12, Silka E15, Silka Tempo 15	30	125	90	300
Silka E18	30	150	140	300
Silka E24, Tempo 24	30	200	215	300

- Pionowe bruzdy, które nie sięgają dalej niż na 1/3 wysokości ściany ponad stropem, mogą mieć głębokość do 80 mm i szerokość do 120 mm, gdy ściana wykonana jest z bloków o grub. 24 cm.
- Odległość w kierunku poziomym między sąsiednimi bruzdami lub od bruzdy do wnęki bądź otworu nie powinna być mniejsza niż 225 mm.
- Odległość w kierunku poziomym między sąsiednimi wnękami, niezależnie od tego czy występują po jednej, czy po obu stronach ściany, lub od wnęki do otworu, nie powinna być mniejsza niż dwukrotna szerokość szerszej z dwóch wnęk.
- Łączna szerokość pionowych bruzd i wnęk nie powinna przekraczać 0,13 długości ściany.

3.4.6. Bruzdowanie i otwory

Bruzdy pionowe i otwory

Bloki Silka z uwagi na wysoką dokładność wymiarową oraz gładką powierzchnię mogą być wykończone cienką warstwą tynku. W przypadku, gdy w ścianie przewidziana jest instalacja elektryczna i nie są do tego wykorzystane kanały elektryczne Silka E, instalację można przeprowadzić w bruzdach. Wymiary bruzd i wnęk nie powinny przekraczać wartości podanych w tabeli 3.14. W przeciwnym razie należy sprawdzić nośność ściany z ich uwzględnieniem.

Bruzdy poziome i otwory

Nie należy wykonywać bruzd nad stropem do 1/8 wysokości ściany. Jeżeli mimośród w obrębie bruzdy jest mniejszy niż 1/3 grubości ściany, wymiary bruzd nie powinny przekraczać wartości podanych w tabeli 3.15. W przeciwnym razie należy sprawdzić nośność ściany z uwzględnieniem bruzd.

Tabela 3.15. Maksymalne rozmiary bruzd poziomych

Grubość ściany [mm]	Maksymalna głębokość [mm]	
	Długość bez ograniczeń	Długość ≤ 1250 mm
Silka E12, Silka E15, Silka Tempo 15	0	15
Silka E18	10	20
Silka E24, Silka Tempo 24	15	25

- Odległość pozioma między końcem bruzdy a otworem powinna być nie mniejsza niż 500 mm.
- Odległość pozioma między przyległymi bruzdami o ograniczonej długości, niezależnie od tego, czy występują po jednej, czy po obu stronach ściany, powinna być nie mniejsza niż dwukrotna długość bruzdy dłuższej.
- W ścianach o grubości większej niż 150 mm z bruzdami wycinanymi maszynowo dopuszczalną głębokość bruzdy można zwiększyć o 10 mm. W ścianach z bloków o grub. 24 cm bruzdy wycinane maszynowo o głębokości do 10 mm można wykonywać z obu stron ściany.
- Szerokość bruzdy nie powinna przekraczać połowy grubości ściany w miejscu bruzdy.

3.4.7. Murowanie bloków Silka

Przy murowaniu bloków Silka należy zachować odstęp pomiędzy spoinami pionowymi w kolejnych warstwach elementów. Dla bloków Silka E odległość ta wynosi min. 8 cm, a dla wielkowymiarowych bloków Silka Tempo min. 12 cm.

Wyroby Silka posiadają profilowanie na pióro i wpust, co umożliwia murowanie bloków na zaprawie do cienkich spoin Silka-Ytong z wypełnieniem tylko poziomych spoin. Bloki Silka E posiadają uchwyty montażowe, które znacznie ułatwiają murowanie. Ściany fundamentowe i piwniczne należy murować na zaprawie zwykłej z wypełnieniem spoin poziomych i pionowych. Szczegółowe wskazówki wykonawcze znajdują się w poradnikach murowania Silka. Informacje o zaprawach znajdują się w punkcie 2.5.

Wielkowymiarowe bloki Silka Tempo muruje się także na zaprawie do cienkich spoin Silka-Ytong wypełniając jedynie spoiny poziome. Bloki posiadają uchwyty, które umożliwiają murowanie za pomocą mini-żurawia.

Tabela 3.16. Odległość między przerwami dylatacyjnymi [m]

Odległości l_m			
Ściany szczelinowe		Ściany jednowarstwowe	
warstwa zewnętrzna	warstwa wewnętrzna	spoiny pionowe wypełnione	spoiny pionowe niewypełnione
8	30	25	20

3.4.8. Kanały elektryczne

System Silka został tak zaprojektowany, aby ułatwić wykonywanie instalacji elektrycznych w ścianach. Chcąc skorzystać z tej możliwości każdą warstwę bloków należy układać w taki sposób, aby spoiny pionowe mijaly się dokładnie co 166 mm. Na powierzchni bloków Silka umieszczone są znaczki, które muszą się pokrywać.

Ten sposób poprowadzenia instalacji umożliwia cienkowarstwowe wykończenie powierzchni ścian. W kanały elektryczne wyposażone są bloki Silka serii E, EQ oraz E-S. Kanałów elektrycznych nie posiadają bloki Silka E-A oraz Silka Tempo. Szczegółowe wskazówki wykonawcze znajdują się w poradnikach murowania Silka.

3.4.9. Dylatacje

W budynkach ze ścianami konstrukcyjnymi bloków wapienno-piaskowych i cegieł Silka należy przyjmować przerwy dylatacyjne nie mniejsze od wartości podanych w tabeli 3.16.

3.4.10. Maksymalna wysokość ścian

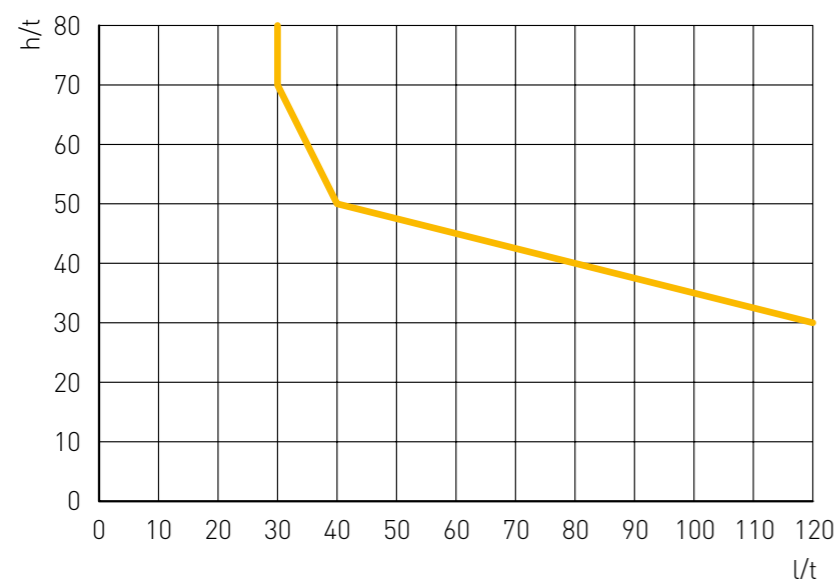
Poza spełnieniem stanu granicznego nośności, wymiary ścian nie powinny przekraczać tych, które wynikają z wykresów 3.1., 3.2. oraz 3.3. Wymiary należy odczytać dla odpowiednich warunków utwierdzenia ściany, gdzie:

h – wysokość ściany w świetle,

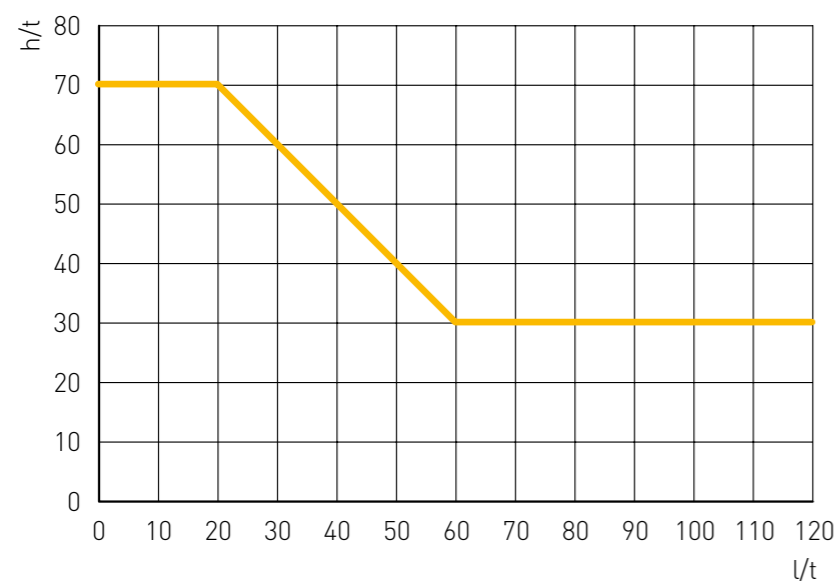
l – długość ściany,

t – grubość ściany.

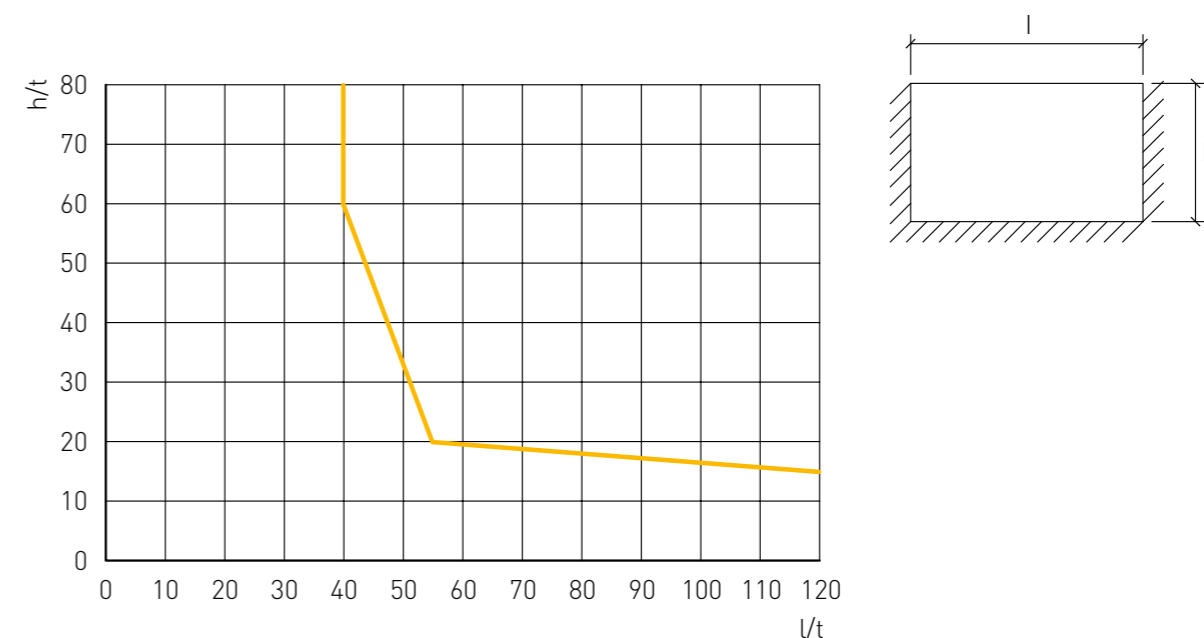
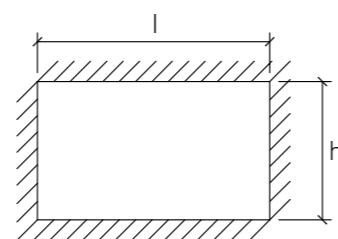
W przypadku, gdy wymiary ściany przekraczają te, które wynikają z wykresu, w ścianie należy zastosować dodatkową konstrukcję usztywniającą, wieńce pośrednie lub/i trzpienie. Wieniec pośredni powinien być zbrojony za pomocą przy najmniej 4 prętów o średnicy 6 mm.



Wykres 3.1. Maksymalne wymiary ściany zamocowanej na czterech krawędziach



Wykres 3.2. Maksymalne wymiary ściany zamocowanej na trzech krawędziach: dolnej, górnej i bocznej



Wykres 3.3. Maksymalne wymiary ściany zamocowanej na trzech krawędziach: dolnej i dwóch krawędziach bocznych

3.4.11. Projektowanie w systemie Silka Tempo

Obliczenia statyczne murów z bloków Silka Tempo wykonuje się tak samo, jak obliczenia innych konstrukcji wykonanych z elementów silikatowych. Budynki projektowane w systemie Silka Tempo są znacznie szybsze w realizacji, a ściany uzyskują jednorodne właściwości.

Aby ułatwić i tym samym przyspieszyć wykonanie ścian zaprojektowanych w systemie Silka Tempo należy uwzględnić wymiary bloków przy projektowaniu długości i wysokości ścian oraz rozmieszczeniu otworów okiennych i drzwiowych. W celu przyspieszenia realizacji zaleca się docinanie jedynie bloków Silka E24S oraz EQ. Bloki Silka Tempo można łączyć w ścianie z innymi elementami, gdy posiadają taką samą lub wyższą klasę wytrzymałości.

Pierwszą warstwę muru w systemie Silka Tempo wykonuje się z bloków Silka E24S lub Silka EQ 10/24 na grubej spoinie. Dzięki temu łatwiejsze staje się wypoziomowanie ewentualnych nierówności stropu. Warstwy uzupełniające do osiągnięcia wysokości kondygnacji spoza modułu bloków Silka Tempo przedstawia tabela 3.17.

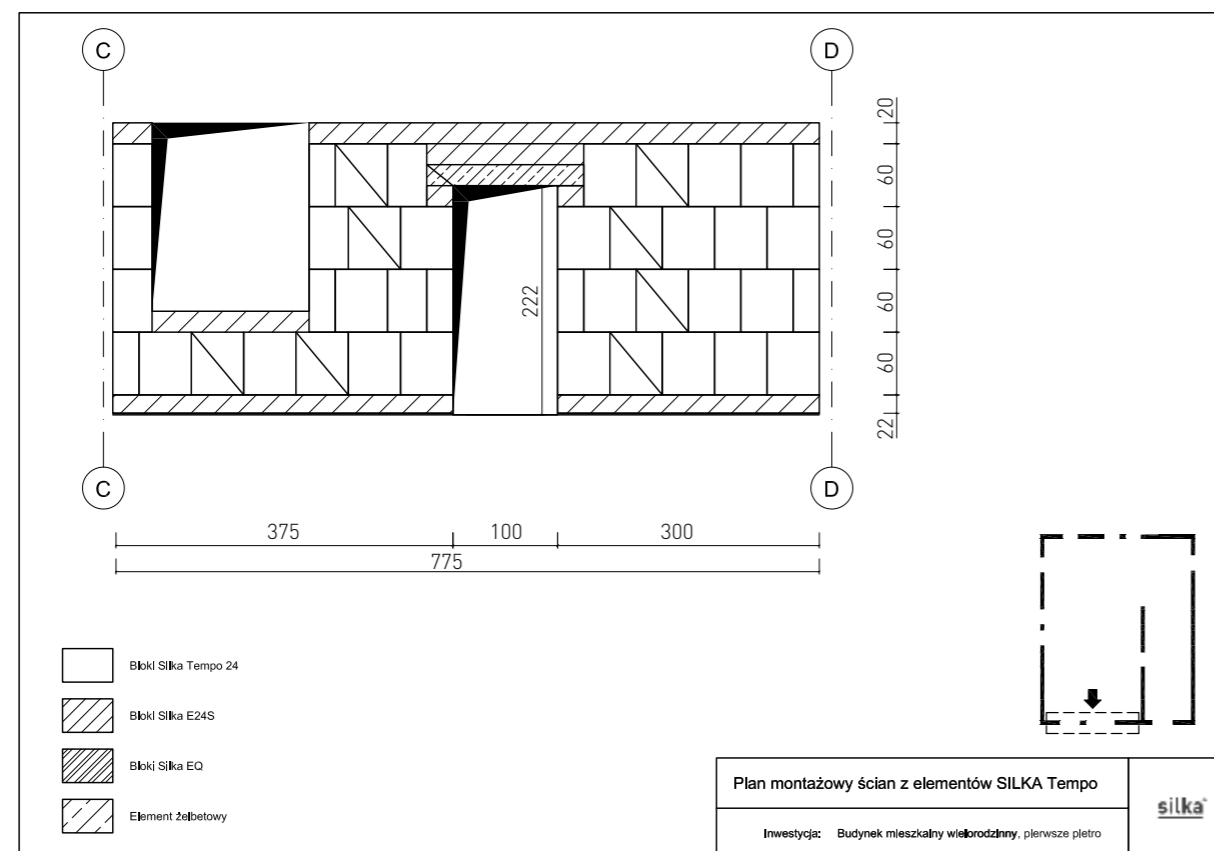
Budynki w systemie Silka Tempo powinny być zaprojektowane w module długości 12,5 cm. Brak konieczności stosowania elementów uzupełniających oraz docinania elementów znacznie przyspiesza prace. Niemniej jednak przy pomocy bloków Silka E oraz spoin pionowych o grubości do 3 cm można dowolnie dopasować długość ścian.

Bloki można także docinać za pomocą płyty tarczowej o średnicy tarczy dostosowanej do grubości bloków, co eliminuje konieczność wykonania planu montażowego oraz stosowania bloków uzupełniających.

Wysokość otworów okiennych i drzwiowych oraz ich położenie należy projektować tak, aby umożliwić ich wykonanie bez konieczności docinania bloków. Wysokość parapetu powinna być uzależniona od wysokości pierwszej warstwy (tab. 3.11, rys. 3.14).

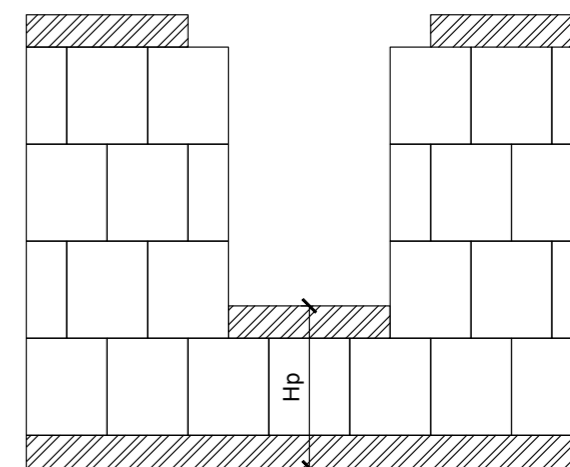
Tabela 3.17. Uzupelnienie ścian z bloków Silka Tempo do uzyskania wysokości kondygnacji spoza modułu 60 cm

Wysokość kondygnacji do uzupelnienia	Pierwsza warstwa	Warstwy wieńczące (uzupelnienie wysokości ściany)
0 cm	Silka E	2x Silka E
1-3 cm	Silka E	2x Silka E
4-6 cm	Silka E	2x Silka E
7-10 cm	Silka E	2x Silka E
11-13 cm	Silka EQ10	-
14-16 cm	Silka EQ12,5	-
17-20 cm	Silka EQ17,5	-
21-23 cm	Silka E	-
24-26 cm	Silka EQ10	Silka EQ12,5
27-30 cm	Silka EQ10	Silka EQ17,5
31-33 cm	Silka EQ10	Silka E
34-36 cm	Silka E	Silka EQ12,5
37-40 cm	Silka E	Silka EQ17,5
41-43 cm	Silka E	Silka E
44-46 cm	Silka E	Silka EQ10 + Silka EQ12,5
47-50 cm	Silka E	Silka EQ10 + Silka EQ17,5
51-53 cm	Silka E	Silka E + Silka EQ10
54-56 cm	Silka E	Silka E + Silka EQ12,5
57-59 cm	Silka E	Silka E + Silka EQ17,5



Rysunek 3.13. Przykładowy plan montażowy Silka Tempo

Ze względu na łatwość wykonania zalecanym sposobem łączenia bloków Silka Tempo w narożnikach i przy prostopadłych ścianach są łączniki LP30. W każdej spoinie należy umieścić 2 łączniki, chyba że z obliczeń wg pkt. 3.4.2. wynika inna ilość. Możliwe są także potączenia na przewiązanie murarskie, niemniej jednak są trudniejsze w realizacji.



Rysunek 3.14. Wysokość otworu okiennego

Tabela 3.18. Wysokość parapetu przy ścianach z bloków Silka Tempo 24

Hp (wysokość parapetu)	Pierwsza warstwa	Uzupelnienie wysokości otworu
72 cm	Silka EQ 10/24	-
74,5 cm	Silka EQ 12,5/24	-
79,5 cm	Silka EQ 17,5/24	-
82 cm	Silka 24S	-
	Silka EQ10/24	Silka EQ10/24
84,5 cm	Silka EQ 10/24	Silka EQ12,5/24
89,5 cm	Silka EQ 10/24	Silka EQ17,5/24
92 cm	Silka E24S	Silka EQ10/24

4. Zasady obliczeń statycznych

4.1. Zasady ogólne

Konstrukcję budynku należy zaprojektować tak, aby w przewidywanym okresie eksploatacji nie nastąpiło przekroczenie stanów granicznych nośności i użyteczności. Zasady projektowania konstrukcji murowych zawarte są w PN-EN 1996 Eurokod 6.

4.2. Parametry wytrzymałościowe muru

Bloki Silka należą do grupy 1 oraz kategorii I elementów murowych.

Do kategorii I można zaliczyć elementy murowe dobrej jakości, które zapewniają tolerancję wymiarową oraz odpowiedni poziom i powtarzalność cech wytrzymałościowych i mechanicznych. Produkowane są seryjnie przez wytwórnie stosujące odpowiednie kontrolę jakości przy udziale niezależnych jednostek certyfikujących. W porównaniu do elementów kategorii II możliwe jest stosowanie niższych współczynników bezpieczeństwa, co oznacza o 29% większą wytrzymałość obliczeniową muru, przy tej samej wytrzymałości charakterystycznej.

Do grupy 1 elementów murowych zaliczają się bloki, których łączna objętość drążeń oraz objętość pojedynczego drążenia nie przekraczają odpowiednio 25% i 12,5% objętości całego elementu. Według PN-EN 1996-1-1 zastosowanie elementów murowych grupy 1 daje możliwość zastosowania korzystniejszego współczynnika redukcji nośności K, co pozwala na osiągnięcie o 22 % lepszej wytrzymałości, w porównaniu do elementów grupy 2. Bezpośrednio pod obciążeniem skupionym oraz na długości obliczonej z uwzględnieniem rozdziału obciążenia pod kątem 60°, norma PN-EN 1996-1-1 dopuszcza stosowanie jedynie elementów murowych grupy 1 lub innych pełnych elementów. Eurokod 6 nie dopuszcza zatem stosowania elementów silikatowych grupy 2 w ścianach z otworami. Szczegółowe wymagania dla grup określone są w tabelicy 3.1. PN-EN 1996-1-1.

W PN-EN 1996-1-2 określona jest dodatkowa grupa elementów murowych 1S z uwagi na odporność ogniową. Grupa 1S dotyczy wyrobów o objętości drążeń poniżej 5% objętości całego elementu.

Tabela 4.1. Wytrzymałość na ściskanie ścian z bloków Silka o grub. 18 i 24 cm oraz Silka Tempo 24

Bloki	Wytrzymałość znormalizowana f_b [N/mm ²]	Wytrzymałość charakterystyczna f_k [N/mm ²]	Wytrzymałość obliczeniowa f_d [N/mm ²]	
			Klasa A	Klasa B
Klasa 15	15	5,50	3,23	2,75
Klasa 20, Silka Tempo 24	20	7,02	4,13	3,51
Klasa 25	25	8,48	4,99	4,24

Tabela 4.2. Wytrzymałość na ściskanie ścian z bloków Silka o grub. 12 i 15 cm oraz Silka Tempo 15

Bloki	Wytrzymałość znormalizowana f_b [N/mm ²]	Wytrzymałość charakterystyczna f_k [N/mm ²]	Wytrzymałość obliczeniowa f_d [N/mm ²]	
			Klasa A	Klasa B
Klasa 15	15	5,50	2,20	2,04
Klasa 20, Silka Tempo 15	20	7,02	2,81	2,60

4.2.1. Wytrzymałość muru na ściskanie

Wytrzymałość charakterystyczna muru na ściskanie

Wytrzymałość charakterystyczną muru na ściskanie zgodnie z PN-EN 1996-1-1 wyznaczać można z zależności:

$$f_k = K f_b^{0,70} \cdot J_m^{0,30}$$

Dla murów wykonanych na zaprawie do cienkich spoin Silka-Ytong wartość można wyznaczyć z zależności:

$$f_k = K f_b^{0,85}$$

f_b – znormalizowana wytrzymałość na ściskanie elementu murowego,

f_k – charakterystyczna wytrzymałość muru na ściskanie,

f_m – wytrzymałość zaprawy murarskiej na ściskanie,

K – współczynnik zależny od grupy elementu murowego i rodzaju zaprawy murarskiej, dobrany za pomocą tablicy NA.5 z PN-EN 1996-1-1t.

Wytrzymałość obliczeniową muru na ściskanie wyznacza się z zależności:

$$f_d = \frac{f_k}{\gamma_m}$$

gdzie

f_d – obliczeniowa wytrzymałość muru na ściskanie,

f_k – charakterystyczna wytrzymałość muru na ściskanie,

γ_m – współczynnik bezpieczeństwa wyznaczony wg tabeli NA.1 z PN-EN 1996-1-1, zależy od klasy wykonania robót oraz kategorii elementów murowych (Tabela 4.4.).

Dla wyjątkowych sytuacji obliczeniowych, niezależnie od kategorii elementów murowych i kategorii wykonania robót, można przyjąć:

- dla muru – $\gamma_m = 1,3$,
- dla zakotwień stali zbrojeniowej – $\gamma_m = 1,15$,
- dla stali zbrojeniowej – $\gamma_m = 1,0$.

Klasę wykonania ustala się na podstawie sposobu i jakości prowadzonych robót.

- klasa A wykonania robót – gdy roboty murarskie wykonuje należycie wyszkolony zespół pod nadzorem mistrza murarskiego, stosuje się zaprawy produkowane fabrycznie, a jeżeli zaprawy wytwarzane są na budowie, kontroluje się dozowanie składników, a także wytrzymałość zaprawy, a jakość robót kontroluje inspektor nadzoru inwestorskiego,
- klasa B wykonania robót – gdy warunki określające klasę A nie są spełnione; w takim przypadku nadzór nad jakością robót może wykonywać osoba odpowiednio wykwalifikowana, upoważniona przez wykonawcę.

Obliczanie nośności filarek

Według załącznika krajowego do PN-EN 1996-1-1, gdy pole przekroju poprzecznego ściany jest mniejsze niż 0,3 m², wytrzymałość obliczeniową muru na ściskanie f_d należy podzielić przez współczynnik η_A .

Tabela 4.3. Wartości współczynnika K w zależności od zastosowanej zaprawy

	Zaprawa zwykła	Zaprawa do cienkich spoin
Współczynnik K	0,45	0,55

Tabela 4.4. Wartość współczynnika γ_m w zależności od zastosowanej zaprawy

Materiał		γ_m		
		Klasa		
		A	B	
A	Mury wykonane z elementów murowych kategorii I, zaprawa projektowana ¹⁾	Ściany grubości $t > 150\text{mm}^{4)}$	1,7	2,0
B	Mury wykonane z elementów murowych kategorii I, zaprawa przepisana ²⁾		2,0	2,2
C	Mury wykonane z elementów murowych kategorii II, dowolna zaprawa ^{1), 2), 3)}		2,2	2,5

¹⁾ Wymagania dotyczące zaprawy projektowanej podano w PN-EN 998-2 i PN-EN 1996-2.

²⁾ Wymagania dotyczące zaprawy przepisanej podano w PN-EN 998-2 i PN-EN 1996-2.

³⁾ Gdy współczynnik zmienności dla kategorii II elementów murowych jest nie większy niż 25%.

⁴⁾ Dla ścian grubości 150 mm $\geq t \geq 100$ mm:

– wykonanych z elementów murowych kategorii I i zaprawy projektowanej, pod nadzorem odpowiadającym klasie A wykonania robót – $\gamma_m = 2,5$;
– w pozostałych przypadkach – $\gamma_m = 2,7$.

Tabela 4.5. Wartość współczynnika η_A

Pole przekroju poprzecznego muru (m ²)	≤ 0,05-0,09	0,12	0,20	≥ 0,30
η_A	2,00	1,43	1,25	1,00

Uwaga: Dla wartości pośrednich pola przekroju muru, wartości η_A można interpolować liniowo.

4.2.2. Wytrzymałość muru na ścinanie

W przypadku bloków murowanych na pióro-wpust charakterystyczną wytrzymałość muru na ścinanie wyznacza się ze wzoru:

$$f_{vk} = \min \begin{cases} 0,5f_{vko} + 0,4\sigma_d \\ 0,045 f_b, \text{ lecz nie mniej niż } f_{vko} \\ 0,7 \cdot f_{vk,max} \end{cases}$$

W elementach murowanych z wypełnieniem spoin pionowych (Silka E18S, E24S w ścianach fundamentowych, Silka 1NF, 2NFD, 3NFD) charakterystyczną wytrzymałość muru na ścinanie wyznacza się ze wzoru:

$$f_{vk} = \min \begin{cases} f_{vko} + 0,4\sigma_d \\ 0,065 f_b, \text{ lecz nie mniej niż } f_{vko} \\ f_{vk,min} \end{cases}$$

f_{vk} – wytrzymałość charakterystyczna muru na ścinanie w kierunku równoległym do spoin wspornych, gdy naprężenie ściskające równe jest zero ($\sigma_d = 0$); podana w Tabelicy 4.7,

σ_d – wartość średnia obliczeniowych naprężeń ściskających w przekroju w kierunku prostopadłym do płaszczyzny ścinania w rozważanym elemencie konstrukcji, wyznaczona dla odpowiedniej kombinacji oddziaływań,

f_b – znormalizowana wytrzymałość elementów murowych na ściskanie w kierunku prostopadłym do spoin wspornych,

$f_{vk,min}$ – minimalna wartość wytrzymałości zgodnie z tabelicą 4.7.

Wytrzymałość obliczeniową na ścinanie wyznacza się analogicznie jak dla wytrzymałości na ściskanie:

$$f_{vd} = \frac{f_{vk}}{\gamma_m}$$

4.2.3. Wytrzymałość muru na rozciąganie

Wytrzymałość charakterystyczną muru na rozciąganie przy zginaniu f_{xk1} i f_{xk2} należy przyjmować wg tabel NA.8 i NA.9 z PN-EN 1996-1-1.

f_{xk1} – wytrzymałość charakterystyczna muru na rozciąganie w płaszczyźnie zniszczenia równoległej do spoin wspornych,

f_{xk2} – wytrzymałość charakterystyczna muru na rozciąganie w płaszczyźnie zniszczenia prostopadłej do spoin wspornych.

Tabela 4.6. Wytrzymałość charakterystyczna muru na ścinanie

f_{vko}		Zaprawa do cienkich spoin	$f_{vk,min}$
Zaprawa zwykła			
f_m	f_{vko}	0,30	
15; 20	0,20		
5; 10	0,15		
1; 2,5	0,10		1,2

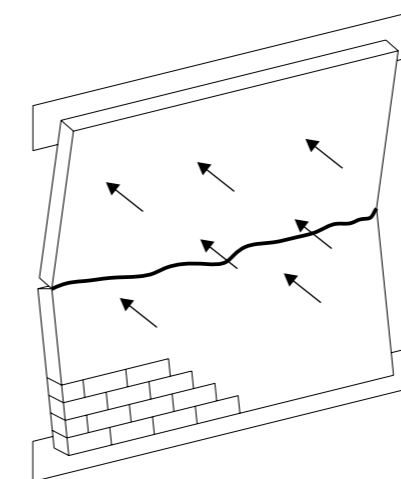
Tabela 4.8. Wytrzymałość charakterystyczna na rozciąganie muru z bloków Silka w płaszczyźnie zniszczenia równoległej do spoin wspornych f_{xk1} [N/mm²]

Rodzaj zaprawy			
Zaprawa zwykła		Zaprawa do cienkich spoin	Zaprawa lekka
$f_m < 5 \text{ N/mm}^2$	$f_m \geq 5 \text{ N/mm}^2$		
0,05	0,10	0,15	nie stosuje się

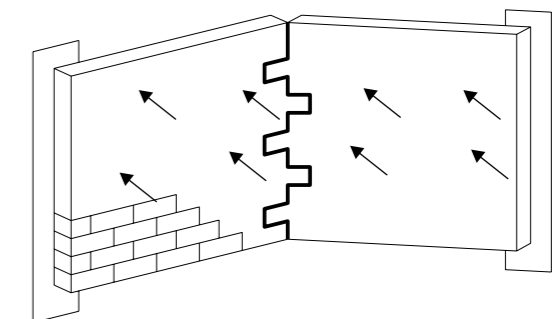
Tabela 4.9. Wytrzymałość charakterystyczna na rozciąganie muru z bloków Silka w płaszczyźnie zniszczenia prostopadłej do spoin wspornych f_{xk2} [N/mm²]

Rodzaj zaprawy			
Zaprawa zwykła		Zaprawa do cienkich spoin	Zaprawa lekka
$f_m < 5 \text{ N/mm}^2$	$f_m \geq 5 \text{ N/mm}^2$		
0,20	0,40	0,30	nie stosuje się

a)



b)



Rysunek 4.1. Wytrzymałość muru na rozciąganie:

- a) w płaszczyźnie równoległej do spoin wspornych,
- b) w płaszczyźnie prostopadłej do spoin wspornych.

4.2.4. Ściana poddana obciążeniu skupionemu

Przyłożone do ściany obliczeniowe obciążenie skupione N_{Edc} , nie powinno być większe od nośności obliczeniowej ściany pod obciążeniem skupionym N_{Rdc} . Nośność ścian z elementów Silka oblicza się wg wzoru:

$$N_{Rdc} = \beta \cdot A_b \cdot f_d$$

gdzie

$$\beta = \min \left\{ \begin{array}{l} \left(1 + 0,3 \frac{a_1}{h_c}\right) \left(1,5 - 1,1 \frac{A_b}{A_{ef}}\right) \\ 1,25 + \frac{a_1}{2h_c} \\ 1,5 \end{array} \right.$$

oraz $\beta \geq 0$;

β – współczynnik zwiększający nośność na obciążenie skupione,

a_1 – odległość końca ściany od krawędzi skrajnego obszaru obciążenia,

h_c – wysokość ściany od poziomu obciążenia,

A_b – obciążana powierzchnia,

A_{ef} – powierzchnia efektywna rozdziału, tj. $l_{efm} \cdot t$,

t – grubość muru.

4.2.5. Odształcalność muru

Zależność naprężenie – odkształcenie można przyjąć jako funkcję paraboliczno-prostokątną. Dla obliczenia nośności przekroju zginanego i mimośrodowo ściskanego dopuszcza się przyjmowanie zależności prostokątnej.

Doraźny sieczny moduł sprężystości muru:

wg normy PN-EN 1996-1-1 dla elementów silikatowych przy zastosowaniu zaprawy o $f_m \geq 5$ MPa wartość doraźnego siecznego modułu sprężystości muru wynosi:

$$E = 1000 f_k$$

Tabela 4.10. Doraźny sieczny moduł sprężystości

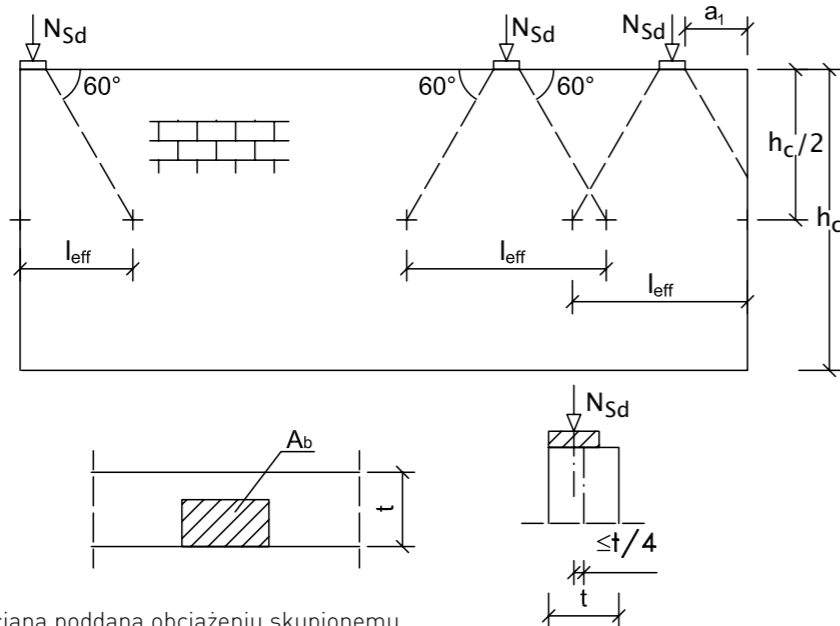
Klasa	Sieczny moduł sprężystości
15 MPa	5500 MPa
20 MPa, Tempo	7020 MPa
25 MPa	8480 MPa

Długotrwały moduł sprężystości:

wg normy PN-EN 1996-1-1 za wartość długotrwałego modułu sprężystości przyjmować należy wartość doraźnego, siecznego modułu sprężystości, zredukowaną z uwagi na efekt pełzania:

$$E_{longterm} = \frac{E}{1 + \phi_\infty}$$

ϕ_∞ – końcowy współczynnik pełzania. Dla silikatów należy przyjąć wartość z przedziału 1,0 – 2,0.



Rysunek 4.2. Ściana poddana obciążeniu skupionemu

5. Wymiarowanie ścian obciążonych głównie pionowo

Według normy PN-EN 1996 jedynym modelem obliczeniowym jest model ramowy – odpowiednik modelu ciągłego, dopuszczalnego w normie PN-B-03002. Metoda ta uwzględnia nośność ścian obciążonych głównie pionowo, ale uwzględnia także momenty zginające powstałe od sił poziomych (np. wiatru) oraz od mimośrodowego działania sił pionowych. Sprawdzenie nośności ściany należy dokonać w przekrojach na górnej krawędzi ściany, na dolnej krawędzi ściany oraz w środku wysokości ściany.

W stanie granicznym nośności, obliczeniowe siły pionowe działające na ścianę murową N_{Ed} nie powinny być większe od nośności obliczeniowej na obciążenia pionowe ściany N_{Rd} :

$$N_{Ed} \leq N_{Rd}$$

Obliczeniową nośność ściany wyznacza się ze wzoru:

$$N_{Rd} = \Phi t f_d$$

Φ – współczynnik redukcyjny nośności, odpowiednio, Φ_i u góry i u dołu ściany lub Φ_m w środku ściany, uwzględniający wpływ smukłości i mimośród obciążenia,

t – grubość ściany,

f_d – wytrzymałość obliczeniowa muru na ściskanie.

Dolne i górne krawędzie ścian

W przypadku dolnych i górnych krawędzi ścian, wartość współczynnika redukcyjnego nośności wyznacza się ze wzoru:

$$\Phi_i = 1 - 2 \frac{e_i}{t}$$

gdzie:

e_i – mimośród odpowiednio u góry i u dołu ściany, wyznaczany ze wzoru:

$$e_i = \frac{M_{id}}{N_{id}} + e_{hc} + e_{int} \geq 0,05 \cdot t$$

M_{id} – moment zginający wywołany działaniem obciążeń obliczeniowych, u góry i u dołu ściany, będący wynikiem przekazywania reakcji na podporę ze stropu, na mimośrodku wyznaczonym zgodnie z rysunkiem 5.1,

N_{id} – siła pionowa wywołana działaniem obciążeń obliczeniowych, u góry i u dołu ściany,

e_{hc} – mimośród u góry i u dołu ściany, będący wynikiem działania sił poziomych (np. wiatru), jeżeli występują,

e_{int} – mimośród początkowy ze znakiem zwiększającym bezwzględną wartość e_i ; powstały w skutek niedokładności wykonawczych, należy uwzględnić go na całej wysokości ściany.

Można przyjąć wartość $e_{int} = h_{ef}/450$, gdzie h_{ef} jest wysokością efektywną wymiarowanej ściany.

Środek ścian

W uproszczony sposób można obliczyć współczynnik redukcyjny dla środka ściany Φ_m ze wzorów:

$$\Phi_m = A_1 e^{-\frac{u^2}{2}}$$

gdzie

$$A_1 = 1 - 2 \frac{e_{mk}}{t}$$

$$u = \frac{\lambda - 0,063}{0,73 - 1,17 \frac{e_{mk}}{t}}$$

e_{mk} – mimośród w połowie wysokości ściany określony wzorem:

$$e_{mk} = e_m + e_k \geq 0,05 \cdot t$$

e_m – mimośród działania obciążenia obliczany według wzoru:

$$e_m = \frac{M_{md}}{N_{md}} + e_{hm} + e_{int}$$

M_{md} – moment zginający wywołany działaniem obciążeń obliczeniowych w środkowej części ściany, będący wynikiem działania momentów u góry i u dołu ściany z uwzględnieniem każdego obciążenia przyłożonego do powierzchni licowej ściany (np. wspornik),

N_{md} – siła pionowa wywołana działaniem obciążeń obliczeniowych w połowie wysokości ściany, z uwzględnieniem każdego obciążenia przyłożonego do powierzchni licowej ściany (np. wspornik),

e_{hm} – mimośród w połowie wysokości ściany, będący wynikiem obciążeń poziomych (np. wiatru); wpływ zależy od kombinacji obciążeń, stąd należy brać pod uwagę ilorz $\frac{M_{md}}{N_{md}}$,

e_{int} – jak we wzorze do wyznaczenia e_i ,

e_k – mimośród wywołany pętlaniem określany wzorem:

$$e_k = 0,002 \phi_x \frac{h_{ef}}{t_{ef}} \sqrt{t_{ef} e_m}$$

h_{ef} – wysokość efektywna przekroju obliczana zgodnie ze wzorem,

ϕ_x – końcowy współczynnik pętzenia wynoszący 1,0 – 2,0,

$$h_{ef} = \rho_n h$$

ρ_n – współczynnik redukcji, gdzie $n=2, 3$ lub 4 w zależności od utwierdzenia krawędzi lub usztywnienia ściany.

Dla ścian utwierdzonych na górnej i dolnej krawędzi przez stropy żelbetowe lub dachy rozpięte dwukierunkowo, lub przez stropy żelbetowe rozpięte jednokierunkowo oparte na co najmniej 2/3 grubości ściany:

$$\rho_2 = 0,75$$

chyba że mimośród obciążenia na górnej krawędzi ściany jest większy niż 0,25 grubości ściany, wtedy:

$$\rho_2 = 1,0$$

Dla ścian utwierdzonych na górnej i dolnej krawędzi przez stropy lub dachy drewniane rozpięte dwukierunkowo lub przez stropy drewniane rozpięte jednokierunkowo oparte na co najmniej 2/3 grubości ściany i nie mniej niż 85 mm:

$$\rho_2 = 1,0$$

Dla ścian utwierdzonych na górnej i dolnej krawędzi i usztywnionych na jednej pionowej krawędzi (z jedną krawędzią swobodną):

gdy $h \leq 3,5l$,

$$\rho_3 = \frac{1}{1 + \left[\frac{\rho_2 h}{3l} \right]^2} \rho_2$$

lub

gdy $h > 3,5l$,

$$\rho_3 = \frac{1,5l}{h} \geq 0,3$$

l – długość ściany,

h – wysokość kondygnacji w świetle,

$$t_{ef} = \rho_t t$$

ρ_t – współczynnik sztywności dotyczący ścian usztywnionych pilastrami, gdzie $n=2,3$ lub 4 w zależności od utwierdzenia krawędzi lub usztywnienia ściany.

Wyznaczanie momentów M_{id} i M_{ig} :

$$M_1 = \frac{\frac{n_1 E_1 I_1}{h_1}}{n_1 \frac{E_1 I_1}{h_1} + n_2 \frac{E_2 I_2}{h_2} + n_3 \frac{E_3 I_3}{l_3} + n_4 \frac{E_4 I_4}{l_4}} \left[\frac{w_3 l_3^2}{4(n_3 - 1)} - \frac{w_4 l_4^2}{4(n_4 - 1)} \right]$$

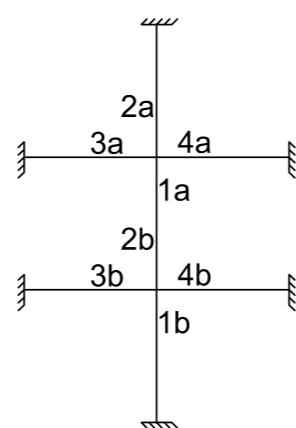
$$M_2 = \frac{\frac{n_2 E_2 I_2}{h_2}}{n_1 \frac{E_1 I_1}{h_1} + n_2 \frac{E_2 I_2}{h_2} + n_3 \frac{E_3 I_3}{l_3} + n_4 \frac{E_4 I_4}{l_4}} \left[\frac{w_3 l_3^2}{4(n_3 - 1)} - \frac{w_4 l_4^2}{4(n_4 - 1)} \right]$$

n_i – współczynnik sztywności prętów równy 4 w odniesieniu do prętów utwierdzonych na obu końcach, w przeciwnym razie równy 3,

h_i – wysokość stropu w świetle,

l_i – długość ściany w świetle,

w_i – obciążenie równomierne rozłożone na pręcie – obliczone z uwzględnieniem częściowych współczynników bezpieczeństwa wywołujących efekt niekorzystny (PN-EN 1990).



Rysunek 5.1. Schemat do wyznaczania momentów

Tabela 5.2. Wartości współczynnika ρ

Stosunek osiowego rozstawu pilastrów do ich szerokości	Stosunek wysokości pilastra do grubości ściany, z którą jest połączony		
	1	2	3
6	1,0	1,4	2,0
10	1,0	1,2	1,4
20	1,0	1,0	1,0

Przy wyznaczaniu współczynnika dopuszcza się interpolację wartości.

Obciążenia obliczeniowe

Wartości obliczeniowe uzyskuje się przez przemnożenie obciążeń charakterystycznych przez współczynniki bezpieczeństwa. Przy wyznaczaniu obliczeniowego oddziaływania należy zastosować kombinacje obciążeń według pkt. 6.4.3.2. z PN-EN 1990.

Wartości obliczeniowe sił przekazywanych na konstrukcję murową wyniosą:

$$N_{Ed} = \max \left\{ \begin{aligned} (6.10a) &\Rightarrow \sum_{j \geq 1} \gamma_{G,j} \cdot N_{Gk,u} + \gamma_{Q,1} \cdot \Psi_{0,1} \cdot N_{Qk,u,1} + \sum_{i > 1} \gamma_{Q,i} \cdot \Psi_{0,i} \cdot N_{Qk,u,i} \\ (6.10b) &\Rightarrow \sum_{j \geq 1} \xi \cdot \gamma_{G,j} \cdot N_{Gk,u} + \gamma_{Q,1} \cdot N_{Qk,u,1} + \sum_{i > 1} \gamma_{Q,i} \cdot \Psi_{0,i} \cdot N_{Qk,u,i} \end{aligned} \right\}$$

gdzie:

N_{Ed} – obliczeniowa siła pionowa działająca na ścianę murową,

$N_{Gk,u}$ – charakterystyczna stała siła pionowa z wyższych kondygnacji,

N_{Gk} – charakterystyczna stała siła pionowa od ciężaru rozpatrywanej ściany,

$N_{Qk,u,i}$ – charakterystyczna zmienna wiodąca lub główna siła pionowa z wyższych kondygnacji,

$N_{Qk,u,i}$ – charakterystyczna zmienna siła pionowa i z wyższych kondygnacji,

$\gamma_{G,j}$ – współczynnik częściowy dla oddziaływania stałego j wynoszący 1,35,

$\gamma_{Q,1}$ – współczynnik częściowy dla wiodącego lub głównego oddziaływania zmiennego,

$\gamma_{Q,i}$ – współczynnik częściowy dla oddziaływania zmiennego i wynoszący 1,5,

ξ – współczynnik redukcyjny wynoszący 0,85, tak aby $\xi \cdot \gamma_{G,j} = 1,15$,

$\Psi_{0,1}, \Psi_{0,i}$ – wartości kombinacyjne obciążenia zmiennego odpowiednio: wiodącego lub głównego oraz obciążenia zmiennego i .

Wartość współczynników $\Psi_{0,i}$ należy określić na podstawie kategorii budynku, według tabeli 5.3.

Tabela 5.3. Zalecane wartości współczynników $\Psi_{0,i}$ dla budynków

Oddziaływanie	Ψ_0
Kategoria A: powierzchnie mieszkalne	0,7
Kategoria B: powierzchnie biurowe	0,7
Kategoria C: miejsca zebrań	0,7
Kategoria D: powierzchnie handlowe	0,7
Kategoria E: powierzchnie magazynowe	1,0
Kategoria F: powierzchnie ruchu pojazdów ≤ 30 kN	0,7
Kategoria G: powierzchnie ruchu pojazdów 30 kN < ciężar pojazdu ≤ 160 kN	0,7
Kategoria H: dachy	0,0
Obciążenie budynków śniegiem	0,5
Obciążenie wiatrem	0,6
Temperatura w budynku	0,6

6. Przykłady obliczeń

Przykładowe obliczenia dotyczą budynku wielorodzinnego, ośmiokondygnacyjnego, zlokalizowanego w I strefie wiatrowej i II strefie śniegowej (Warszawa).

Charakterystyka budynku:

- poprzeczny układ stropów,
- dach o spadku 2° kryty papą,
- rozpiętość stropów 6,0 m,
- stropy międzypiętrowe żelbetowe o grubości 15 cm,
- odległość między ścianami usztywniającymi 5,0 m,
- wysokość kondygnacji 2,85 m,
- okna o szerokości 0,9 m w ścianach podłużnych,
- drzwi wewnętrzne w ścianach wewnętrznych o szerokości 0,9 m.

Schemat budynku przedstawiony jest na Rysunku 6.1.

6.1. Zestawienie obciążeń jednostkowych

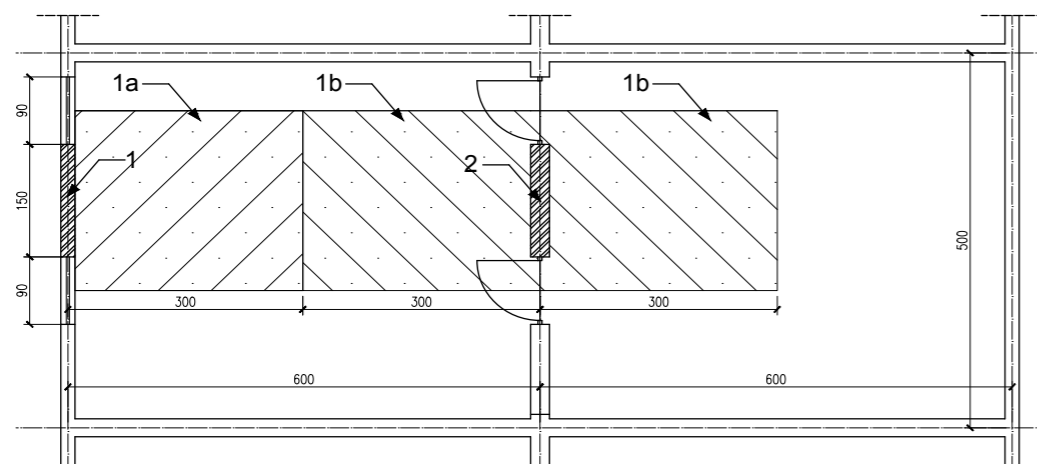
6.1.1. Stropdach wentylowany

Obliczenia stałe charakterystyczne

Tabela 6.1. Obciążenia stałe charakterystyczne dla stropodachu

Warstwa	Obliczenia	Obciążenie charakterystyczne g_k [kN/m ²]
Papa x 3	0,2	0,2
Gładź cementowa	0,015-21	0,32
Płyty korytkowe	0,87	0,87
Ścianki ażurowe Silka 1NF ¹¹	0,67-0,12-1,0-1,0-18	1,45
Styropian	0,1-0,45	0,05
Płyta żelbetowa 15 cm	0,15-25	3,75
Tynk cem. – wap.	0,015-19	0,29
		Suma: 6,93 kN

¹¹ 1/3 powierzchni ściany stanowi jej prześwit.



Rysunek 6.1. Zestawienie obciążeń jednostkowych
1 – filar międzyokienny; 1a – pole obciążające filar międzyokienny; 2 – filar międzydrzwiowy;
2a – pole obciążające filar międzydrzwiowy

Obliczenia zmienne charakterystyczne

- obciążenie wiatrem wg PN-EN 1991-1-4
Z uwagi na niewielki kąt pochylenia połaci $\alpha = 2^\circ$ oraz kierunek połaci obciążenie wiatrowe będzie powodowało ssanie. Z tego powodu obciążenie dachu wiatrem pominięto.
- obciążenie śniegiem wg PN-EN 1991-1-3.
W II strefie obciążenie śniegiem $s_k = 0,9$ kN/m² (tabela NB.1). Kąt pochylenia połaci przyjęto $\alpha = 2^\circ$. Budynek zlokalizowany w terenie normalnym (obszary na których nie występuje znaczne przenoszenie śniegu przez wiatr na budowlę z powodu ukształtowania terenu, innych budowli oraz drzew), wsp. ekspozycji $C_e = 1,0$. Przyjęto współczynnik termiczny $C_t = 1,0$ oraz współczynnik kształtu dachu $\mu = 0,8$.

Obciążenie równomiernie rozłożone na całym stropodachu:

$$S_{ik} = \mu \cdot C_e \cdot C_t \cdot s_k = 0,8 \cdot 1,0 \cdot 1,0 \cdot 0,9 = 0,72 \text{ kN/m}^2$$

- obciążenie użytkowe stałe wg PN-EN 1991-1-1

Przyjęto kategorię H – dachy bez dostępu, z wyjątkiem zwykłego utrzymania i napraw (tab. 6.9 PN-EN 1991-1-1)

Przyjęto: $q_k = 1,0$ kN/m²

6.1.2. Strop

Obciążenie stałe charakterystyczne

W całym budynku stropy międzypiętrowe zaprojektowane są jako żelbetowe.

Tabela 6.2. Obciążenia charakterystyczne stropu żelbetowego

Warstwa	Obliczenia	Obciążenie charakterystyczne g_k [kN/m ²]
Parkiet	0,17	0,17
Zaprawa cementowa o grub. 4 cm zbrojona siatką	25-0,04	1,00
Styropian 4 cm	0,45-0,04	0,02
Strop monolityczny 15 cm	25-0,15	3,75
Tynk cem. – wap. 1,5 cm	19-0,015	0,29
		Suma: 5,23 kN

Obciążenie zmienne charakterystyczne

Na podstawie tablicy 6.1 z PN-EN 1991-1-1 dobrano kategorię budynku A (powierzchnie mieszkalne)

Wartość obciążenia charakterystycznego zmiennego wynosi 1,5–2,0 kN/m².

Przyjęto: $q_k = 2,0$ kN/m²

Według 6.3.1.1 z PN-EN 1991-1-1 obciążenie zastępcze od ścianek działowych wynosi:

Dla ścian o ciężarze własnym $\leq 1,0$ kN/m, $q_k = 0,5$ kN/m²

Dla ścian o ciężarze własnym $\leq 2,0$ kN/m, $q_k = 0,8$ kN/m²

Dla ścian o ciężarze własnym $\leq 3,0$ kN/m, $q_k = 1,2$ kN/m²

Przyjęto ścianki działowe z płyt Ytong Panel o grubości 7,5 cm i gęstości 600 kN/m³, które umożliwiają cienkowarstwowe wykończenie tapetą lub gładzią.

Ciężar ściany o wysokości 2,8 m wynosi:

$$0,075 \cdot 6 \cdot 2,80 = 1,26 \text{ kN/m}$$

$$1,26 \text{ kN/m} \leq 2,0 \text{ kN/m}$$

Przyjęto obciążenie zastępcze od ścianek działowych 0,8 kN/m².

6.1.3. Ściany

Ściany zewnętrzne

Tabela 6.3. Ciężary ścian zewnętrznych o grub. 18 cm

	Ściany pełne z bloków Silka E18 kl. 15	Filary międzyokienne z bloków Silka E18S kl. 20
Mur	0,18·14,0	0,18·18,0
Styropian 15 cm	0,45·0,15	0,45·0,15
Tynk	19·(0,005+0,015)	19·(0,005+0,015)
Suma:	2,97 [kN/m ²]	3,69 [kN/m ²]

Ściany wewnętrzne

Tabela 6.4. Ciężary ścian wewnętrznych o grub. 24 cm

	Ściany pełne z bloków Silka E24 kl. 15	Filary międzyokienne z bloków Silka E24S kl. 20
Mur	0,24·16,0	0,24·18,0
Tynk	19·0,015·2	19·0,015·2
Suma:	4,41 [kN/m ²]	4,89 [kN/m ²]

Ścianki działowe

Obciążenie od ścianek uwzględniono w obliczeniach stropu.

Wieniec żelbetowy

Tabela 6.5. Ciężary wieńców żelbetowych

	Obliczenia
Wieniec na ścianach o grub. 18 cm	0,18·25,0·0,15 = 0,68 kN/m
Wieniec na ścianach o grub. 24 cm	0,24·25,0·0,15 = 0,90 kN/m

Obciążenie zmienne poziome ściany od działania wiatru wg PN-EN-1991-1-4

Założono I strefę obciążenia wiatrem oraz kategorię terenu IV (tereny, w których przynajmniej 15% pokryte budynkami o średniej wysokości przekraczającej 15 m). Budynek ma 21,5 m wysokości.

Współczynnik ekspozycji (wg tablicy NB.3 z PN-EN 1991-1-4)

Według punktu 6.3.1. z PN-EN 1991-1-4 wysokość budynku należy podzielić na dwie strefy wiatrowe ($b < h < 2b$). W obliczeniach rozpatrywane są ściany dolnych kondygnacji, dla których należy przyjąć współczynnik ekspozycji:

$$C_e = 1,47 \cdot \left(\frac{b}{10}\right)^{0,3} = 1,47 \cdot \left(\frac{14}{10}\right)^{0,3} = 1,63$$

z – wysokość nad poziomem gruntu,

b – szerokość budynku,

d – długość budynku.

Ciśnienie prędkości wiatru (tablica NB.3 z PN-EN 1991-1-4):

$$q_{b0} = 0,30 \frac{kN}{m^2}$$

Współczynnik ciśnienia zewnętrznego dotyczącego ściany:

h = 21,5 m – wysokość budynku

d = 14 m – szerokość budynku

Stąd h/d = 1,53

Według tablicy 7.1 z PN-EN 1996-1-4

$C_{pe} = +0,80$ – parcie wiatru

$C_{pe} = -0,53$ – ssanie wiatru

Ciśnienie szczytowe prędkości wiatru:

$$q_p(z) = q_{b0} \cdot C_e = 0,30 \frac{kN}{m^2} \cdot 1,63 = 0,49 \frac{kN}{m^2}$$

Parcie wiatru:

$$w_p = q_p \cdot c_{pe} = 0,49 \frac{kN}{m^2} \cdot 0,8 = 0,39 \frac{kN}{m^2}$$

Ssanie wiatru:

$$w_s = q_p \cdot c_{pe} = 0,49 \frac{kN}{m^2} \cdot (-0,53) = -0,26 \frac{kN}{m^2}$$

Współczynnik bezpieczeństwa dla obciążenia wiatrowego $\gamma_f = 1,5$.

Poziome obliczeniowe obciążenie parciem wiatru:

$$w_d = w_p \cdot \gamma_f = 0,39 \frac{kN}{m^2} \cdot 1,5 = 0,59 \frac{kN}{m^2}$$

Poziome obliczeniowe obciążenie ssaniem wiatru:

$$w_d = w_s \cdot \gamma_f = 0,26 \frac{kN}{m^2} \cdot 1,5 = 0,39 \frac{kN}{m^2}$$

6.2. Sprawdzenie nośności ściany zewnętrznej pełnej

Dane geometryczne

- grubość muru Silka E18 klasy 15 t = 18 cm
- szerokość ściany b = 1,0 m
- długość ściany między usztywnieniami pionowymi l = 5,0 m
- rozpiętość stropu l = 6,0 m
- grubość stropu d = 0,15 m
- wysokość kondygnacji w świetle h = 2,7 m
- liczba kondygnacji powyżej rozpatrywanej n = 6

Dane materiałowe

- wytrzymałość na ściskanie bloków $f_b = 15 \text{ N/mm}^2$
- charakterystyczna wytrzymałość muru $f_k = 5,5 \text{ N/mm}^2$
- doraźny moduł sprężystości muru E = 5 500 N/mm²
- doraźny moduł sprężystości stropu monolitycznego C20/25 $E_{cm} = 29 000 \text{ N/mm}^2$

Obciążenie pionowe pasma o szerokości 1,0 m:

Zestawienie obciążeń

Tabela 6.6. Zebranie obciążeń zmiennych działających na ścianę zewnętrzną pełną

	ilość	g_k, q_k [kN/m ²]	L lub h [m]	G_k [kN/m]	Q_k [kN/m]
stropodach					
stałe	1	6,93	6,0 / 2	20,79	
zmiennie użytkowe		1,00	6,0 / 2		3,00
zmiennie śniegowe		0,72	6,0 / 2		2,16
strop monolityczny 15 cm					
stałe	6	5,23	6,0 / 2	94,14	
zmiennie		2,80	6,0 / 2		50,40
wieniec					
stałe	7	0,68	1,0	4,76	
ciężar ścian					
stałe	7	2,97	2,7	56,13	
			Suma:	175,82 kN	55,56 kN

Obciążenie od wiatru:

- 0,59 kN/m (parcie)
- 0,39 kN/m (ssanie)

Kombinacje obciążeń

$$N_{Ed} = \max \left\{ \begin{array}{l} \sum_{j \geq 1} \gamma_{G,j} \cdot N_{Gk,u} + \gamma_{Q,1} \cdot \psi_{0,1} \cdot N_{Qk,u,1} + \sum_{i > 1} \gamma_{Q,i} \cdot \psi_{0,i} \cdot N_{Qk,u,i} \\ \sum_{j \geq 1} \xi_j \cdot \gamma_{G,j} \cdot N_{Gk,u} + \gamma_{Q,1} \cdot N_{Qk,u,1} + \sum_{i > 1} \gamma_{Q,i} \cdot \psi_{0,i} \cdot N_{Qk,u,i} \end{array} \right\}$$

Siła w przekroju pod stropem:

$$N_{1,Ed} = \max \left\{ \begin{array}{l} 1,35 \cdot (175,82 - 2,7 \cdot 2,97) + 1,5 \cdot 0,7 \cdot 50,40 + 1,5 \cdot 0 \cdot 3,00 + 1,5 \cdot 0,5 \cdot 2,16 \\ 0,85 \cdot 1,35 \cdot (175,82 - 2,7 \cdot 2,97) + 1,5 \cdot 55,56 \end{array} \right\}$$

$$N_{1,Ed} = \max \left\{ \begin{array}{l} 281,07 \\ 276,31 \end{array} \right\} = 281,07 \text{ kN}$$

Siła w przekroju środkowym:

$$N_{m,Ed} = \max \left\{ \begin{array}{l} 1,35 \cdot (175,82 - 0,5 \cdot 2,7 \cdot 2,97) + 1,5 \cdot 0,7 \cdot 50,40 + 1,5 \cdot 0 \cdot 3,00 + 1,5 \cdot 0,5 \cdot 2,16 \\ 0,85 \cdot 1,35 \cdot (175,82 - 0,5 \cdot 2,7 \cdot 2,97) + 1,5 \cdot 55,56 \end{array} \right\}$$

$$N_{m,Ed} = \max \left\{ \begin{array}{l} 286,48 \\ 280,92 \end{array} \right\} = 286,48 \text{ kN}$$

Siła w przekroju nad stropem:

$$N_{2,Ed} = \max \left\{ \begin{array}{l} 1,35 \cdot 175,82 + 1,5 \cdot 0,7 \cdot 50,40 + 1,5 \cdot 0 \cdot 3,00 + 1,5 \cdot 0,5 \cdot 2,16 \\ 0,85 \cdot 1,35 \cdot 175,82 + 1,5 \cdot 55,56 \end{array} \right\}$$

$$N_{2,Ed} = \max \left\{ \begin{array}{l} 291,90 \\ 285,53 \end{array} \right\} = 291,90 \text{ kN}$$

Współczynniki, które dają bardziej niekorzystny efekt oddziaływań:

- obciążenie stałe: $\gamma_G = 1,35$,
- obciążenie zmiennie użytkowe: $\gamma_{Q,i} \cdot \psi_{0,i} = 1,05$,
- obciążenie zmiennie dachu: $\gamma_{Q,i} \cdot \psi_{0,i} = 0$,
- obciążenie zmiennie śniegowe: $\gamma_{Q,i} \cdot \psi_{0,i} = 0,75$.

Sztywność ściany zewnętrznej:

$$I_1 = I_2 = \frac{b \cdot t^3}{12} = \frac{100 \cdot 18^3}{12} = 48600 \text{ cm}^4$$

$$E \cdot I_1 = 550 \text{ kN/cm}^2 \cdot 48600 \text{ cm}^4 = 2,67 \text{ MNm}^2$$

Sztywność stropu:

$$I_4 = \frac{b \cdot h^3}{12} = \frac{100 \cdot 15^3}{12} = 28125 \text{ cm}^4$$

$$E \cdot I_1 = 2900 \text{ kN/cm}^2 \cdot 28125 \text{ cm}^4 = 8,16 \text{ MNm}^2$$

Mimośród niezamierzony:

$$h_{ef} = \rho_2 \cdot h = 0,75 \cdot 2,7 = 2,03 \text{ m}$$

$$e_{init} = \frac{h_{ef}}{450} = \frac{2,03}{450} = 0,45 \text{ cm}$$

Obliczeniowy moment zginający M_1 :

$n_1 = n_2 = n_4 = 4$ – wszystkie pręty obustronne utwierdzone

$M_1 = M_2$, ponieważ obciążenia sąsiednich stropów i sztywności ścian są takie same.

$$M_1 = M_2 = \frac{\frac{n_1 E_1 I_1}{h_1}}{\frac{n_1 E_1 I_1}{h_1} + \frac{n_2 E_2 I_2}{h_2} + \frac{n_4 E_4 I_4}{l_4}} \left[\frac{w_4 l_4^2}{4(n_4 - 1)} \right] =$$

$$\frac{4 \cdot 2,67}{2,70} + \frac{4 \cdot 2,67}{2,70} + \frac{4 \cdot 8,16}{6,00} \left[\frac{(1,35 \cdot 5,23 + 1,05 \cdot 2,8) \cdot 6,0^2}{4(4-1)} \right] = 8,89 \text{ kNm}$$

Sprawdzenie nośności ściany w przekroju pod stropem (1-1)

Mimośród spowodowany siłą ssania wiatru:

$$M_{ws,1} = \frac{w_s \cdot h^2}{16} = \frac{0,39 \cdot (2,70 + 0,15)^2}{16} = 0,20 \text{ kNm}$$

$$e_{he,1} = \frac{M_{wd}}{N_{2,d}} = \frac{0,20}{281,07} = 0,07 \text{ cm}$$

Współczynnik redukcyjny:

$$e_1 = \frac{M_1}{N_1} + e_{init} + e_{he,1} = \frac{8,89 \cdot 100}{281,07} + 0,45 + 0,07 = 3,68 \text{ cm}$$

$$e_1 > 0,05t = 0,9 \text{ cm} \quad \text{oraz} \quad \frac{M_1}{N_1} = 3,16 \text{ cm} < 0,45t = 8,1 \text{ cm}$$

$$\Phi_1 = 1 - 2 \frac{e_1}{t} = 1 - 2 \frac{3,68}{18} = 0,59$$

Nośność ściany w przekroju pod stropem:

$$N_{1,Ed} \leq N_{1,Rd}$$

$$N_{1,Rd} = \Phi_1 t f_d = 0,59 \cdot 18 \text{ cm} \cdot 0,323 \text{ kN/cm}^2 = 343,03 \text{ kN}$$

$$281,07 \text{ kN} \leq 343,03 \text{ kN}$$

Ściana zapewnia wymaganą nośność.

Sprawdzenie nośności ściany w przekroju nad stropem (2-2)

Mimośród spowodowany siłą parcia wiatru:

$$M_{wd,2} = \frac{w_d \cdot h^2}{16} = \frac{0,59 \cdot (2,70 + 0,15)^2}{16} = 0,30 \text{ kNm}$$

$$e_{he,2} = \frac{M_{wd}}{N_{1d}} = \frac{0,30}{291,90} = 0,10 \text{ cm}$$

Współczynnik redukcyjny:

$$e_2 = \frac{M_2}{N_2} + e_{init} + e_{he,2} = \frac{8,89 \cdot 100}{291,90} + 0,45 + 0,10 = 3,60 \text{ cm}$$

$$e_2 > 0,05t = 0,9 \text{ cm} \quad \text{oraz} \quad \frac{M_2}{N_2} = 3,05 \text{ cm} < 0,45t = 8,1 \text{ cm}$$

$$\Phi_2 = 1 - 2 \frac{e_2}{t} = 1 - 2 \frac{3,60}{18} = 0,60$$

Nośność ściany w przekroju nad stropem:

$$N_{2,Ed} \leq N_{2,Rd}$$

$$N_{2,Rd} = \Phi_2 \cdot t \cdot f_d = 0,60 \cdot 18 \text{ cm} \cdot 0,323 \text{ kN/cm}^2 = 348,84 \text{ kN}$$

$$291,90 \text{ kN} \leq 348,84 \text{ kN}$$

Ściana zapewnia wymaganą nośność.

Sprawdzenie nośności ściany w przekroju środkowym

Mimośród spowodowany siłą parcia wiatru:

$$e_{he,m} = \frac{M_{wd}}{N_{1d}} = \frac{0,30}{286,49} = 0,10 \text{ cm}$$

$M_m = 0$, ponieważ momenty M_1 i M_2 mają taką samą wartość.

$$h_{ef} = \rho_2 \cdot h = 0,75 \cdot 2,7 = 2,03 \text{ m}$$

$$t_{ef} = \rho_t \cdot h = 1,0 \cdot 0,18 = 0,18 \text{ cm}$$

Warunek smukłości ściany:

$$\frac{h_{ef}}{t_{ef}} = \frac{2,03}{0,18} = 11,28 < 27$$

Mimośród działania obciążenia:

$$e_m = \frac{M_2 - M_1}{N_m} + e_{init} + e_{he} = 0 + 0,45 + 0,10 = 0,55 \text{ cm}$$

Mimośród wskutek pełzania:

$\Phi_\infty = 1,0$ - końcowy współczynnik pełzania

$$e_k = 0,002 \cdot \Phi_\infty \cdot \frac{h_{ef}}{t_{ef}} \cdot \sqrt{t \cdot e_m} = 0,002 \cdot 1,0 \cdot \frac{2,03}{0,18} \cdot \sqrt{18 \cdot 0,55} = 0,07 \text{ cm}$$

$$e_{mk} = e_k + e_m = 0,07 + 0,55 = 0,62 \text{ cm} < 0,05t = 0,05 \cdot 18 = 0,9 \text{ cm}$$

$$\frac{M_m}{N_m} = 0 < 0,45t = 8,1 \text{ cm}$$

Przyjęto $e_{mk} = 0,9 \text{ cm}$

Współczynnik redukcyjny:

$$A_1 = 1 - 2 \frac{e_{mk}}{t} = 1 - 2 \frac{0,9}{18} = 0,9$$

$$u = \frac{\frac{h_{ef}}{t_{ef}} - 2}{23 - 27 \cdot \frac{e_{mk}}{t}} = \frac{\frac{2,03}{0,18} - 2}{23 - 27 \cdot \frac{0,9}{18}} = 0,43$$

$$\Phi_m = A_1 \cdot e^{-\frac{u^2}{2}} = 0,9 \cdot e^{-\frac{0,43^2}{2}} = 0,82$$

Nośność ściany w przekroju środkowym:

$$N_{m,Rd} = \Phi_m \cdot t \cdot f_d = 0,82 \cdot 18 \text{ cm} \cdot 0,323 \text{ kN/cm}^2 \cdot 100 = 476,75 \text{ kN}$$

$$N_{m,Ed} \leq N_{m,Rd}$$

$$286,48 \leq 476,75 \text{ kN}$$

Ściana zapewnia wymaganą nośność.

6.3. Sprawdzenie nośności filara międzyokiennego

Dane geometryczne

- grubość muru Siłka E18S klasy 20 t = 18 cm
- szerokość oddziaływania b = 2,4 m
- szerokość filara b = 1,5 m
- szerokość okna x = 0,9 m
- wysokość okna y = 1,5 m
- rozpiętość stropu l = 6 m
- wysokość kondygnacji w świetle h = 2,7 m
- liczba kondygnacji powyżej rozpatrywanej n = 6

Dane materiałowe

- wytrzymałość na ściskanie bloków $f_b = 20 \text{ N/mm}^2$
- charakterystyczna wytrzymałość muru $f_k = 7,02 \text{ N/mm}^2$
- doraźny moduł sprężystości muru $E = 7\,020 \text{ N/mm}^2$
- doraźny moduł sprężystości stropu monolitycznego C20/25 $E_{cm} = 29\,000 \text{ N/mm}^2$

Zestawienie obciążeń

Obliczenie pionowe pasma o szerokości 2,4 m:

Tabela 6.7. Zabranie obciążeń działających na filar międzyokienny

	ilość	g_k, q_k [kN/m ²]	Pole [m ²]	G_d [kN]	Q_d [kN]
stropodach					
state	1	6,93	2,4 · 6,0 / 2	49,90	
zmiennie użytkowe		1,00	2,4 · 6,0 / 2		7,20
zmiennie śniegowe		0,72	2,4 · 6,0 / 2		5,18
strop monolityczny 15 cm					
state	6	5,23	2,4 · 6,0 / 2	225,94	
zmiennie		2,80	2,4 · 6,0 / 2		120,96
wieniec					
state	7	0,68	2,4 · 1,0	11,42	
ciężar ścian					
state	7	3,69	2,4 · 2,7 - 1,5 · 0,9	56,13	
			Suma:	419,77 kN	133,34 kN

Obciążenie od wiatru:

- 0,59 kN/m (parcie)
- 0,39 kN/m (ssanie)

Kombinacje obciążeń

$$N_{Ed} = \max \left\{ \begin{aligned} & \sum_{j \geq 1} \gamma_{G,j} \cdot N_{Gk,u} + \gamma_{Q,1} \cdot \Psi_{0,1} \cdot N_{Qk,u,1} + \sum_{i \geq 2} \gamma_{Q,i} \cdot \Psi_{0,i} \cdot N_{Qk,u,i} \\ & \sum_{j \geq 1} \xi \cdot \gamma_{G,j} \cdot N_{Gk,u} + \gamma_{Q,1} \cdot N_{Qk,u,1} + \sum_{i \geq 2} \gamma_{Q,i} \cdot \Psi_{0,i} \cdot N_{Qk,u,i} \end{aligned} \right\}$$

Siła w przekroju pod stropem:

$$N_{1,Ed} = \max \left\{ \begin{array}{l} 1,35 \cdot (419,77 - 3,69 \cdot (2,7 \cdot 2,4 - 1,5 \cdot 0,9)) + 1,5 \cdot 0,7 \cdot 120,96 + 1,5 \cdot 0 \cdot 7,20 + 1,5 \cdot 0,5 \cdot 5,18 \\ 0,85 \cdot 1,35 \cdot (419,77 - 3,69 \cdot (2,7 \cdot 2,4 - 1,5 \cdot 0,9)) + 1,5 \cdot 133,34 \end{array} \right\}$$

$$N_{1,Ed} = \max \left\{ \begin{array}{l} 672,03 \\ 660,98 \end{array} \right\} = 672,03 \text{ kN}$$

Siła w przekroju środkowym:

$$N_{m,Ed} = \max \left\{ \begin{array}{l} 1,35 \cdot (419,77 - 0,5 \cdot 3,69 \cdot (2,7 \cdot 2,4 - 1,5 \cdot 0,9)) + 1,5 \cdot 0,7 \cdot 120,96 + 1,5 \cdot 0 \cdot 7,20 + 1,5 \cdot 0,5 \cdot 5,18 \\ 0,85 \cdot 1,35 \cdot (419,77 - 0,5 \cdot 3,69 \cdot (2,7 \cdot 2,4 - 1,5 \cdot 0,9)) + 1,5 \cdot 133,34 \end{array} \right\}$$

$$N_{m,Ed} = \max \left\{ \begin{array}{l} 684,80 \\ 671,86 \end{array} \right\} = 684,80 \text{ kN}$$

Siła w przekroju nad stropem:

$$N_{2,Ed} = \max \left\{ \begin{array}{l} 1,35 \cdot 419,77 + 1,5 \cdot 0,7 \cdot 120,96 + 1,5 \cdot 0 \cdot 7,20 + 1,5 \cdot 0,5 \cdot 5,18 \\ 0,85 \cdot 1,35 \cdot 419,77 + 1,5 \cdot 133,34 \end{array} \right\}$$

$$N_{2,Ed} = \max \left\{ \begin{array}{l} 697,58 \\ 682,75 \end{array} \right\} = 697,58 \text{ kN}$$

Współczynniki, które dają bardziej niekorzystny efekt oddziaływać:

- obciążenie stałe: $\gamma_G = 1,35$,
- obciążenie zmienne użytkowe: $\gamma_{Q,i} \cdot \psi_{0,i} = 1,05$,
- obciążenie zmienne dachu: $\gamma_{Q,i} \cdot \psi_{0,i} = 0$,
- obciążenie zmienne śniegowe: $\gamma_{Q,i} \cdot \psi_{0,i} = 0,75$.

Sztywność ściany zewnętrznej:

$$I_1 = I_2 = \frac{b \cdot t^3}{12} = \frac{150 \cdot 18^3}{12} = 72900 \text{ cm}^4$$

$$E \cdot I_1 = 702 \text{ kN/cm}^2 \cdot 72900 \text{ cm}^4 = 5,12 \text{ MNm}^2$$

Sztywność stropu:

$$I_4 = \frac{b \cdot h^3}{12} = \frac{240 \cdot 15^3}{12} = 67500 \text{ cm}^4$$

$$E \cdot I_1 = 2900 \text{ kN/cm}^2 \cdot 67500 \text{ cm}^4 = 19,58 \text{ MNm}^2$$

Składowe momentu działającego na lewą i prawą stronę stropu

$n_1 = n_2 = n_4 = 4$ - wszystkie pręty obustronne utwierdzone

$M_1 = M_2$, ponieważ obciążenia sąsiednich stropów i sztywności ścian są takie same.

Obliczeniowy moment zginający M_1 :

$$M_1 = M_2 = \frac{\frac{n_1 E_1 I_1}{h_1}}{\frac{n_1 E_1 I_1}{h_1} + \frac{n_2 E_2 I_2}{h_2} + \frac{n_4 E_4 I_4}{l_4}} \left[\frac{w_d l_4^2}{4(n_4 - 1)} \right] =$$

$$\frac{\frac{4 \cdot 5,12}{2,70}}{\frac{4 \cdot 5,12}{2,70} + \frac{4 \cdot 5,12}{2,70} + \frac{4 \cdot 19,58}{6,00}} \left[\frac{(1,35 \cdot 5,23 + 1,50 \cdot 0,7 \cdot 2,8) \cdot 2,4 \cdot 6,0^2}{4(4 - 1)} \right] = 19,36 \text{ kNm}$$

Współczynnik redukcyjny momentu:

$$k_m = \frac{\frac{n_3 \frac{E_3 I_3}{l_3} + n_4 \frac{E_4 I_4}{l_4}}{n_1 \frac{E_1 I_1}{h_1} + n_2 \frac{E_2 I_2}{h_2}}}{\frac{4 \cdot 19,58}{6,00}} = \frac{\frac{6,00}{2,7} + \frac{4 \cdot 5,12}{6,00}}{\frac{4 \cdot 5,12}{2,7} + \frac{4 \cdot 5,12}{6,00}} = 0,86 \leq 2$$

$$\eta_m = 1 - k_m / 4 = 1 - 0,86 / 4 = 0,79$$

$$M_1' = M_2' = \eta \cdot M_1 = 0,79 \cdot 19,36 = 15,29 \text{ kNm}$$

Mimośród niezamierzony:

$$h_{ef} = \rho_2 \cdot h = 0,75 \cdot 2,7 = 2,03 \text{ m}$$

$$e_{init} = \frac{h_{ef}}{450} = \frac{2,03}{450} = 0,45 \text{ cm}$$

Sprawdzenie nośności filara w przekroju pod stropem (1-1)

Mimośród spowodowany siłą ssania wiatru:

$$M_{wd} = \frac{w_d \cdot h^2}{16} = \frac{0,39 \cdot 2,4 \cdot (2,70 + 0,15)^2}{16} = 0,48 \text{ kNm}$$

$$e_{he} = \frac{M_{wd}}{N_{1,d}} = \frac{0,48 \cdot 100}{672,03} = 0,07 \text{ cm}$$

Współczynnik redukcyjny dla dolnej krawędzi ściany:

$$e_1 = \frac{M_1}{N_1} + e_{init} + e_{he} = \frac{15,29 \cdot 100}{672,03} + 0,45 + 0,07 = 2,80 \text{ cm}$$

$$\Phi_1 = 1 - 2 \frac{e_1}{t} = 1 - 2 \cdot \frac{2,80}{18} = 0,69$$

Nośność filara w przekroju pod stropem:

$$N_{1,Rd} = \Phi t f_d = 0,69 \cdot 18 \text{ cm} \cdot 0,413 \text{ kN/cm}^2 \cdot 150 = 769,42 \text{ kN}$$

Ponieważ pole przekroju filara $< 0,3 \text{ m}^2$, należy uwzględnić współczynnik redukcyjny.

$$N_{2,Ed} \leq N_{2,Rd} / \eta_A$$

$$672,03 \text{ kN} \leq 769,42 / 1,075 = 715,74 \text{ kN}$$

Ściana zapewnia wymaganą nośność.

Sprawdzenie nośności filara w przekroju nad stropem (2-2)

Mimośród spowodowany siłą parcia wiatru:

$$M_{wd} = \frac{w_d \cdot h^2}{16} = \frac{0,59 \cdot 2,4 \cdot (2,70 + 0,15)^2}{16} = 0,72 \text{ kNm}$$

$$e_{he} = \frac{M_{wd}}{N_{1,d}} = \frac{0,72}{697,58} = 0,10 \text{ cm}$$

Współczynnik redukcyjny:

$$e_2 = \frac{M_2}{N_2} + e_{init} + e_{he} = \frac{15,29 \cdot 100}{697,58} + 0,45 + 0,10 = 2,74 \text{ cm}$$

$$\Phi_2 = 1 - 2 \frac{e_2}{t} = 1 - 2 \cdot \frac{2,74}{18} = 0,70$$

Nośność filara w przekroju nad stropem:

$$N_{2,Rd} = \Phi t f_d = 0,70 \cdot 18 \text{ cm} \cdot 0,413 \text{ kN/cm}^2 \cdot 150 = 780,57 \text{ kN}$$

Ponieważ pole przekroju filara $< 0,3 \text{ m}^2$, należy uwzględnić współczynnik redukcyjny.

$$A = 0,18 \cdot 1,5 = 0,27 \text{ m}^2$$

$$\eta_A = 1,075 \text{ - otrzymany poprzez interpolację}$$

$$N_{1,Ed} \leq N_{1,Rd} / \eta_A$$

$$697,58 \text{ kN} \leq 780,57 / 1,075 = 726,11 \text{ kN}$$

Ściana zapewnia wymaganą nośność.

Sprawdzenie nośności filara w przekroju środkowym

$$M_2 - M_1 = 0$$

$$h_{ef} = \rho_2 \cdot h = 0,75 \cdot 2,7 = 2,03 \text{ m}$$

$$t_{ef} = \rho_t \cdot h = 1,0 \cdot 0,18 = 0,18 \text{ cm}$$

Warunek smukłości ściany:

$$h_{ef} / t_{ef} = 2,03 / 0,18 = 11,28 < 27$$

Mimośród działania obciążenia:

$$e_m = \frac{M_m}{N_m} + e_{init} + e_{he} = 0 + 0,45 + 0,10 = 0,55 \text{ cm}$$

Mimośród wskutek pełzania:

$\Phi_{\infty} = 1,0$ - końcowy współczynnik pełzania

$$e_k = 0,002 \cdot \Phi_{\infty} \cdot \frac{h_{ef}}{t_{ef}} \cdot \sqrt{t \cdot e_m} = 0,002 \cdot 1,0 \cdot 11,28 \cdot \sqrt{18 \cdot 0,55} = 0,07 \text{ cm}$$

$$e_{mk} = e_k + e_m = 0,07 + 0,55 = 0,62 \text{ cm} < 0,05t = 0,05 \cdot 18 = 0,9 \text{ cm}$$

Przyjęto $e_{mk} = 0,9$ cm

Współczynnik redukcyjny:

$$A_1 = 1 - 2 \frac{e_{mk}}{t} = 1 - 2 \frac{0,9}{18} = 0,9$$

$$u = \frac{\frac{h_{ef}}{t_{ef}} - 2}{23 - 27 \cdot \frac{e_{mk}}{t}} = \frac{\frac{203}{18} - 2}{23 - 27 \cdot \frac{0,9}{18}} = 0,43$$

$$\Phi_m = A_1 \cdot e^{-\frac{u^2}{2}} = 0,9 \cdot e^{-\frac{0,43^2}{2}} = 0,82$$

Nośność filara w przekroju środkowym:

$$N_{m,Rd} = \Phi_m \cdot t \cdot f_d = 0,82 \cdot 18 \text{ cm} \cdot 0,413 \frac{\text{kN}}{\text{cm}^2} \cdot 150 = 914,38 \text{ kN}$$

$$N_{m,Ed} \leq N_{m,Rd} / \eta_A, \text{ ponieważ pole filara jest mniejsze niż } 0,3 \text{ m}^2.$$

$$648,80 \text{ kN} \leq 914,38 / 1,075 \text{ kN} = 850,59 \text{ kN}$$

Ściana zapewnia wymaganą nośność.

6.4. Sprawdzenie nośności ściany wewnętrznej pełnej

Dane geometryczne

- grubość muru Silka E24 klasy 15
- szerokość ściany
- długość ściany między usztywnieniami pionowymi
- rozpiętość stropu
- grubość stropu
- wysokość kondygnacji w świetle
- liczba kondygnacji powyżej rozpatrywanej

$t = 24$ cm
 $b = 1,0$ m
 $l = 5,0$ m
 $d = 0,15$ m
 $h = 2,7$ m
 $n = 6$

Dane materiałowe

- wytrzymałość na ściskanie bloków
- charakterystyczna wytrzymałość muru
- doraźny moduł sprężystości muru

$f_b = 15$ N/mm²
 $f_k = 5,50$ N/mm²
 $E = 5\,500$ N/mm²

Tabela 6.8. Zebranie obciążeń działających na ścianę wewnętrzną pełną

	ilość	g_k, q_k [kN/m ²]	L lub h [m]	G_k [kN/m]	Q_k [kN/m]
stropodach					
stałe	1	6,93	6,0	41,58	
zmiennie użytkowe		1,00	6,0		6,00
zmiennie śniegowe		0,72	6,00		4,32
strop monolityczny 15 cm					
stałe	6	5,23	6,0	188,28	
zmiennie		2,80	6,0		100,8
wieniec					
stałe	7	0,90	1,0	6,30	
ciężar ścian					
stałe	7	4,41	2,7	83,35	
Suma:				319,51 kN	111,12 kN

Kombinacje obciążeń

$$N_{Ed} = \max \left\{ \sum_{j \geq 1} \gamma_{G,j} \cdot N_{Gk,u} + \gamma_{Q,1} \cdot \psi_{0,1} \cdot N_{Qk,u,1} + \sum_{j > 1} \gamma_{Q,j} \cdot \psi_{0,j} \cdot N_{Qk,u,j} \right. \\ \left. \sum_{j \geq 1} \xi_j \cdot \gamma_{G,j} \cdot N_{Gk,u} + \gamma_{Q,1} \cdot N_{Qk,u,1} + \sum_{j > 1} \gamma_{Q,j} \cdot \psi_{0,j} \cdot N_{Qk,u,j} \right\}$$

Siła w przekroju pod stropem:

$$N_{1,Ed} = \max \left\{ 1,35 \cdot (319,51 - 4,41 \cdot 2,7) + 1,5 \cdot 0,7 \cdot 100,80 + 1,5 \cdot 0 \cdot 6,00 + 1,5 \cdot 0,5 \cdot 4,32 \right. \\ \left. 0,85 \cdot 1,35 \cdot (319,51 - 4,41 \cdot 2,7) + 1,5 \cdot 111,12 \right\}$$

$$N_{1,Ed} = \max \left\{ 524,34 \right. \\ \left. 520,42 \right\} = 524,34 \text{ kN}$$

Siła w przekroju środkowym:

$$N_{m,Ed} = \max \left\{ 1,35 \cdot (319,51 - 0,5 \cdot 4,41 \cdot 2,7) + 1,5 \cdot 0,7 \cdot 100,80 + 1,5 \cdot 0 \cdot 6,00 + 1,5 \cdot 0,5 \cdot 4,32 \right. \\ \left. 0,85 \cdot 1,35 \cdot (319,51 - 0,5 \cdot 4,41 \cdot 2,7) + 1,5 \cdot 111,12 \right\}$$

$$N_{m,Ed} = \max \left\{ 532,38 \right. \\ \left. 527,27 \right\} = 532,38 \text{ kN}$$

Siła w przekroju nad stropem:

$$N_{2,Ed} = \max \left\{ 1,35 \cdot 319,51 + 1,5 \cdot 0,7 \cdot 100,80 + 1,5 \cdot 0 \cdot 6,00 + 1,5 \cdot 0,5 \cdot 4,32 \right. \\ \left. 0,85 \cdot 1,35 \cdot 319,51 + 1,5 \cdot 111,12 \right\}$$

$$N_{2,Ed} = \max \left\{ 540,42 \right. \\ \left. 534,12 \right\} = 540,42 \text{ kN}$$

Współczynniki, które dają bardziej niekorzystny efekt oddziaływań:

- obciążenie stałe: $\gamma_G = 1,35$,
- obciążenie zmiennie użytkowe: $\gamma_{Q,i} \cdot \psi_{0,i} = 1,05$,
- obciążenie zmiennie dachu: $\gamma_{Q,i} \cdot \psi_{0,i} = 0$,
- obciążenie zmiennie śniegowe: $\gamma_{Q,i} \cdot \psi_{0,i} = 0,75$.

Sztywność ściany wewnętrznej:

$$I_1 = I_2 = \frac{b \cdot t^3}{12} = \frac{100 \cdot 24^3}{12} = 115\,200 \text{ cm}^4$$

$$E \cdot I_1 = 702 \frac{\text{kN}}{\text{cm}^2} \cdot 115\,200 \text{ cm}^4 = 6,34 \text{ MNm}^2$$

Sztywność stropu:

$$I_4 = \frac{b \cdot h^3}{12} = \frac{100 \cdot 15^3}{12} = 28125 \text{ cm}^4$$

$$E \cdot I_1 = 29000 \frac{\text{kN}}{\text{cm}^2} \cdot 28125 \text{ cm}^4 = 8,15 \text{ MNm}^2$$

Składowe momentu działającego na lewą i prawą stronę stropu:

$n_1 = n_2 = n_4 = 4$ – wszystkie pręty obustronne utwierdzone

$M_1 = M_2$, ponieważ obciążenia sąsiednich stropów i sztywności ścian są takie same.

Obliczeniowy moment zginający M_1

$$M_1 = M_2 = \frac{\frac{n_1 E_1 I_1}{h_1}}{\frac{n_1 E_1 I_1}{h_1} + \frac{n_2 E_2 I_2}{h_2} + \frac{n_4 E_4 I_4}{L_4}} \left[\frac{w_3 l_3^2}{4(n_3 - 1)} - \frac{w_4 l_4^2}{4(n_4 - 1)} \right] = 0, \text{ ponieważ obciążenie}$$

jest symetryczne i $\left[\frac{w_3 l_3^2}{4(n_3 - 1)} - \frac{w_4 l_4^2}{4(n_4 - 1)} \right] = 0$

Mimośród niezamierzony:

$$h_{ef} = \rho_2 \cdot h = 0,75 \cdot 2,7 = 2,03 \text{ m}$$

$$e_{init} = \frac{h_{ef}}{450} = \frac{2,03}{450} = 0,45 \text{ cm}$$

Sprawdzenie nośności ściany w przekroju pod stropem (1-1) i nad stropem (2-2)

Współczynnik redukcyjny:

$$e_2 = e_1 = \frac{M_1}{N_1} + e_{init} = 0 + 0,45 = 0,45 \text{ cm}$$

$$\Phi_2 = \Phi_1 = 1 - 2 \frac{e_1}{t} = 1 - 2 \cdot \frac{0,45}{24} = 0,96$$

Nośność ściany w przekroju pod stropem:

$$N_{1,Rd} = N_{1,Rd} = \Phi_1 \cdot t \cdot f_d = 0,96 \cdot 24 \text{ cm} \cdot 0,323 \frac{\text{kN}}{\text{cm}^2} \cdot 100 \text{ cm} = 744,19 \text{ kN}$$

$$524,34 \text{ kN} \leq 744,19 \text{ kN}$$

Ściana zapewnia wymaganą nośność.

Nośność ściany w przekroju nad stropem:

$$N_{2,Rd} \leq N_{2,Rd}$$

$$540,42 \text{ kN} \leq 744,19 \text{ kN}$$

Ściana zapewnia wymaganą nośność.

Sprawdzenie nośności ściany w przekroju środkowym

$$M_2 - M_1 = 0$$

$$h_{ef} = \rho_2 \cdot h = 0,75 \cdot 2,7 = 2,03 \text{ m}$$

$$t_{ef} = \rho_1 \cdot h = 1,0 \cdot 0,24 = 0,24 \text{ cm}$$

Warunek smukłości ściany:

$$\frac{h_{ef}}{t_{ef}} = \frac{2,03}{0,24} = 8,46 < 27$$

Mimośród działania obciążenia:

$$e_m = \frac{M_2 - M_1}{N_m} + e_{init} = 0 + 0,45 = 0,45 \text{ cm}$$

Mimośród wskutek pełzania:

$$\Phi_\infty = 1,0 - \text{końcowy współczynnik pełzania}$$

$$e_k = 0,002 \cdot \Phi_\infty \cdot \frac{h_{ef}}{t_{ef}} \cdot \sqrt{t \cdot e_m} = 0,002 \cdot 1,0 \cdot 8,46 \cdot \sqrt{24 \cdot 0,45} = 0,06 \text{ cm}$$

$$e_{mk} = e_k + e_m = 0,06 + 0,45 = 0,51 \text{ cm} < 0,05t = 0,05 \cdot 24 = 1,2 \text{ cm}$$

Przyjęto:

$$e_{mk} = 0,9 \text{ cm}$$

Współczynnik redukcyjny:

$$A_1 = 1 - 2 \frac{e_{mk}}{t} = 1 - 2 \cdot \frac{0,9}{24} = 0,9$$

$$u = \frac{\frac{h_{ef}}{t_{ef}} - 2}{23 - 27 \cdot \frac{e_{mk}}{t}} = \frac{\frac{203}{24} - 2}{23 - 27 \cdot \frac{0,9}{24}} = 0,43$$

$$\Phi_m = A_1 \cdot e^{-\frac{u^2}{2}} = 0,9 \cdot e^{-\frac{0,30^2}{2}} = 0,86$$

Nośność ściany w przekroju środkowym:

$$N_{m,Rd} = \Phi_m \cdot t \cdot f_d = 0,86 \cdot 24 \text{ cm} \cdot 0,323 \frac{\text{kN}}{\text{cm}^2} \cdot 100 = 666,98 \text{ kN}$$

$$N_{m,Ed} \leq N_{m,Rd}$$

$$532,34 \text{ kN} \leq 666,98 \text{ kN}$$

Ściana zapewnia wymaganą nośność.

6.5. Sprawdzenie nośności filara międzydrzwiowego w ścianie wewnętrznej

Dane geometryczne

- grubość muru Silka E24S klasy 20 t = 24 cm
- szerokość ściany b = 1,0 m
- długość ściany między usztywnieniami pionowymi 5,0 m
- rozpiętość stropu l = 6,0 m
- grubość stropu d = 0,15 m
- wysokość kondygnacji w świetle h = 2,7 m
- liczba kondygnacji powyżej rozpatrywanej n = 6

Dane materiałowe

- wytrzymałość na ściskanie bloków $f_b = 20 \text{ N/mm}^2$
- charakterystyczna wytrzymałość muru $f_k = 7,02 \text{ N/mm}^2$
- doraźny moduł sprężystości muru $E = 7\,020 \text{ N/mm}^2$

Tabela 6.9. Obciążenia działające na filar międzydrzwiowy

	ilość	g_k, q_k [kN/m ²]	L lub h [m]	G_d [kN/m]	Q_d [kN/m]
stropodach					
stałe	1	6,93	6,0 · 2,4	99,79	
zmiennie użytkowe		1,00	6,0 · 2,4		14,40
zmiennie śniegowe		0,72	6,0 · 2,4		10,37
strop monolityczny 15 cm					
stałe	6	5,23	6,0 · 2,4	451,87	
zmiennie		2,80	6,0 · 2,4		241,92
wieniec					
stałe	7	0,90	1,0 · 2,4	15,12	
ciężar ścian					
stałe	7	4,89	2,7 · 2,4 - 0,9 · 2,2	154,04	
			Suma:	720,82 kN	266,69 kN

Kombinacje obciążeń

$$N_{Ed} = \max \left\{ \begin{array}{l} \sum_{j=1}^n \gamma_{G,j} \cdot N_{Gk,u} + \gamma_{Q,1} \cdot \psi_{0,1} \cdot N_{Qk,u,1} + \sum_{i=2}^n \gamma_{Q,i} \cdot \psi_{0,i} \cdot N_{Qk,u,i} \\ \sum_{j=1}^n \xi \cdot \gamma_{G,j} \cdot N_{Gk,u} + \gamma_{Q,1} \cdot N_{Qk,u,1} + \sum_{i=2}^n \gamma_{Q,i} \cdot \psi_{0,i} \cdot N_{Qk,u,i} \end{array} \right\}$$

Siła w przekroju pod stropem:

$$N_{1,Ed} = \max \left\{ \begin{array}{l} 1,35 \cdot (720,82 - 4,89 \cdot (2,7 \cdot 2,4 - 0,9 \cdot 2,2)) + 1,5 \cdot 0,7 \cdot 241,92 + 1,5 \cdot 0 \cdot 14,40 + 1,5 \cdot 0,5 \cdot 10,37 \\ 0,85 \cdot 1,35 \cdot (720,82 - (2,7 \cdot 2,4 - 0,9 \cdot 2,2)) + 1,5 \cdot 266,69 \end{array} \right\}$$

$$N_{1,Ed} = \max \left\{ \begin{array}{l} 1205,19 \\ 1203,67 \end{array} \right\} = 1205,19 \text{ kN}$$

Siła w przekroju środkowym:

$$N_{m,Ed} = \max \left\{ \begin{array}{l} 1,35 \cdot (720,82 - 0,5 \cdot 4,89 \cdot (2,7 \cdot 2,4 - 0,9 \cdot 2,2)) + 1,5 \cdot 0,7 \cdot 241,92 + 1,5 \cdot 0 \cdot 14,40 + 1,5 \cdot 0,5 \cdot 10,37 \\ 0,85 \cdot 1,35 \cdot (720,82 - 0,5 \cdot (2,7 \cdot 2,4 - 0,9 \cdot 2,2)) + 1,5 \cdot 266,69 \end{array} \right\}$$

$$N_{m,Ed} = \max \left\{ \begin{array}{l} 1220,05 \\ 1216,33 \end{array} \right\} = 1220,05 \text{ kN}$$

Siła w przekroju nad stropem:

$$N_{2,Ed} = \max \left\{ \begin{array}{l} 1,35 \cdot 720,82 + 1,5 \cdot 0,7 \cdot 241,92 + 1,5 \cdot 0 \cdot 14,40 + 1,5 \cdot 0,5 \cdot 10,37 \\ 0,85 \cdot 1,35 \cdot 720,82 + 1,5 \cdot 266,69 \end{array} \right\}$$

$$N_{2,Ed} = \max \left\{ \begin{array}{l} 1234,90 \\ 1228,98 \end{array} \right\} = 1234,90 \text{ kN}$$

Współczynniki, które dają bardziej niekorzystny efekt oddziaływać:

- obciążenie stałe: $\gamma_G = 1,35$,
- obciążenie zmienne użytkowe: $\gamma_{Q,i} \cdot \psi_{0,i} = 1,05$,
- obciążenie zmienne dachu: $\gamma_{Q,i} \cdot \psi_{0,i} = 0$,
- obciążenie zmienne śniegowe: $\gamma_{Q,i} \cdot \psi_{0,i} = 0,75$.

Składowe momentu działającego na lewą i prawą stronę stropu:

$n_1 = n_2 = n_4 = 4$ - wszystkie pręty obustronne utwierdzone

$M_1 = M_2$, ponieważ obciążenia sąsiednich stropów i sztywności ścian są takie same.

Obliczeniowy moment zginający M_1

$$M_1 = M_2 = \frac{\frac{n_1 E_1 I_1}{h_1}}{\frac{n_1 E_1 I_1}{h_1} + \frac{n_2 E_2 I_2}{h_2} + \frac{n_4 E_4 I_4}{l_4}} \left[\frac{w_3 l_3^2}{4(n_3 - 1)} - \frac{w_4 l_4^2}{4(n_4 - 1)} \right] = 0, \text{ ponieważ obciążenie}$$

$$\text{jest symetryczne i } \left[\frac{w_3 l_3^2}{4(n_3 - 1)} - \frac{w_4 l_4^2}{4(n_4 - 1)} \right] = 0$$

Mimośród niezamierzony:

$$h_{ef} = \rho_2 \cdot h = 0,75 \cdot 2,7 = 2,03 \text{ m}$$

$$e_{init} = \frac{h_{ef}}{450} = \frac{2,03}{450} = 0,45 \text{ cm}$$

Sprawdzenie nośności filara w przekroju pod stropem (1-1)

Współczynnik redukcyjny:

$$e_1 = \frac{M_1}{N_1} + e_{init} = 0 + 0,45 \text{ cm} = 0,45 \text{ cm}$$

$$\Phi_1 = 1 - 2 \frac{e_1}{t} = 1 - 2 \cdot \frac{0,45}{24} = 0,96$$

Nośność filara w przekroju pod stropem:

$$N_{Ed} \leq N_{Rd}$$

$$N_{1,Rd} = \Phi \cdot t \cdot f_d = 0,96 \cdot 24 \text{ cm} \cdot 0,413 \frac{\text{kN}}{\text{cm}^2} \cdot 150 \text{ cm} = 1427,33 \text{ kN}$$

$$N_{1,Ed} \leq N_{1,Rd}$$

$$1205,19 \text{ kN} \leq 1427,33 \text{ kN}$$

Pole filara $\geq 0,3 \text{ m}^2$, stąd brak konieczności stosowania współczynnika redukcyjnego η_A .
Ściana zapewnia wymaganą nośność.

Sprawdzenie nośności filara w przekroju nad stropem (2-2)

Współczynnik redukcyjny:

$$e_2 = e_1 = 0 + 0,45 = 0,45 \text{ cm}$$

$$\Phi_2 = 1 - 2 \frac{e_2}{t} = 1 - 2 \cdot \frac{0,45}{24} = 0,96$$

Nośność filara w przekroju nad stropem:

$$N_{2,Ed} \leq N_{2,Rd}$$

$$N_{2,Rd} = \Phi \cdot t \cdot f_d = 0,96 \cdot 24 \text{ cm} \cdot 0,413 \frac{\text{kN}}{\text{cm}^2} \cdot 150 \text{ cm} = 1427,33 \text{ kN}$$

$$1234,90 \text{ kN} \leq 1427,33 \text{ kN}$$

Pole filara $\geq 0,3 \text{ m}^2$, stąd brak konieczności stosowania współczynnika redukcyjnego η_A .
Ściana zapewnia wymaganą nośność.

Sprawdzenie nośności filara w przekroju środkowym

$$M_2 - M_1 = 0$$

$$h_{ef} = \rho_2 \cdot h = 0,75 \cdot 2,7 = 2,03 \text{ m}$$

$$t_{ef} = \rho_1 \cdot h = 1,0 \cdot 0,24 = 0,24 \text{ cm}$$

Warunek smukłości ściany:

$$\frac{h_{ef}}{t_{ef}} = \frac{2,03}{0,24} = 8,46 < 27$$

Mimośród działania obciążenia:

$$e_m = \frac{M_2 - M_1}{N_m} + e_{init} = 0 + 0,45 = 0,45 \text{ cm}$$

Mimośród wskutek pełzania:

$\Phi_\infty = 1,0$ - końcowy współczynnik pełzania

$$e_k = 0,002 \cdot \Phi_\infty \cdot \frac{h_{ef}}{t_{ef}} \cdot \sqrt{t \cdot e_m} = 0,002 \cdot 1,0 \cdot 8,46 \cdot \sqrt{24 \cdot 0,45} = 0,06 \text{ cm}$$

$$e_{mk} = e_k + e_m = 0,06 + 0,45 = 0,51 \text{ cm} < 0,05t = 0,05 \cdot 24 = 1,2 \text{ cm}$$

Przyjęto $e_{mk} = 1,2 \text{ cm}$.

Współczynnik redukcyjny:

$$A_1 = 1 - 2 \frac{e_{mk}}{t} = 1 - 2 \frac{1,2}{24} = 0,9$$

$$u = \frac{\frac{h_{ef}}{t_{ef}} - 2}{23 - 27 \cdot \frac{e_{mk}}{t}} = \frac{\frac{203}{24} - 2}{23 - 27 \cdot \frac{0,9}{24}} = 0,43$$

$$\Phi_m = A_1 \cdot e^{-\frac{u^2}{2}} = 0,9 \cdot e^{-\frac{0,30^2}{2}} = 0,86$$

Nośność filara w przekroju środkowym:

$$N_{m,Rd} = \Phi_m \cdot t \cdot f_d = 0,86 \cdot 24 \text{ cm} \cdot 0,413 \frac{\text{kN}}{\text{cm}^2} \cdot 150 = 1278,65 \text{ kN}$$

$$N_{m,Ed} \leq N_{m,Rd}$$

$$1205,19 \text{ kN} \leq 1278,65 \text{ kN}$$

Ściana zapewnia wymaganą nośność.

6.6. Sprawdzenie ściany ze względu na obciążenie skupione od reakcji z nadproża

Dane geometryczne

Sprawdzenie nośności pod obciążeniem skupionym od reakcji z nadproża przeprowadzono dla filara ściany zewnętrznej

■ grubość muru Silka E18 klasy 15	t = 18 cm
■ szerokość oddziaływania stropu	b = 3,0 m
■ szerokość okna	x = 0,9 m
■ długość oparcia nadproża na ścianie	0,20 m
■ rozpiętość stropu	l = 6,0 m
■ grubość stropu	d = 0,15 m
■ wysokość kondygnacji w świetle	h = 2,7 m
■ liczba kondygnacji powyżej rozpatrywanej	n = 6

Dane materiałowe

■ wytrzymałość na ściskanie bloków	$f_b = 15 \text{ N/mm}^2$
■ charakterystyczna wytrzymałość muru	$f_k = 5,5 \text{ N/mm}^2$

Obciążenia pionowe nad stropem z pasma o szerokości 3,0 m:

Tabela 6.10. Obciążenia działające na mur pod belką nadproża

	ilość	g_k, q_k [kN/m ²]	Pole [m ²]	G_d [kN/m]	Q_d [kN/m]
stropodach					
state	1	6,93	$3,0 \cdot (0,9 / 2 + 0,2)$	13,44	
zmiennie użytkowe		1,00	$3,0 \cdot (0,9 / 2 + 0,2)$		1,95
zmiennie śniegowe		0,72	$3,0 \cdot (0,9 / 2 + 0,2)$		1,40
strop monolityczny 15 cm					
state	6	5,23	$3,0 \cdot (0,9 / 2 + 0,2)$	61,19	
zmiennie		2,50	$3,0 \cdot (0,9 / 2 + 0,2)$		32,76
wieniec					
state	7	0,90	$0,9 / 2 + 0,2$	3,09	
ściany					
state	6	2,97	$(0,9 / 2 + 0,2) \cdot 2,7 - 1,5 \cdot 0,9$	7,22	
ściany nad nadprożem [20 cm]					
state	1	2,97	$0,2 \cdot (0,9 / 2 + 0,2)$	0,39	
ciężar nadproża					
state	1	25	$0,2 \cdot (0,9 / 2 + 0,2)$	3,25	
Suma:				89,52 kN	36,11 kN

Kombinacje obciążeń

$$N_{Edc} = \max \left\{ \begin{array}{l} \sum_{j=1}^n \gamma_{G,j} \cdot N_{Gk,u} + \gamma_{Q,1} \cdot \psi_{0,1} \cdot N_{Qk,u,1} + \sum_{i=2}^n \gamma_{Q,i} \cdot \psi_{0,i} \cdot N_{Qk,u,i} \\ \sum_{j=1}^n \xi \cdot \gamma_{G,j} \cdot N_{Gk,u} + \gamma_{Q,1} \cdot N_{Qk,u,1} + \sum_{i=2}^n \gamma_{Q,i} \cdot \psi_{0,i} \cdot N_{Qk,u,i} \end{array} \right\}$$

$$N_{Edc} = \max \left\{ \begin{array}{l} 1,35 \cdot 89,52 + 1,5 \cdot 0,7 \cdot 36,11 + 1,5 \cdot 0 \cdot 1,95 + 1,5 \cdot 0,75 \cdot 1,40 \\ 0,85 \cdot 1,35 \cdot 89,52 + 1,5 \cdot 36,11 \end{array} \right\} = \max \left\{ \begin{array}{l} 156,30 \\ 157,11 \end{array} \right\} = 157,11 \text{ kN}$$

Współczynniki, które dają bardziej niekorzystny efekt oddziaływania

- obciążenie stałe: $\gamma_G = 1,35$,
- obciążenie zmiennie użytkowe: $\gamma_{Q,i} \cdot \psi_{0,i} = 1,05$.

Sprawdzenie nośności ściany pod obciążeniem skupionym:

$$N_{Rdc} = \beta \cdot A_b \cdot f_d$$

A_b - powierzchnia obciążenia

A_{ef} - powierzchnia efektywna, wg rys. 5.1

f_d - wytrzymałość obliczeniowa na ściskanie bloków klasy 20.

$$\beta = \min \left\{ \begin{array}{l} \left(1 + 0,3 \frac{a_1}{h_c} \right) \left(1,5 - 1,1 \frac{A_b}{A_{ef}} \right) \\ 1,25 + \frac{a_1}{2h_c} \\ 1,5 \end{array} \right. = \min \left\{ \begin{array}{l} \left(1 + 0,3 \frac{0}{270} \right) \left(1,5 - 1,1 \frac{360}{97,94} \right) \\ 1,25 + \frac{0}{2 \cdot 270} \\ 1,5 \end{array} \right. = 1,25$$

$$N_{Rdc} = \beta \cdot A_b \cdot f_d = 1,25 \cdot 20 \cdot 18 \cdot 0,413 = 185,85 \text{ kN}$$

$$N_{Rdc} \geq N_{Edc}$$

$$158,77 \text{ kN} \leq 185,85 \text{ kN}$$

Ściana zapewnia wymaganą nośność pod obciążeniem skupionym.

6.7. Analiza statyczno-wytrzymałościowa żelbetowej belki nadprożowej wykonanej w kształtkach Ytong U traktowanych jako deskowanie tracone

Przeprowadza się obliczenie maksymalnej wartości liniowego obciążenia obliczeniowego działającego na belkę żelbetową nad otworem okiennym o rozpiętości 2,0 m wykonaną w kształtkach Ytong U17,5 (ściana wykonana z bloków Silka E18) o wysokości 20,0 cm i szerokości 18 cm. Przyjęto wstępnie zbrojenie belki: zbrojenie dolne 2Ø12, zbrojenie górne 2Ø10.

Dane geometryczne

■ wysokość belki żelbetowej	h = 15,0 cm
■ szerokość belki żelbetowej	b = 7,5 cm
■ szerokość przekrywanego otworu	l = 2,0 m
■ szerokość podparcia	t = 0,25 m
■ długość obliczeniowa belki żelbetowej	$l_{eff} = l + \min(h/2; t/2) \cdot 2 = 2,0 \text{ m} + \min(0,075; 0,125) \cdot 2 = 2,15 \text{ m}$
■ powierzchnia zbrojenia górnego (2Ø10)	$A_{s2} = 1,57 \text{ cm}^2$
■ powierzchnia zbrojenia dolnego (2Ø12)	$A_{s1} = 2,26 \text{ cm}^2$
■ powierzchnia przekroju strzemiona	$A_{sw} = 0,32 \text{ cm}^2$
■ otulenie górne zbrojenia	$a_2 = 2,0 \text{ cm}$
■ otulenie dolne zbrojenia	$a_1 = 2,0 \text{ cm}$
■ wysokość użyteczna przekroju	$d = h - a_1 = 15,0 - 2,0 = 13,0 \text{ cm}$
■ grubość muru	t = 0,18 m

Dane materiałowe

■ beton	C20/25
■ stal na zbrojenie główne	A III (34GS)
■ stal na zbrojenie strzemion	A 0
■ wytrzymałość obliczeniowa stali A III na rozciąganie	$f_{yd} = 355/1,15 = 308,70 \text{ N/mm}^2$
■ wytrzymałość obliczeniowa stali A 0 na rozciąganie	$f_{ywd1} = 240/1,15 = 208,70 \text{ N/mm}^2$
■ wytrzymałość obliczeniowa żelbetu na ściskanie	$f_{cd} = 14,28 \text{ N/mm}^2$
■ wytrzymałość obliczeniowa żelbetu na rozciąganie	$f_{ctd} = 1,5/1,4 = 1,07 \text{ N/mm}^2$
■ wytrzymałość charakterystyczna betonu na ściskanie	$f_{ck} = 20,0 \text{ N/mm}^2$

Sprawdzenie Stanu Granicznego Nośności - zginanie:

Zasięg strefy ściskanej:

$$x_{eff} = \frac{f_{yd} \cdot A_{s1}}{f_{cd} \cdot b} = \frac{308,70 \cdot 2,26}{14,28 \cdot 7,50} = 6,51cm$$

Nośność przekroju na zginanie:

$$M_{Rd} = f_{cd} \cdot b \cdot x_{eff} \cdot (d - 0,5 \cdot x_{eff}) = 1428 \cdot 7,5 \cdot 6,51 \cdot (13 - 0,5 \cdot 6,51) = 679,44kNm = 6,79kNm$$

Przyjęto, że belka nadproża pracuje jako belka swobodnie podparta.

$$M_{Sd} = \frac{q_d \cdot l^2}{8} \rightarrow q_d = \frac{8 \cdot M_{Sd}}{l^2}$$

Maksymalne obliczeniowe obciążenie liniowe:

$$q_d = \frac{8 \cdot M_{Sd}}{l_{eff}^2} = 11,75kN / m$$

Sprawdzenie Stanu Granicznego Nośności - ścinanie:

Do wymiarowania zbrojenia ścinanego przyjęto maksymalne obliczeniowe obciążenie liniowe.

Maksymalna siła poprzeczna:

$$V_{Sd} = q_d \cdot l_{eff} \cdot 0,5 = 11,75 \cdot 2,15 \cdot 0,5 = 12,63kN$$

Nośność obliczeniowa na ścinanie betonu nie zbrojonego poprzecznie na ścinanie:

$$k = 1 + \sqrt{\frac{200}{d}} = 2,24 > 2,0 \rightarrow k = 2,0$$

$$C_{Rdc} = \frac{0,18}{1,4} = 0,129$$

$$\rho_L = \frac{A_{s1}}{b \cdot d} = \frac{2,26}{7,5 \cdot 13} = 0,023$$

$$V_{Rd1} = C_{Rd1} \cdot k \cdot (100 \cdot \rho_L \cdot f_{ck})^{\frac{1}{3}} \cdot b \cdot d = 0,129 \cdot 2 \cdot (2,23 \cdot 20)^{\frac{1}{3}} \cdot 0,075 \cdot 0,13 = 8,92kN$$

$$V_{Rd} = 12,63kN \geq V_{Sd} = 8,92kN$$

Niezbędne jest zbrojenie belki na ścinanie. Przyjęto zbrojenie strzemionami $\emptyset 4,5$ co 50 cm.

Pole przekroju strzemion $A_{sw1} = 0,32 \text{ cm}^2$.

Nośność obliczeniowa na ścinanie ze względu na ściskanie betonu przy zginaniu:

$$v = 0,6 \cdot (1 - f_{ck} / 250MPa) = 0,6 \cdot (1 - 20,0 / 250MPa) = 0,552$$

$$z = 0,9 \cdot d = 0,9 \cdot 13 = 11,7cm$$

$$C = \alpha_{cw} \cdot v \cdot f_{cd} \cdot b \cdot z = 1,0 \cdot 0,552 \cdot 1428 \cdot 7,5 \cdot 11,7 = 69,17kN$$

$$\cot \Theta = 1$$

Nośność obliczeniowa na ścinanie ze względu na rozciąganie poprzecznego zbrojenia na ścinanie:

$$s_1 = 50mm$$

$$V_{Rd3} = A_{sw1} \cdot \left(\frac{f_{ywd1}}{s_1}\right) \cdot z \cdot \cot \Theta = 0,32 \cdot \left(\frac{208,7}{0,5}\right) \cdot 11,7 \cdot 1 = 15,63kN$$

$$V_{Sd} = 0,5 \cdot q_d \cdot l \rightarrow q_d = \frac{2 \cdot V_{Sd}}{l}$$

Maksymalne obliczeniowe obciążenie liniowe:

$$q_d = \frac{2 \cdot V_{Rd3}}{l} = \frac{2 \cdot 15,63}{2,15} = 14,54kN / m$$

Notatki

.....

.....

.....

.....

.....

.....

.....

.....

.....

.....

.....

.....

.....

.....

.....

.....

.....

.....

.....

.....

.....

.....

7. Dane tabelaryczne

Tabela 7.1. Dane techniczne Silka E

Opis elementu	Szerokość [mm]	Długość x wysokość [mm]	Zużycie bloków [szt./m ²]	Zużycie zaprawy ¹⁾ [kg/m ²]		Wytrzymałość na ściskanie [N/mm ²]	Górna granica gęstości ²⁾ [kg/m ³]	Współczynnik przewodzenia ciepła λ [W/(mK)]	Opór cieplny R [m ² K/W]	Współczynnik przenikania ciepła U [W/(m ² K)]	Minimalna odporność ogniowa	Izolacyjność akustyczna [dB]		
												R _{A1}	R _{A2}	R _w
Silka E8 klasy 15	80	333 x 199	15	1,1		15	1500	0,51	0,16	3,06	EI 60	45	42	45
Silka E12 klasy 15	120		15	1,6		15	1500	0,50	0,24	2,44	REI 90 / EI 120	47	44	48
Silka E15 klasy 15	150		15	2,0		15	1500	0,50	0,30	2,13	REI 120 / EI 180	49	45	50
Silka E18 klasy 15	180		15	2,4		15	1500	0,51	0,35	1,91	REI 180 / EI 240	50	47	52
Silka E18 klasy 20			20											
Silka E24 klasy 15	240		15	3,2		15	1600	0,55	0,44	1,65	REI 240 / EI 240	54	51	56
Silka E24 klasy 20			20											
Silka E18A+ klasy 20	180	333 x 199	15	2,4		20	2000	1,05	0,17	2,93	REI 240 / EI 240	55 ⁴⁾	51 ⁴⁾	56 ⁴⁾
Silka E18A klasy 20	180	333 x 199	15	2,4		20	1800	0,81	0,22	2,55	REI 240 / EI 240	53	47	55
Silka E18A klasy 25					25									
Silka E18S klasy 20	180	333 x 199	15	2,4		20	1800	0,64	0,28	2,22	REI 240 / EI 240	52	47	53
Silka E18S klasy 25					25									
Silka E24S klasy 20	240		15	3,2		20		0,65	0,37	1,85	REI 240 / EI 240	57 ³⁾	54 ³⁾	59 ³⁾
Silka E24S klasy 25					25									
Silka 1NF klasy 15	120	250 x 65	51,3	20,0 ³⁾		15	1800	0,81	0,15	3,14	REI 90 / EI 120	-	-	-
Silka 2NFD klasy 15		250 x 135	26,5	12,6 ³⁾		15	1600	0,50	0,24	2,44	REI 90 / EI 120	-	-	-
Silka 3NFD klasy 15		250 x 220	16,7	9,6 ³⁾		15	1600	0,50	0,24	2,44	REI 90 / EI 120	-	-	-
Silka 6NFD klasy 15		250	250 x 220	16,7	20,0 ³⁾		15	1600	0,59	0,42	1,68	REI 240 / EI 240	-	-

¹⁾ zaprawa do cienkich spoin Silka-Ytong

²⁾ rzeczywista gęstość wyrobów Silka zależy od zakładu produkcyjnego, szczegółowe dane dostępne są w deklaracjach właściwości użytkowych

³⁾ zaprawa zwykła

⁴⁾ wartość przy wypełnionych spoinach pionowych

⁵⁾ wartość szacowana

Tabela 7.2. Dane techniczne Silka Tempo

Opis elementu	Szerokość [mm]	Wysokość [mm]	Długość [mm]	Zużycie bloków [szt./m ²]	Zużycie zaprawy ¹⁾ [kg/m ²]		Wytrzymałość na ściskanie [N/mm ²]	Górna granica gęstości ²⁾ [kg/m ³]	Współczynnik przewodzenia ciepła λ [W/(mK)]	Opór cieplny R [m ² K/W]	Współczynnik przenikania ciepła U [W/(m ² K)]	Minimalna odporność ogniowa	Izolacyjność akustyczna [dB]		
													R _{A1}	R _{A2}	R _w
Silka Tempo 15	150	600	498	3,3	0,7		20	2000	1,05	0,14	3,20	REI 120 / EI 180	53 ³⁾	49 ³⁾	56 ³⁾
Silka Tempo 15 ¾			373	4,4	0,7										
Silka Tempo 15 ½			248	6,7	0,7										
Silka Tempo 24	240	600	498	3,3	1,1		20	1800	0,81	0,30	2,14	REI 240 / EI 240	57 ³⁾	54 ³⁾	59 ³⁾
Silka Tempo 24 ¾			373	4,4	1,1	2000		1,05	0,23	2,51					
Silka Tempo 24 ½			248	6,7	1,1										
Silka EQ10/24	240	98	333	30,0	6,4		20	1800	0,65	0,37	1,85	REI 240 / EI 240	-	-	-
Silka EQ12,5/24		124		24,0	5,1										
Silka EQ17,5/24		174		17,1	3,6										
Silka EQ10/18	180	98	333	3,1	2,3		20	1800	0,64	0,28	2,22	REI 180 / EI 240	-	-	-
Silka EQ10/15	150	100	498	20,0	4,0		20	2000	1,05	0,14	3,20	REI 120 / EI 180	-	-	-
Silka EQ12,5/15		125		16,0	3,2										
Silka EQ17,5/15		175		11,4	2,2										

¹⁾ zaprawa do cienkich spoin Silka-Ytong

²⁾ rzeczywista gęstość wyrobów Silka zależy od zakładu produkcyjnego, szczegółowe dane dostępne są w deklaracjach właściwości użytkowych

³⁾ wartość szacowana

Tabela 7.3. Elementy uzupełniające

Opis artykułu	Szerokość [mm]	Długość x wysokość [mm]	Wytrzymałość na ściskanie [N/mm ²]	Górna granica gęstości ¹⁾ [kg/m ³]	Współ. przewodzenia ciepła λ [W/(mK)]
Silka ½ E15 klasy 20	150	166 x 199	20	1800	0,64
Silka ½ E18 klasy 15	180		15		0,65
Silka ½ E18 klasy 20			20		0,66
Silka ½ E24 klasy 15	240		15		
Silka ½ E24 klasy 20			20		
Silka EQ10/15 klasy 20	150	498 x 100	20	2000	1,05
Silka EQ12,5/15 klasy 20		498 x 125			
Silka EQ17,5/15 klasy 20		498 x 150			
Silka EQ10/18 klasy 20	180	333 x 98	1800	-	0,64
Silka EQ10/24 klasy 20	240	333 x 98			0,65
Silka EQ12,5/24 klasy 20		333 x 124			0,65
Silka EQ17,5/24 klasy 20		333 x 174			0,65
Silka EW klasy 15		240			240 x 199

Tabela 7.4. Klasyfikacja ogniowa. Minimalna grubość ścian z bloków Silka dla uzyskania klasyfikacji ogniowej EI (ściany nienośne) [mm]²⁾

Klasa odporności ogniowej	EI 30	EI 45	EI 60	EI 90	EI 120	EI 180	EI 240
Min. grubość ściany [mm]	80 (80)	80÷120 (80)	80÷120 (80)	120 (120)	120÷150 (120÷150)	150÷180 (150)	150÷240 (180)

Tabela 7.5. Minimalna grubość ścian z bloków Silka dla uzyskania klasyfikacji ogniowej REI (ściany nośne)²⁾

Klasa odporności ogniowej	REI 30 - 90	REI 120	REI 180	REI 240	
Bloki Silka Tempo 15, Silka Tempo 24, Silka E18A+, E18A, E18S, E24S, Silka 1NF (grupa 1S; gęstość 1 400 ÷ 2 400 kg/m ³)					
Min. grubość ściany [mm]	α < 1,0	120 (120)	120÷180 (120÷150)	180 (180)	150÷240 (150÷240)
	α < 0,6	120 (120)	120÷180 (120÷150)	180 (180)	150÷240 (150÷240)
Bloki Silka E8, E12, E15, E18, E24, 2NFD, 3NFD, 6NFD (grupa 1; gęstość 1 400 ÷ 2 400 kg/m ³)					
Min. grubość ściany [mm]	α < 1,0	120 (120)	150÷240 (150)	240 (180÷240)	240 (150)
	α < 0,6	120 (120)	120÷150 (120)	180÷240 (150)	240 (150)

¹⁾ Rzeczywista gęstość wyrobów Silka zależy od zakładu produkcyjnego, szczegółowe dane dostępne są w deklaracjach właściwości użytkowych²⁾ Wartości w nawiasach dotyczą ścian otynkowanychTabela 7.6. Izolacyjność termiczna ścian Silka z ociepleniem Multipor dla ścian o współczynniku U ≤ 0,30 W/(m²K)

Warstwa murowa ściany	Współ. przenikania ciepła (bez ocieplenia) U [W/(m ² K)]	Grubość warstwy Multipor [cm] (λ = 0,043 W/(mK))			
		14	16	18	20
		Opór cieplny warstwy Multipor [mK/W]			
		3,26	3,72	4,19	4,65
Silka E15	2,13	0,27	0,24	0,21	0,20
Silka E18	1,91	0,26	0,24	0,21	0,19
Silka E24	1,65	0,26	0,23	0,21	0,19
Silka E18A	2,55	0,27	0,24	0,22	0,20
Silka E18A+	2,93	0,28	0,25	0,22	0,20
Silka E18S	2,44	0,27	0,24	0,22	0,20
Silka E24S	1,83	0,26	0,23	0,21	0,19
Silka Tempo 15	3,20	0,28	0,25	0,22	0,20
Silka Tempo 24	2,14	0,27	0,24	0,21	0,20

Tabela 7.7. Dane techniczne zapraw

Nazwa	Zaprawa do cienkich spoin Silka-Ytong	Zaprawa do cienkich spoin Silka-Ytong zimowa
Wytrzymałość na ściskanie	M10 - 10 N/mm ²	M10 - 10 N/mm ²
Współczynnik przewodzenia ciepła λ _{10,dry}	≤ 0,93 W/(mK)	≤ 0,93 W/(mK)
Opór dyfuzyjny μ	5/35	5/35
Uziarnienie	0-1,2 mm	0-1,2 mm
Minimalna temperatura prowadzenia prac	5°C	0°C
Minimalna temperatura podczas wiązania	Nie dotyczy	-10°C
Czas urabialności od momentu zmieszania z wodą	2-4 h	2 h
Zużycie wody	ok. 6,5 l/worek	ok. 6 l/worek
Wydajność	13,3 kg/m ³ – bez wypełniania spoin pionowych	13,3 kg/m ³ – bez wypełniania spoin pionowych
	17,7 kg/m ³ – z wypełnieniem spoin pionowych	17,7 kg/m ³ – z wypełnieniem spoin pionowych
Reakcja na ogień	Klasa A1	Klasa A1
Opakowanie	Worek 25 kg	Worek 25 kg
Czas przechowywania	12 miesięcy	12 miesięcy
Normy produktowe	PN-EN 998-2:2012	PN-EN 998-2:2012

UWAGA:

Przed rozpoczęciem prac murarskich należy zapoznać się z instrukcją przygotowania zaprawy oraz warunkami jej stosowania podanymi na opakowaniu.

Tabela 7.8. Wytrzymałości charakterystyczne i obliczeniowe na ściskanie murów z bloków Silka

Klasa wytrzymałości [N/mm ²]	Średnia znormalizowana wytrzymałość na ściskanie [N/mm ²]	Wytrzymałość charakterystyczna muru na ściskanie f_k [N/mm ²]	Wytrzymałość obliczeniowa muru na ściskanie f_d	
			kategoria A [N/mm ²]	kategoria B [N/mm ²]
15	15,0	5,50	3,23	2,75
20	20,0	7,02	4,13	3,51
25	25,0	8,48	4,99	4,24

Tabela 7.9. Nośność nadproży Ytong YN

Opis elementu	Szerokość [mm]	Wysokość [mm]	Długość [mm]	Maks. szer. przekrywan. otworu [mm]	Minimalna długość oparcia [mm]	Maksymalne obciążenie obliczeniowe [kN/m]
YN-130/20	200	249	1290	900	195	23
YN-150/20			1490	1100	195	21
YN-175/20			1740	1350	195	15
YN-200/20			1990	1500	245	13
YN-225/20			2490	2000	245	13
YN-130/24	240	249	1290	900	195	23
YN-150/24			1490	1100	195	22
YN-175/24			1740	1350	195	20
YN-200/24			1990	1500	245	17
YN-225/24			2240	1750	245	14
YN-130/30	300	249	1290	900	195	23
YN-150/30			1490	1100	195	22
YN-175/30			1740	1350	195	23
YN-200/30			1990	1500	245	20
YN-225/30			2240	1750	245	17
YN-130/36,5	365	249	1290	900	195	23
YN-150/36,5			1490	1100	195	22
YN-175/36,5			1740	1350	195	23
YN-200/36,5			1990	1500	245	23
YN-225/36,5			2240	1750	245	20

Tabela 7.10. Nośność nadproży zespolonych z elementami Ytong YF

Grubość muru [mm]	Długość nadproża [mm]	Maks. szer. przekrywan. otworu [mm]	Dopuszczalne obciążenie charakterystyczne q_k [kN/m] w zależności od wysokości warstwy nadmurowanej h [mm] (z wypełnieniem spoin pionowych)			
			200	400	600	800
115	1300	900	12,9	17,2	17,1	17,0
	1500	1100	9,2	13,7	14,3	14,2
	1750	1250	6,9	11,0	12,4	12,3
	2000	1500	4,7	8,3	10,2	10,4
	2250	1750	3,3	6,4	8,2	9,0
	2500	2000	2,4	5,0	6,7	7,7
	2750	2250	1,7	4,0	5,5	6,5
3000	2500	-	3,2	4,6	5,5	
175	1300	900	19,2	25,5	25,0	24,4
	1500	1100	13,6	20,1	20,6	20,1
	1750	1250	10,1	16,0	17,7	17,2
	2000	1500	6,9	12,0	14,5	14,3
	2250	1750	4,7	9,1	11,4	12,1
	2500	2000	3,2	7,0	9,1	10,2
	2750	2250	2,2	5,3	7,3	8,3
3000	2500	-	4,1	5,8	6,8	

Nośność nadproży Ytong YF przy założeniu nadmurowania warstwą bloków Silka kl. 15



Katowice · Centrum Filmowe Helios
Dieter Paleta



Wrocław
Dom jednorodzinny
z pracownią
GRID architektki s.c.



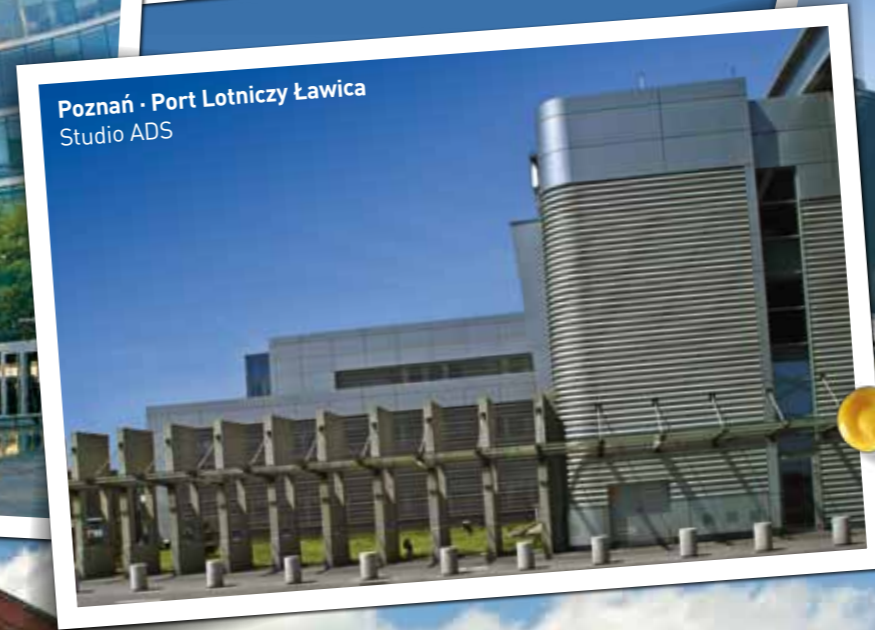
Warszawa · Mokotovia
Rkw Polska



Kraków · Audytorium Maximum Uniwersytetu Jagiellońskiego
Wizja Biuro architektoniczne



Warszawa · Biurowiec Metropolitan
Foster and Partners



Poznań · Port Lotniczy Ławica
Studio ADS



Pacanów · Europejskie Centrum Bajek
Biuro Projektowe Kulczyński Architekt sp. z o.o.



Łódź · Centrum handlowe Manufaktura
Virgile & Stone



Xella Polska Sp. z o.o.

infolinia 0 801 122 227 · 29 767 03 60

www.ytong-silka.pl

www.budowane.pl